

**INSTITUTUL POLITEHNIC "TRAIAN VILĂ" TIMIȘOARA  
FACULTATEA DE MECANICA**

**Ing. Constantin Cristescu**

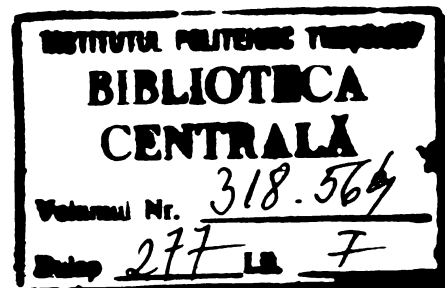
**CONTRIBUȚII LA CALCULUL PREȚURILOR  
SI DEFORMAȚIILOR IN CAZUL FLUJULUI  
CU TEMPERATURA VARIABILA**

**- teză de doctorat -**

**Conducător științific,**

**prof.-dr.-c.ing. Radu Aurel**

BIBLIOTECĂ CENTRALĂ  
„ UNIVERSITATEA „POLITEHNICA”  
TIMIȘOARA



**- 1976 -**



## C U P R I N S

	Pag.
Introducere . . . . .	1
Capitolul I. Generalități privind fluajul la temperatură și tensiune variabilă . . . . .	5
1.1. Necesitatea studierii fluajului la temperatură și încărcare variabilă . . . . .	5
1.2. Aspecte analitice ale fluajului în condiții de variație de temperatură și tensiune ....	15
Capitolul II Considerații asupra încercărilor de fluaj cu temperatură variabilă . . . . .	24
2.1. Condițiiile de efectuare a încercărilor . . .	24
2.2. Analiza unor încercări de fluaj cu temperatură variabilă . . . . .	27
Capitolul III Metodă iterativă de calcul a deformațiilor și tensiunilor într-o bară cilindrică solicitată de o forță axială constantă, supusă unor cicluri de răcire-încălzire . . . . .	47
3.1. Metoda de calcul . . . . .	47
3.2. Program pentru calculul tensiunilor dintr-o bară cilindrică de secțiune circulară solicitată axial de o forță constantă și supusă unor variații periodice de temperatură . . . . .	60
3.3. Calculul cimpului de temperatură pe secțiunea transversală a unei epruvete cilindrice de secțiune circulară ce se răcește uniform prin suprafața laterală . . . . .	69
3.4. Aplicarea practică a programului de calcul a tensiunilor termice (TENSTEM) . . . . .	83
3.5. Influența variațiilor rapide de temperatură asupra comportării la fluaj . . . . .	104
Capitolul IV Verificări experimentale . . . . .	117
4.1. Date privind oțelul cercetat . . . . .	117
4.2. Încercări experimentale la temperatură ridicată asupra probelor din oțelul OLE2 . . . .	118
4.3. Verificarea experimentală a influenței șocurilor termice asupra curbelor de fluaj la oțelul OLE . . . . .	129

	Pag.
4.4. Modificări structurale ale otelului OLK2 supus ciclurilor de încălzire răcire și încercări de fluaj . . . . .	131
Capitolul V. Concluzii finale . . . . . . . . .	141
Bibliografie . . . . . . . . . . . . . . .	145

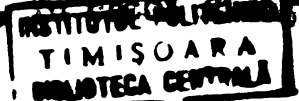
## INTRODUCERE

Astăzi cincinat 1970-1980 este definit în documentele de partid drept cincinatul revoluției - tehnică-scientifică, care implică un colț enaltește dozebit în ceea ce priveste dezvoltarea industriilor prin folosirea celor noi noi cunoșteri ale științei și tehnicii. Cercetările noastre sunt chemate să-și aducă contribuția în principal la rezolvarea problemelor răuțiate de dezvoltarea și petrosoal a industriei prin soluții originale, red al creației proprii.

Designur un rol hotărâtor în realizarea nășteștilui plan cincinal, în care nu pășit, îl are sectorul energetic de o caruă dezvoltare depinde progresul întregii economii naționale. Pe liniile lucrului clasic de energie (hidrolică, termică) se va face apel la energia atomică, prin construirea unei centrale atomelectrice. Construirea acestei centrale prevede utilizarea unei oteluri termoresistente, care în decursul exploatarii pe lungă scăldăturile mecanice importante sunt sujețe unei variații frecvente de temperatură. Acestea facemene se intilnesc și la unele utilaje din industria chimică sau petrochimică. Laborarea în fapt a acestor utilaje termoresistente - sarcină cunoscută de importantul rulofat și de programul P.C.R - necesită încercări cu fluid executate pe cât posibil și în condiții de variație a temperaturii similară cu cele din exploatare, în vederea asigurării unei fiabilități ridicate a utilajelor fabricate din aceste oteluri. Stabilirea unei metodici corectă și întătoare de încercare precum și interpretarea corectă a rezultatelor experimentale implica o analiză teoretică și experimentală judicioasă.

Lucrarea de fătă are ca scop studiul tensiunilor termice co încotro flanțul cu temperatură variabilă, precum și stabilirea unei metode de calcul a acestora care să reflecte cît mai fidel fenomenul și implicit comportarea reală a materialului încercat. În plus, metoda propusă permite și calculul deformărilor co încotro flanțul cu temperatură variabilă.

Întotdeauna aspectele în literatură de specialitate nu sunt doarul do amar și approximativ, pe baza unor ipoteze simplificate, cum ar fi adicărea comportării liniar elastoică a materialului. În lucrarea de fătă, în elaborarea noii metode de calcul a tensiunilor și deformărilor, înțelegându-lui ca



temperatură variabilă, se vine secună și de comportarea elasto-plastică reală a materialului.

Lucrarea cuprinde 5 capitole din care primele 2 se referă la o analiză a datelor din literatură de specialitate (atât teoretice cât și experimentale) precum și a metodicii încercărilor de flacă cu temperatură variabilă.

In capitolul III se prezintă nouă metodă iterativă de calcul a tensiunilor și deformațiilor în cazul unei epruve cilindrice, de secțiune circulară, solicitată de la tracțiune de o forță constantă și suzer unor cicluri de recire-încărcare. În calculul tensiunilor și deformațiilor sunt luate în considerare curbele caracteristice reale (rișnică la diferite nivele de compresiune), variația unghiului de elasticitate longitudinal și a coefficientului de dilatare lineară cu temperatură.

Deoarece acestă metodă retine un volum mare de calcul și-a elaborat un program, pentru calculatorul Felix C 256, care permite să efectueze rapidă calculul, în mai multe variante. Totodată și-a elaborat și un program de calcul a variației cimpului de temperatură pe secțiunea transversală a epruvei, care conduce la rezultate mai complete și mai exacte decât cele date în literatură de specialitate.

Tensiunile termice calculate cu ajutorul metodei sunt comparate cu cele rezultate în ipoteza comportării elastice a materialului răsfirindu-se diferențele importante ce intervin.

In finalul capitolului III se prezintă o metodă de calcul a deformațiilor în cazul planșului cu jocuri termice, evidențindu-se apariția unui salt în diagrama de flacă după aplicarea fiecărui joc termic.

In capitolul IV se prezintă încercările efectuate de autor asupra unei probe de oțel 45M2 la care, în vederea simularii unor curători structurale ce apar în timpul variațiilor de temperatură, se aplică inițial un număr de cicluri încărcare-recire cu viteza de recire diferită (recire aer și apă) fără o solicitare mecanică exterioară. Rezultatul este să se evidențieze unele diferențe în comportarea altoriceva la încercările mecanice clasice (tracțiune, recilicaj) a probelor supuse ciclurilor de încărcare-recire fără de cele ne-supuse. Deoarece la încercările de flacă de durată zara acestor diferențe sunt mici, rezulta că metoda de calcul prezentată în capitolul III se poate aplica la oțelul 45 și fără nici o corecție care să tăia secună influența soluțiilor structurale, acoperă comportarea la flacă.

In finalul capitolelui IV se prezintă analiza microstructurală a probelor supuse cînturilor de incălziere răcire cooperativ cu probele neșupuse, atât înainte cît și după încercarea de fluaj executată la diferite tensiuni.

Capitolul V cuprinde principalele concluzii ce se desprind atât din aplicarea practică a noii metode de calcul cît și din verificările experimentale efectuate.

La elaborarea prezentei lucrări mi-au fost de un real felice îndrumările date de prof.dr.doc.ing.Faru Aurel, conducătorul științific de doctorat, căruia îl aduc și pe această cale sincere mulțumiri. Deasemenea mulțumesc tov.prof.dr.ing.Rajdă Iosif pentru continua îndrumare efectuată atât pe parcursul prezentei lucrări cît și de alungul întregii sale activități științifice.

Totodată mulțumesc tuturor colegilor și personalului tehnic care m-au sprijinit în realizarea lucrării și în mod deosebit tov.conf.dr.ing.Groșanu Iosif, veful entedrei, pentru ajutorul efectiv acordate.



## CAP.I. GENERALITATI PRIVIND FLUAJUL LA TEMPERATURĂ SI TENSIUNE VARIABILĂ.

### 1.1. Necessitatea studierii fluajului la temperatură și încărcare variabilă.

Dezvoltarea impetuoasă a tehnicii în întreaga lume în ultimele decenii a implicat creșterea necontenită a sectorului energetic. Principala direcție în care s-a acționat a fost construirea de noi termocentrale care necesită cheltuieli de investiție mici și o rapidă intrare în funcțiune. Desigur acest fapt a atras după sine utilizarea unor cantități sporite de oțeluri rezistente la temperaturi ridicate.

In vederea reducerii consumului de combustibil, s-a pus problema ridicării randamentului termocentralelor ceeace s-a realizat mai ales prin creșterea temperaturii aburului, necesitând utilizarea unor oțeluri cu caracteristici superioare, stabile la temperaturi ridicate.

In prezent se lucrează curent la temperaturi ale aburului de  $600^{\circ}\text{C}$ . La aceeași temperatură caracteristicile de fluaj ale oțelurilor utilizate au o importanță deosebită de ele depinzând atât cantitatea de oțel folosită, cât și siguranța în funcționare.

Tinind seama de cantitățile foarte mari de oțeluri termorezistente necesare unei termocentrale, caracteristicile mecanice ale acestora trebuie să determinate cu multă atenție pentru a se evita fie supradimensionarea (creșterea cheltuielilor de investiție ale termocentralei) fie subdimensionarea (pericol de avarie).

In general încercările în vederea stabilirii rezistenței la fluaj a unui oțel, se fac la temperatură și încărcare constantă deoarece aparatura necesară este mult mai simplă.

In realitate însă, puține sunt cazurile în care temperatura și încărcarea se mențin constante în tot timpul funcționării instalației confectionată din oțelul respectiv. In termocentrale există fluctuații continui de temperatură și presiune ceeace determină, de exemplu în peretele conductelor de abur viu, producerea fluajului în condiții de temperatură și tensiune variabilă.

Se înregistrează astfel variații de  $\pm (10 \dots 20)^\circ\text{C}$  a temperaturii (la nivelul mediu de cca  $600^\circ\text{C}$ ) și de  $\pm (5 \dots 10)$  daN/cm<sup>2</sup> (la nivelul mediu al presiunii 100 daN/cm<sup>2</sup>).

Variații și mai importante ale temperaturii se înregistrează la pornirea sau oprirea cazanelor. În fig. 1.1.1 se prezintă variația în timp a temperaturii aburului dintr-o conductă magistrală, în timpul pornirii cazanelor.

Între comportarea fizicomecanică a oțelurilor la temperatură și tensiune constantă, respectiv variabilă există diferențe semnalate de mulți autori. [4], [21], [38], [42], [52], [54].

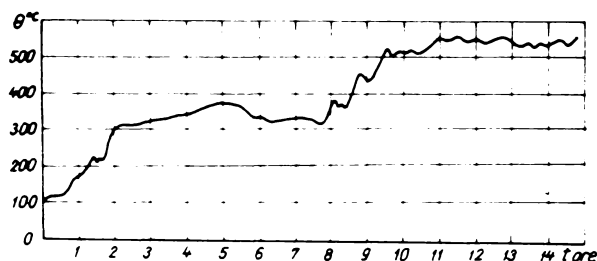


fig.1.1.1  
Variația temperaturii într-o conductă magistrală în timpul pornirii cazanelor

Executarea unor încercări care să reflecte condițiile reale de temperatură și tensiune este dacă nu practic imposibilă, atunci foarte greu de realizat. Datorită acestui fapt s-au căutat metode de trecere dela încercările de fluaj executate la temperatură și tensiune constantă la cele efectuate în condiții de variație a acestora.

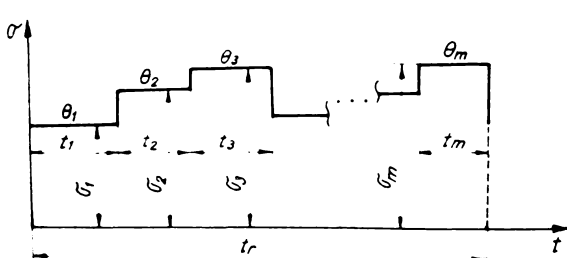


fig.1.1.2  
Program de încercare la tensiune și temperatură variabilă

Cea mai des semnalată în literatura de specialitate este metoda însumării liniare a degradărilor [54], [55] aplicabilă atât încercărilor cu temperatură variabilă cât și celor cu tensiune variabilă.

In cele ce urmează se va trata mai ales problema fluajului cu temperatură variabilă care pe de o parte este mai puțin cercetată și pe de altă parte prezintă interes pentru următoarele capitole ale prezentei lucrări.

De exemplu se consideră o epruvetă încercată conform - graficului din fig. 1.1.2, adică este menținută timpul  $t_1$  la temperatură  $\theta_1$ , și tensiunea  $\sigma_1$ , apoi timpul  $t_2$  la temperatura  $\theta_2$ , și tensiunea  $\sigma_2$  și a.m.d. pînă la timpul  $t_m$ , temperatura  $\theta_m$ , tensiunea  $\sigma_m$  cînd se produce ruperea. Se notează cu  $\tau_{1r}, \tau_{2r}, \dots, \tau_{mr}$  valorile timpului necesare pentru a produce ruperea la temperaturile  $\theta_1, \theta_2, \dots, \theta_m$  și tensiunile  $\sigma_1, \sigma_2, \dots, \sigma_m$ , determinate din curbele rezistenței de durată.

Rapoartele  $t_1/\tau_{1r}, t_2/\tau_{2r}, \dots, t_m/\tau_{mr}$  se numesc degradările în perioadele 1, 2, ... m. Suma acestor degradări este egală cu unitatea

$$\sum_{i=1}^m \frac{t_i}{\tau_{ri}} = 1 \quad (1.1.1)$$

Pentru cazul suprasolicitărilor termice, adică aplicarea unei temperaturi  $\theta$  superioare celei nominale  $\theta_*$  o perioadă de timp  $t$ , evident mai mică decît durata pînă la rupere  $\tau_{r*}$  la temperatură  $\theta_*$ , Serensen și Kozlov [55] propun o metodă de apreciere a durabilității bazată pe însumarea liniară a degradărilor.

Se consideră că, curbele rezistenței tehnice de durată în coordonale  $\lg t - \lg \sigma$  sunt drepte de o anumită înclinație. Pe baza acestora se pot trasa curbele  $\tau_r - \theta$  la tensiune constantă, care în coordonate  $\lg \tau_r - \lg \theta$  se consideră deasemenea drepte.

In consecință ecuațiile rezistenței de durată sint de forma

$$\tau_r(\theta)^w = ct. \quad (1.1.2)$$

Trecîndu-se la coordonate relative se obține

$$\frac{\tau_r}{\tau_{r*}} \left( \frac{\theta}{\theta_*} \right)^w = 1 \quad (1.1.3)$$

unde  $\tau_r$  este timpul pînă la rupere la supratemperatura  $\theta$ ,  $\tau_{r*}$  - timpul pînă la rupere la temperatura nominală  $\theta_*$ .

Dacă după o perioadă de timp  $t_1$  de menținere la temperatură  $\theta_1$  se aplică supratemperatura  $\theta_2$  și se menține pînă la rupere o durată  $t_2$  atunci se poate scrie cîtmea din durabilitate consumată ca raportul  $t_1/\tau_{r1}$  iar cea rămasă diferență

$$1 - \frac{t_1}{\tau_{r1}} = \frac{\tau_{r1} - t_1}{\tau_{r1}} \quad (1.1.4)$$

Dacă se admite valabilă însușirea liniară a degradărilor atunci această cîtime de durabilitate rămasă se consumă în parte două a încercării adică

$$\frac{\tau_{r1} - t_1}{\tau_{r1}} = \frac{t_2}{\tau_{r2}} \quad (1.1.5)$$

în care  $\tau_{r2}$  este timpul pînă la rupere la supratemperatura  $\theta_2$ . Relația 1.1.5 se mai poate scrie:

$$\frac{\tau_{r1} - t_1}{t_2} = \frac{\tau_{r1}}{\tau_{r2}} \quad (1.1.6)$$

Inmulțind ambii membri cu  $\left(\frac{\theta_1}{\theta_2}\right)^w$  (și ținind cont de 1.1.3) se obține:

$$\frac{\tau_{r1} - t_1}{t_2} \left(\frac{\theta_1}{\theta_2}\right)^w = 1 \quad (1.1.7)$$

Se constată însă abateri dela această lege de însușire liniară a degradărilor astfel încît relația (1.1.7) ia forma

$$\frac{\tau_{r1} - t_1}{t_2} \left(\frac{\theta_1}{\theta_2}\right)^q = 1 \quad (1.1.8)$$

în care  $q = w$  la însușirea simplă, liniară,  $q > w$  în cazul unor degradări mai accentuate și  $q < w$  la degradări mai puțin pronunțate.

Desigur  $w$  se poate determina din dreptele rezistenței tehnice de durată la temperatură constantă cu relația:

$$w = \frac{\lg \frac{\tau_{r1} - t_1}{t_2}}{\lg \left(\frac{\theta_1}{\theta_2}\right)} \quad (1.1.10)$$

Factorul  $q$  se determină dintr-o relație similară dar în

$$\beta = \frac{t_2'}{t_1'} \quad (1.1.11)$$

în care  $t_2'$  este durata de menținere în timpul unui ciclu la temperatură  $\theta_2$  iar  $t_1'$  la temperatura  $\theta_1$ . Ruperea se produce după

$$t = t_1 + t_2 = \sum t_1' + \sum t_2'$$

Pe baza relației (1.1.8) și (1.1.11) și ținând seama că:

$$\frac{t_2}{t_1} = \frac{\sum t_2'}{\sum t_1'} = \beta \quad \text{se ajunge la:}$$

$$t_1 = \frac{\tau_{r_1}}{1 + \beta \left( \frac{\theta_2}{\theta_1} \right)^q} \quad \text{și} \quad t_2 = \frac{\beta \tau_{r_1}}{1 + \beta \left( \frac{\theta_2}{\theta_1} \right)^q} \quad (1.1.12)$$

Iar timpul total pînă la rupere:

$$t = t_1 + t_2 = \tau_{r_1} \frac{1 + \beta}{1 + \beta \left( \frac{\theta_2}{\theta_1} \right)^q} \quad (1.1.13)$$

Dacă se admite o însumare liniară a degradărilor într-o formă mai generală atunci:

$$\sum_i^2 \frac{t_i}{\tau_{r_i}} = a \quad (1.1.14)$$

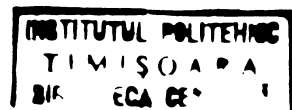
în care a poate avea valori diferite de unitate.

Valoarea constantei a se poate determina pe baza relațiilor 1.1.7 și 1.1.12

$$a = \frac{1 + \beta \left( \frac{\theta_2}{\theta_1} \right)^p}{1 + \beta \left( \frac{\theta_2}{\theta_1} \right)^q} \quad (1.1.15)$$

In ceea ce privește determinarea exponentilor p și q rămîn valabile aceleasi considerente ca și în cazul unei singure trepte de temperatură.

La o variație în mai multe trepte a temperaturii (fig. 1.1.3) dacă se admite că legea de însumare a degradărilor rămîne aceeași ca și în cazul unei singure trepte se ajunge la expresia duratei totale pînă la rupere:

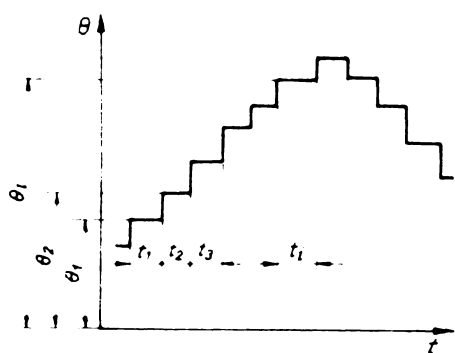


$$t = \frac{(1 + \sum_{i=2,3..} \beta_i) \tau_{r_1}}{1 + \sum_{i=2,3..} \beta_i \left(\frac{\theta_i}{\theta_1}\right)^q} \quad (1.1.15)$$

în care  $\beta_1 = \frac{t_1}{t_1}$ ,  $t_1$  este durata de menținere la temperatura  $\theta_1$ ,  $t_1$  durata de menținere la temperatură  $\theta_1$  și  $\tau_{r_1}$  timpul pînă la ruperea probei la temperatură  $t_1$ .

Si în acest caz, analog relației (1.1.15), se poate stabili valoarea coeficientului  $a$

$$a = \frac{1 + \sum_{i=2,3..} \beta_i \left(\frac{\theta_i}{\theta_1}\right)^p}{1 + \sum_{i=2,3..} \beta_i \left(\frac{\theta_i}{\theta_1}\right)^q} \quad (1.1.17)$$



**fig.1.1.3**  
Graficul variației în trepte a temperaturii de încercare

Dacă temperatura variază continuu și se cunoaște funcția  $\theta = \theta(t)$  determinarea duratei totale pînă la rupere se poate face prin integrare.

Serensen și Kozlov analizînd rezultatele unor încercări de fluaj cu temperatură variabilă în trepte constată abateri importante dela legea însumării simplu liniare a degradărilor și recomandă metodica enunțată mai sus.

In ultimul timp această metodă a fost complectată cu aspecte statistice [2] prin introducerea noțiunii aleatoare de degradare, ceeace permite calculul durabilității în condiții de variație întîmplătoare a tensiunii și temperaturii. Desigur această metodă permite o abordare mai apropiată de condițiile reale de funcționare unde deobicei variațiile parametrilor de regim sunt aleatoare. In lucrarea [2] pornindu-se dela forma clasică a expresiei degradării.

$$p = t_{(\theta, \sigma)} / \tau_{l(\theta, \sigma)} \quad (1.1.18)$$

în care  $p$  - degradarea pe intervalul de timp considerat

$t_{(\theta, \sigma)}$  - timpul de menținere al probei la tensiunea  $\sigma$  și temperatură  $\theta$

$\tau_{l(\theta, \sigma)}$  - timpul mediu pînă la rupere la temperatură  $\theta$  și tensiunea  $\sigma$

și înlocuindu-se valoarea medie  $\tau_{l(\theta, \sigma)}$  cu valoarea reală care este o mărime statistică se ajunge la concluzia că și degradarea este o mărime statistică.

In aceste condiții degradarea se introduce prin:

$$\pi[t(\theta, \sigma)] = t_{(\theta, \sigma)} / \tau_{l(\theta, \sigma)} \quad \text{dacă } \tau_{l(\theta, \sigma)} > t_{(\theta, \sigma)} \quad (1.1.19a)$$

$$\pi[t(\theta, \sigma)] = 1 \quad \text{dacă } \tau_{l(\theta, \sigma)} \leq t_{(\theta, \sigma)} \quad (1.1.19b)$$

în care  $\tau_{l(\theta, \sigma)}$  este durata pînă la rupere la tensiunea  $\sigma$  și temperatură  $\theta$ , privită însă ca o mărime statistică. De aceea  $\pi[t(\theta, \sigma)]$  va avea funcție de distribuție ce rezultă din relația (1.1.19 a) și din funcția de distribuție a timpului de rupere  $\tau_{l(\theta, \sigma)}$ .

Se consideră apoi un caz în care condițiile reale de funcționare sunt definite de un sir de temperaturi diferite  $\theta_i$ , unde  $i = 1 \dots n$  în timpii  $t_i$ . Durata de menținere la temperatură  $\theta_i$  este

$$\Delta t_i = t_i - t_{i-1} \quad (t_0 = 0) \quad (1.1.20)$$

Funcția de degradare corespunzătoare se notează cu  $\pi_i(t)$ . Degradarea parțială  $\Delta \pi_i$  ce ar putea să apară datorită variației de temperatură din timpul  $\Delta t_i$  (această creștere  $\Delta \pi_i(t)$  depinde nu numai de  $\Delta t_i$  pînă la timpul de rupere  $\tau$ , ci și de gradul de degradare al probei dinaintea intervalului de timp considerat, caci valoarea degradării nu poate depăși 1) este dată după teoria acumulării liniare a degradărilor de egalitatea 1.1.18. Dar:

$$\Delta \pi_i = \pi(\Delta t_i) \quad (1.1.21)$$

care poate fi exprimată în felul următor:

$$\Delta \pi_i = \Delta t_i / \tau(\theta_i) \quad \text{pentru} \quad \Delta t_i < \tau(\theta_i) \quad (1.1.22a)$$

$$\Delta \pi_i = 1 \quad \text{pentru} \quad \Delta t_i \geq \tau(\theta_i) \quad (1.1.22b)$$

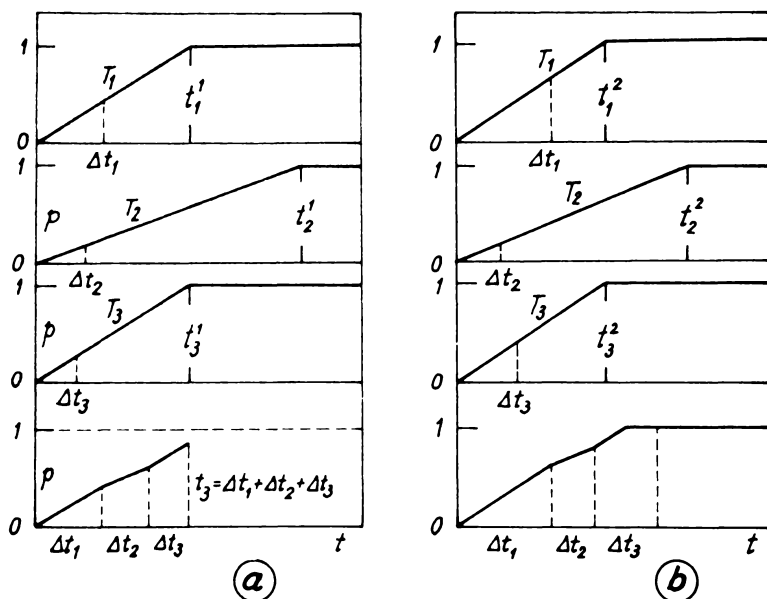
Pentru exemplificare se consideră trei nivele de temperatură  $\theta_1$ ,  $\theta_2$  și  $\theta_3$  la care o probă aflată sub tensiune constantă  $\sigma$  este menținută timpii  $\Delta t_1$ ,  $\Delta t_2$  și  $\Delta t_3$ . Degradarea obținută

pe intervalul de timp  $t_3 = \Delta t_1 + \Delta t_2 + \Delta t_3$  poate fi mai mică sau egală cu unitatea.

In fig.1.1.4.a. se prezintă prima situație iar în fig. 1.1.4.b cea de a doua.

Evident:

$$\pi(t_n) = \sum_i^n \Delta \pi_i \quad \text{pentru} \quad \sum_i^n \Delta \pi_i < 1 \quad (1.1.23a)$$



**fig.1.1.4**  
Modul de apreciere al degradării totale pentru 3 nivele diferite de temperatură

$$\pi(t_n) = 1 \quad \text{pentru} \quad \sum_i^n \Delta \pi_i \geq 1 \quad (1.1.23b)$$

Deoarece timpul pînă la rupere  $\tau_i$  este o funcție statistică, înseamnă că degradarea după timpul  $t_n$  se va calcula sub forma unei probabilități definite de relațiile:

$$P[\pi(t_n) < 1] = P(t_n < \tau) \quad (1.1.24a)$$

$$P[\pi(t_n) = 1] = P(t_n \geq \tau) \quad (1.1.24b)$$

adică probabilitatea ca degradarea să fie o anumită valoare este egală cu probabilitatea ca timpul total de menținere  $t_n$  să fie într-un anumit raport față de timpul pînă la rupere în condiții de variație a temperaturii.

Dacă se însumează toți timpii de menținere la aceeași temperatură atunci funcția de degradare ia forma:

$$\pi(t) = \sum_{j=1}^m \Delta Z_j / \tau(\theta_j) \quad (1.1.25)$$

unde  $\Delta Z_j$  reprezintă suma tuturor timpilor  $\Delta t_i$  la care proba este menținută la aceiași temperatură.

Valabilitatea metodei însumării liniare a degradărilor este limitată de o serie de factori dintre care se amintesc:

a) modificări structurale ale oțelului în decursul încercării (recristalizări, precipitări, oxidări intergranulare etc.) accelerate de variațiile de temperatură și tensiune.

b) tensionile termice ce apar datorită unor variații brusăte de temperatură.

c) oboseala termică ce se produce dacă numărul ciclurilor de variație a temperaturii este mare.

O sintetizare foarte clară a modificărilor structurale ce pot apărea este dată de Dorn [14]. Se amintesc:

- Pierderea ecruisării datorită unui proces de deblocare a dislocațiilor, în urma difuziei la temperaturi ridicate. Lubahn [39] constată pentru un oțel Cr - Mo - V că dacă după descărcare proba este menținută, la temperatură ridicată (sub nivelul modificărilor structurale propriu zise) atunci la refincărcare viteza de fluaj  $v_f = \frac{d\epsilon_f}{dt}$  (unde  $\epsilon_f$  este deformarea de fluaj) crește cu atât mai mult cu cât durata de intrerupere este mai mare. Evident creșterea vitezei de fluaj este influențată și de nivelul de temperatură.

- Recristalizarea care poate accelera procesul de fluaj prin eliberarea tensiunilor interne. Guarnieri [21] cu ajutorul razelor X arată pentru un aliaj de Mg că dacă menținerea la temperatură ridicată este asociată cu o tensiune aplicată intermitent atunci procesul de recristalizare este accelerat în comparație cu cel din cazul aplicării unei tensiuni constante.

- Îmbătrînirea, adică procesul de aglomerare a particulelor dure fin dispersate, în particule de dimensiuni mai mari, poate conduce la micșorarea performanțelor aliajului la temperaturi ridicate, dacă inițial dispersarea și dimensiunile precipitatelor dure erau cele optime, din punct de vedere al blocării deplasării dislocațiilor. Dacă din contră inițial dispersarea era sub cea optimă prin procesul de aglomerare se tinde spre aceasta, rezistența la fluaj a materialului crescind.

Guarnieri [21] efectuând încercări de fluaj la tensiune constantă, respectiv intermitentă, pe același material a constatat că deformarea totală de fluaj este mai mare în cazul în care sarcina este intermitentă, fapt datorat procesului de îmbătrînire ce

s-a constatat că este mai accentuat în ultimul caz.

- Dizolvare și reprecipitare. În acest caz la temperaturi ridicate solubilitatea carburilor crește iar la temperatură scăzută ele se precipită în particule mai mari, rezistența la fluaj scăzind. La unele aliaje de Ni - Cr s-au observat creșteri de peste 10 ori ale vitezei de fluaj după refincălvirea probiei. Este de remarcat totuși că uneori procesul de dizolvare și reprecipitare este favorabil depinzând de dimensiunile particulelor de carburi precum și de dispersarea lor. Probabil dacă răcirea se face lent particulele sunt mai mari (existând suficient timp pentru aglomerarea lor) iar dacă răcirea se face rapid atunci dispersarea este mai fină, particulele fiind mai mici.

- Deformația neomogenă. În cazul aliajelor complexe la care constituenții au coeficienți de dilatare diferiți, variațiile rapide de temperatură pot provoca cursarea plastică a unor din ei precum și unele modificări structurale, accelerate de nivelul mare al tensiunii în unei constituenții (tensiunea provocată de diferența de coeficient de dilatare se suprapune peste cea exterioară)

- Oxidarea. Aliajele termorezistente și realizează protecția suprafeței printr-un strat de oxid care nu permite oxidarea materialului de bază. Dacă temperatura variază ciclic atunci ca urmare a coeficienților de dilatare diferiți pentru oxid și materialul de bază, stratul de oxid se fisură și se desprinde de pe suprafață. Cind temperatura crește, suprafața materialului de bază se oxidează din nou și procesul se repetă, conducind evident la micșorarea secțiunii și în consecință la accelerarea fluajului.

- Oxidarea intergranulară sau coroziunea. Materialele susceptibile la oxidare intergranulară în cazul solicitărilor ciclice se comportă mult mai slab decărcate fisurările provocate de oxidare se propagă mult mai ușor în condiții de variație a tensiunii. Odată fisura propagându-se oferă suprafețe "curate" ce se pot oxida și.m.d.

In ceeace privește tensiunile termice ce apar ca urmare a unor variații rapide de temperatură se poate afirma că au o importanță deosebită. Astfel Röpke [52] evidențiază micșorarea de 2 ... 3 ori a rezistenței tehnice de durată la un oțel Cr - Mo - V, ca urmare a variațiilor brusă de temperatură, comparativ cu rezistența tehnică de durată corespunzătoare nivelului maxim de tempe-

ratură. Evident că în acest caz aplicarea metodei însumării liniare simple a degradărilor este total nefondată. Se remarcă deosemenea prezența în acest caz a unui proces defavorabil de creștere a particulelor de carburi, accelerat după părerea aceluiași autor de fluctuațiile de tensiune și temperatură.

Evident că dacă numărul ciclurilor de variație a temperaturii este relativ mare poate apărea oboseala termică, care produce o rupere prematură a probelor, comparativ cu încercarea statică de fluaj la temperatură constantă. De asemenea dacă numărul ciclurilor de variație a tensiunii este mai mare atunci apare și un proces de oboseală mecanică obișnuită, dar la temperatură ridicată.

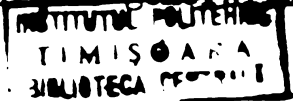
Din cele prezentate rezultă că aplicarea metodei însumării liniare a degradărilor pentru materiale supuse unui fluaj cu temperatură variabilă trebuie făcută cu multă prudentă, pentru a se evita erori însemnate în aprecierea durabilității. Executarea unor încercări la temperatură variabilă, în condiții apropiate de cele reale de utilizare a materialului respectiv se consideră imperios necesare pentru a se ridica gradul de certitudine a coeeficientului de siguranță, în instalațiile ce lucrează la temperaturi ridicate.

#### 1.2. Aspecte analitice ale fluajului în condițiile variației de tensiune și temperatură.

In paragraful precedent s-a trecut în revistă metoda însumării liniare a degradărilor utilizată în vederea stabilirii rezistenței tehnice de durată în cazul în care tensiunea și temperatura sunt variabile. Este însă important de analizat și modul de desfășurare al deformației de fluaj în timp, deoarece în multe situații siguranța în exploatare a unei piese, ce lucrează la temperaturi ridicate, este afectată în primul rînd de nivelul deformației sale. O posibilitate de abordare a acestei probleme este ecuația mecanică de stare care să includă toți factorii ce guvernează desfășurarea procesului de fluaj.

In general deformația de fluaj este o funcție de tensiune, viteza de variație a acesteia, de timp, de temperatură, de viteza de variație a temperaturii, de viteza deformației plastice, de modificările structurale, de anizotropia materialului, de neomogenitatea inherentă elaborării industriale.

Se prezintă în continuare ecuația mecanică de stare propusă de Kostiuic [36] care are un grad înalt de generalizare.



Dacă la întindere monoaxială tensiunea este o funcție de timp  $\delta(t)$ , temperatura  $\theta(t)$  deformarea infinitesimală într-un interval  $dt$  va fi:

$$d\delta = d\delta_e + d\delta_t + d\delta_p + d\delta_f \quad (1.2.1)$$

unde

$d\delta_e$  - diferențiala alungirii elastice  $\delta_e = \frac{\sigma}{E(\theta)}$

$d\delta_t$  - diferențiala alungirii cu temperatură  $\delta_t = \theta x(\theta)$

$d\delta_p$  - diferențiala alungirii plastice definită de relația:

$$d\delta_p = R_1 dt + R_2 d\delta + R_3 d\theta$$

$d\delta_f$  =  $R_4 dt$  - diferențiala alungirii de fluaj

Mărimele  $R_i$  ( $i = 1, 2, 3, 4$ ) sunt funcții de timp ( $t$ ) tensiune ( $\sigma$ ) și temperatură ( $\theta$ ) precum și de parametrii structurali  $q_r$  ( $r = 1, 2, 3 \dots s$ ) definiți de relațiile:

$$dq_r = a_{r1} dt + a_{r2} d\delta + a_{r3} d\theta$$

unde:

Mărimele  $R_i$  reprezintă:

$R_1$  - influența proceselor vremelnice asupra deformării plastice (difuzie, îmbătrînire).

$R_2$  - schimbarea izotermă instantanea a deformării plastice în legătură cu variația tensiunii.

$R_3$  - influența variației temperaturii asupra deformării plastice

$R_4$  - viteza de fluaj

Fiecare din coeficienții  $R_i$  și  $a_{ij}$  are două ramuri pentru aceleași valori ale timpului, tensiunii, temperaturii. Una din ramuri  $R'$  și  $a'_{ij}$  corespunde deformării plastice active și cealaltă  $R''$  și  $a''_{ij}$  descărcării. Actualmente dependanțele  $R_i(t, \delta, \theta, q_r)$  și  $(t, \delta, \theta, q_r)$  nu sunt cunoscute deoarece alegerea aspectului lor ar necesita un număr foarte mare de încercări, cu variația controlată a tuturor parametrilor enunțați mai sus ceea ce este foarte dificil de efectuat și în orice caz pînă în prezent nerealizat. Relațiile prezентate pentru ecuația mecanică de stare evidențiază complexitatea legilor care generează procesul de fluaj chiar la întindere monoaxială.

In plus Vorotnicov și Rovinskii [63] arată că forma ecuației mecanice de stare depinde și de tipul încercării.

Totuși abordarea fluajului la tensiune și temperatură variabilă pornindu-se dela ecuația mecanică de stare și făcîndu-se unele simplificări sau presupunerî pe baza datelor experimentale pare actualmente singura cale posibilă.

In cazul unei stări biaxiale sau triaxiale de tensiune complexitatea ecuației mecanice de stare crește intervenind de sigur dependențe funcționale care să țină seama de starea de tensiune.

Oricât de vast ar fi un program de încercări experimentale el nu poate acoperi toate posibilitățile de variație în timp ale acestor mărimi.

De aceea numerosi cercetători au căutat relații analitice simplificate între factorii ce guvernează procesul de fluaj. În majoritatea cazurilor cu ajutorul acestor relații (numite de multe ori și ipoteze de fluaj) s-a încercat să se rezolve cazul fluajului în condiții de tensiune variabilă pe baza încercărilor de fluaj la tensiune și temperatură constantă [41], [35], [50]. Cea mai largă răspândire o au (datorită concordanței cu rezultatele experimentale) ipoteza întăririi și eredității plastice.

Ipoteza întăririi presupune că la o anumită temperatură există o relație între deformația specifică de fluaj  $\dot{\varepsilon}_f$ , viteza de fluaj  $\dot{\varepsilon}_f$  și temperatura  $\theta$  adică

$$\Phi(\varepsilon_f, \dot{\varepsilon}_f, \theta) = 0 \quad (1.2.2)$$

Dacă și temperatura este variabilă această funcție devine:

$$\Phi'(\varepsilon_f, \dot{\varepsilon}_f, \theta) = 0 \quad (1.2.3)$$

În literatura consultată se admite temperatura constantă așa încât nu se dă nici o formă concretă a funcției (1.2.3). În ceace privește funcția (1.2.2) se admit diferite aspecte [49] între care se amintesc:

$$\dot{\varepsilon}_f \cdot \varepsilon_f^\beta = \alpha \theta^\gamma \quad \text{sau} \quad \dot{\varepsilon}_f \cdot \varepsilon_f^c = a \theta^{b/c} \quad (1.2.4 \text{ și } 1.2.5)$$

unde  $\alpha, \beta, \gamma$  respectiv  $a, b, c$  sunt constante ce se determină experimental. În ambele cazuri se remarcă faptul că nu se ține seama de deformația instantaneă și că se presupun curbele de fluaj geometric asemenea.

Ipoteza eredității plastice presupune că între tensiune, deformație, timp și temperatură există o relație de forma:

$$\varepsilon(t) = \varepsilon_e(t) + \int_0^t Q[t - \xi, \theta(\xi), \dot{\varepsilon}_f(\xi)] d\xi \quad (1.2.6)$$

unde

$\varepsilon(t)$  – deformația totală (plastică și elastică) în funcție de timp

$\varepsilon_e(t)$  – deformația elastică dată de legea lui Hooke

$\sigma(\xi), \theta(\xi)$  - funcțiile de timp ale tensiunii și temperaturii

Această ipoteză este singura care explică fluajul invers.

Deși ambele ipoteze se apropie destul de mult de rezultatele experimentale, mănuirea lor analitică implică dificultăți matematice deosebite astfel încât se recurge la rezolvarea lor aproximativă prin metode numerice.

In cazul unor variații rapide de temperatură, datorită tensiunilor termice ce se produc, fluajul are loc în condiții de variație atât a temperaturii cât și a tensiunii. In unele zone ale materialului tensiunea resultantă (prin suprapunerea tensiunilor termice peste cea nominală) scade în alte zone crește.

Namestnicov [44], pe baza studierii fluajului aluminiului la tensiune variabilă, a tras concluzia că teoria întăririi concordă mai bine cu cazul creșterii tensiunii iar cea a eredității plastice cu cazul scăderii acesteia. Se propune chiar separarea deformației fluajului în două componente și anume una care ascultă de ipoteza întăririi și cealaltă, care ascultă de ipoteza eredității plastice. Motivarea este dată de faptul că ipoteza eredității plastice presupune deformația de fluaj integral reversibilă iar cea întăririi integral ireversibilă, deformația reală fiind parțial reversibilă.

Se pornește dela expresia deformației plastice după ipoteza eredității plastice pentru cazul în care temperatura este constantă:

$$\varepsilon_f(t) = \int_0^t K(t-\xi) f[\sigma(\xi)] d\xi \quad (1.2.7)$$

Notindu-se:

$$\int_0^t K(t-\xi) d\xi = \varphi(t)$$

respectiv

$$\dot{\varphi}(t) = K(t)$$

și admitând că tensiunea este constantă  $\sigma = \sigma_0$  (1.2.7) devine:

$$\varepsilon_f(\sigma_0, t) = f(\sigma_0) \cdot \varphi(t) \quad (1.2.8)$$

Se descarcă epruveta, adică  $\sigma = 0$ , la  $t = \xi_0$  și se integrează (1.2.7) pentru funcția în trepte:

$$\sigma(t) = \begin{cases} \sigma_0 & \text{la } t \leq \xi_0 \\ 0 & \text{la } t > \xi_0 \end{cases} \quad (1.2.9)$$

obținindu-se:

$$\varepsilon_f(t) = f(\xi_0) [\varphi(t) - \varphi(t - \xi_0)] \quad (1.2.10)$$

Funcția  $\varphi(t)$  este o funcție de timp la o putere mai mică decât unitatea, deci dacă  $t \rightarrow \infty$  atunci  $[\varphi(t) - \varphi(t - \xi_0)] \rightarrow 0$  și  $\varepsilon_f(t) \rightarrow 0$ .

Rezultă că întreaga deformare de fluaj este recuperabilă.

După teoria întăririi dacă  $\xi = 0$  atunci  $\varepsilon_f = 0$  (conform relațiilor 1.2.4 și 1.2.5) adică deformarea de fluaj este ireversibilă.

In continuare se va nota cu  $e(t)$  partea din alungirea de fluaj reversibilă (ascultă de ipoteza eredității) și cu  $p(t)$  cea ireversibilă (ascultă de ipoteza întăririi). Evident:

$$\varepsilon_f(t) = e(t) + p(t) \quad (1.2.11)$$

In vederea separării celor două componente se execută încercări de fluaj pentru cîteva nivele ale tensiunii o durată  $\xi_0$ , apoi se descarcă epruveta măsurîndu-se cele două componente ale fluajului. Se notează  $v(\xi_0, t - \xi_0)$  parte din deformare reversibilă care se recuperează după timpul  $t - \xi_0$  dela descărcare putîndu-se scrie:

$$e(t) = e(\xi_0, \xi_0) - v(\xi_0, t - \xi_0) \quad (1.2.12)$$

Tinînd seama de 1.2.8 și 1.2.10 se obține:

$$f(\xi_0) [\varphi(t) - \varphi(t - \xi_0)] = f(\xi_0) \varphi(\xi_0) - v(\xi_0, t - \xi_0)$$

Deci

$$v(\xi_0, t - \xi_0) = f(\xi_0) [\varphi(\xi_0) - \varphi(t) + \varphi(t - \xi_0)] \quad (1.2.13)$$

Dacă se consideră un alt timp  $t_2 > t_1$  se obține o expresie similară cu (1.2.13). Făcîndu-se raportul celor două expresii rezultă:

$$\frac{v(\xi_0, t_1 - \xi_0)}{v(\xi_0, t_2 - \xi_0)} = \frac{\varphi(\xi_0) - \varphi(t_1) + \varphi(t_1 - \xi_0)}{\varphi(\xi_0) - \varphi(t_2) + \varphi(t_2 - \xi_0)} \quad (1.2.14)$$

Lufind în considerare și alte momente de descărcare  $t_3, t_4 \dots t_n$  se obțin rapoarte de acelaș gen cu 1.2.14 din care se pot determina constantele funcției  $\varphi(t)$

Dacă se admite  $\varphi(t) = t^n$  unde  $n < 1$  atunci

$$v(\xi_0, t - \xi_0) = f(\xi_0) [\xi_0^n - t^n + (t - \xi_0)^n] \quad (1.2.15)$$



diferențind în raport cu  $t$ :

$$\dot{\varepsilon}(\delta_0, t - \xi_0) = nf(\delta_0) \left[ -t^{n-1} + (t - \xi_0)^{n-1} \right] \quad (1.2.16)$$

și făcindu-se raportul dintre 1.2.15 și 1.2.16:

$$\eta \frac{\xi_0^n - t^n + (t - \xi_0)^n}{-t^{n-1} + (t - \xi_0)^{n-1}} = \frac{\dot{\varepsilon}(\delta_0, t - \xi_0)}{\nu(\delta_0, t - \xi_0)} \quad (1.2.17)$$

de unde se poate determina  $n$  și apoi  $f(\delta_0)$

$$f(\delta_0) = \frac{\nu(\delta_0, t - \xi_0)}{\xi_0^n - t^n + (t - \xi_0)^n} \quad (1.2.18)$$

Însă deformația totală  $\varepsilon_f(t)$  se poate măsura experimental și aprecia ca o funcție analitică, deci se poate determina partea din deformația de fluaj ce ascultă de teoria întăririi.

$$p(t) = \varepsilon_f(t) - e(t) \quad (1.2.19)$$

Dacă se execută încercări la diferite nivele de reducere a tensiunii, se obține și dependența deformației de fluaj reversibile, de tensiune și astfel se poate ajunge la expresia deformației de fluaj la tensiuni variabile continuu.

În cazul variației de temperatură deoarece nu apare fluajul invers problema se simplifică puțin, putindu-se considera curbele de fluaj geometric asemenea în ceeace privește temperatură. Suprapunerea însă, a cazului variației atât a temperaturii cât și a tensiunii (variația rapidă a temperaturii) introduce dificultăți foarte mari în ceeace privește determinarea constantelor ce intervin în funcțiile analitice acceptate pentru deformația de fluaj.

În [13] se recomandă pentru cazul variației temperaturii și menținerii constante a tensiunii trasarea curbei de fluaj conform indicațiilor din fig. 1.2.1 sau 1.2.2.

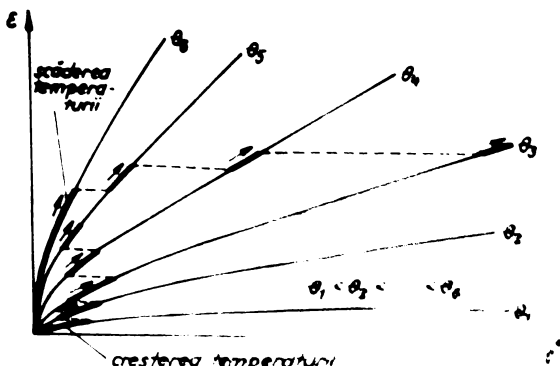


fig.1.2.1

Obținerea curbei de fluaj la temperatură variabilă din curbele de fluaj la temperatură constantă presupunând  $\dot{\varepsilon}_f = f(\varepsilon_f, \delta)$

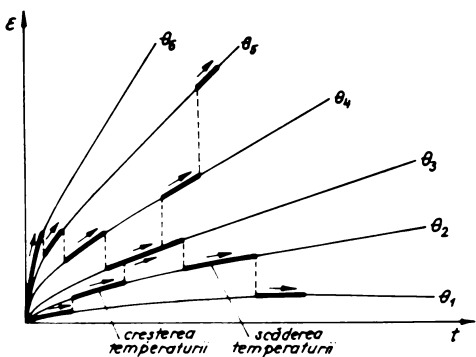


fig.1.2.2

Obținerea curbei de fluaj la temperatură variabilă din curbele de fluaj la temperatură constantă presupunind  $\dot{\epsilon}_f = f(\delta, t)$

Se constată că prima variantă dă rezultate mai apropiate de rezultatele experimentale, motiv pentru care este mai des utilizată.

In unele cazuri se aplică o metodă intermediară adică noua porțiune din curba de fluaj corespunzătoare trecerii la o altă temperatură se determină ca un compromis între cele două procedee (fig.1.2.3)

Toate cele trei metode se aplică dacă temperatura variază în trepte cu viteză de trecere dela o treaptă la alta, destul de mică pentru a nu provoca tensiuni termice. De asemenea durata de menținere la o temperatură să fie suficient de mare pentru a se putea neglijă perioada de tranziție dela o treaptă la alta.

In cazul unor variații continue de temperatură rezolvarea este destul de dificilă necesitând neapărat aproximarea curbelor de fluaj cu niște funcții analitice. O posibilitate de rezolvare aproximativă este înlocuirea curbei de variație a temperaturii cu o variație în trepte și aplicarea apoi a uneia din metodicele prezentate anterior.

Dorn [43] propune o metodă bazată pe faptul că fluajul este un proces termic activat.

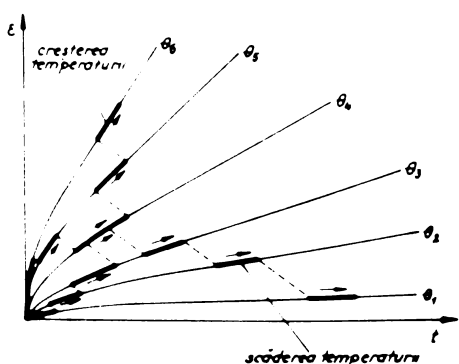


fig.1.2.3

Obținerea curbei de fluaj la temperatură variabilă din curbele de fluaj la temperatură constantă presupunind  $\dot{\epsilon}_f = f(\epsilon_f, \delta, t)$ .

Se consideră că dacă este cunoscută curba de fluaj la o temperatură și tensiune dată se pot obține curbele de fluaj la orice altă temperatură. În vederea acestui scop se introduce un "timp echivalent" dat în expresia:

$$t' = t \cdot e^{-\frac{\Delta H}{RT}} \quad (1.2.20)$$

unde  $t'$  – timpul echivalent  
 $t$  – durata de fluaj la o anumită temperatură  
 $H$  – energia de activare a fluajului  
 $R$  – constanta gazelor  
 $T$  – temperatura absolută

Dacă se consideră curbele de fluaj pentru trei temperaturi absolute  $T_1, T_2, T_3$  (fig.1.2.4) la care proba este menținută durantele  $t_1, t_2, t_3$  și se admite valabilă ipoteza că viteza de fluaj este determinată numai de nivelul deformației atunci curba rezultantă de fluaj se obține inserindu-se porțiunile OA, BC, DE. La același rezultat se poate ajunge dacă se trasează curba  $\varepsilon = f(t')$   $f(t')$  – fig.1.2.5 – unde  $t'_1, t'_2$  și  $t'_3$  reprezintă timpii echivalenți. (Bineîntelese metoda presupune că dependența dintre alungirea  $\varepsilon$  și timpul echivalent poate fi apreciată printr-o curbă,

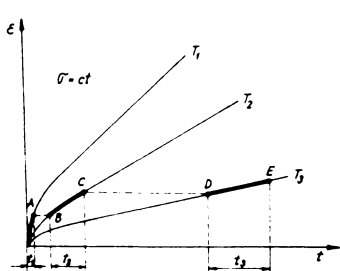


fig.1.2.4  
Stabilirea deformației de fluaj pentru 3 temperaturi absolute  $T_1, T_2, T_3$  corespunzător timpilor reali de menținere

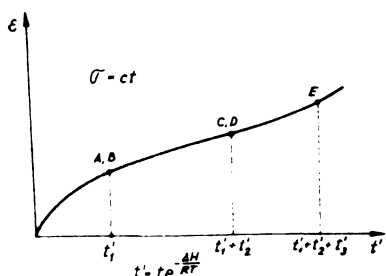


fig.1.2.5  
Stabilirea curbei dependenței deformației de fluaj de timpul echivalent

adică dispersia punctelor și  $t'$  determinate din curbele izoterme de fluaj nu este prea mare. Se constată în general că acest deziderat se respectă mai ales la metale pure sau slab aliate).

Rezultă

$$t' = t'_1 + t'_2 + t'_3 = t_1 e^{-\frac{\Delta H}{RT_1}} + t_2 e^{-\frac{\Delta H}{RT_2}} + t_3 e^{-\frac{\Delta H}{RT_3}} \quad (1.2.21)$$

adică se calculează timpul echivalent și deformația specifică ce corespunde acestuia se citește direct din diagrama  $\varepsilon=f(t')$

In cazul unei variații continue a temperaturii se consideră intervale de timp infinitezimale pe durata cărora temperatura rămîne constantă

$$dt' = e^{-\frac{\Delta H}{RT}} dt \quad (1.2.22)$$

și durata echivalentă va fi:

$$t' = \int_0^t e^{-\frac{\Delta H}{RT}} dt \quad (1.2.23)$$

Cunoscindu-se  $t'$  se poate determina din curba  $\varepsilon=f(t')$  deformația specifică  $\varepsilon$ .

Dorn menționează că pentru aluminiu pur încercat după un program complex de temperatură, concordanța dintre rezultatele obținute folosindu-se această metodă și rezultatele experimentale este foarte bună. In cazul încercărilor efectuate asupra unor aliaje rezultatele nu mai concordă atât de bine.

Deficiența metodelor de apreciere a deformației de fluaj în cazul programelor de variație rapidă a temperaturii este că nu țin seama de tensiunile termice ceea ce impiedică serios asupra concordanței datelor teoretice cu cele experimentale.

De asemenea producerea unor modificări structurale ce modifică desfașurarea procesului de fluaj nu este prevăzută.

Este deci necesară o studiere atentă a tensiunilor termice precum și a modificărilor structurale în vederea introducerii unor factori de corecție.

## 2. CONSIDERATII ASUPRA INCERCARILOR DE FLUAJ LA TEMPERATURA VARIABILA.

In cele ce urmează se va face o analiză mai amplă a încercărilor de fluaj cu temperatură variabilă, aspecte ale acestora constituind obiectul prezentei lucrări.

In primul rînd se vor discuta condițiile de răcire și încălzire, apoi se vor analiza unele din încercările de fluaj cu temperatură variabilă apărute în literatura de specialitate.

### 2.1. Condițiile de efectuare a încercărilor

Se constată în general la încercările de fluaj cu temperatură variabilă utilizarea unor epruvete cu secțiune circulară (mai rar dreptunghiulară) cu diametre sub 10 mm și cu baza de măsurare a deformărilor cuprinsă între 40 și 100 mm.

Pentru realizarea unor temperaturi variabile în materialul probei este necesară răcirea respectiv încălzirea acesteia, ceeace se face deobicei dinspre suprafața laterală spre interior.

Încălzirea se execută fie prin introducerea probei într-un cuptor electric (transmiterea căldurii se face prin radiație și convecție) fie direct prin utilizarea rezistenței electrice proprii a epruvetei și legarea directă la o sursă de tensiune. In primul caz încălzirea epruvetei se realizează dinspre exterior, spre interior cu o viteză determinată de coeficientul de schimb de căldură la nivelul suprafeței acesteia. Desigur acest coeficic de schimb de căldură depinde de diferența de temperatură între suprafața epruvetei și cea a mediului ambiant, coeficientul avînd valori mai mari la început și mai mici pe măsura egalizării temperaturii pe întreaga secțiune a epruvetei.

In cazul încălzirii directe dacă se lucrează în curent continuu încălzirea se realizează uniform în întreaga masă a probei deoarece densitatea de curent pe secțiune este constantă. In măsura în care se reduc pierderile de căldură prin suprafața exterioară a epruvetei se poate afirma că temperatura crește cu aceeași viteză în toată masa epruvetei. Dacă însă alimentarea se face de la o sursă de tensiune alternativă atunci datorită efectului peculiar densitatea de curent pe secțiune este variabilă și anume mult mai mare în zonele din apropierea suprafeței exterioare.

Cu creșterea frecvenței tensiunii de alimentare diferența de temperatură între straturile exterioare și cele din interiorul probei crește.

Fluxul de căldură se propagă în epruvetă prin conductie existând o oarecare asemănare între acest caz și cel al încălzirii în cupor la care fluxul de căldură în interior se propagă tot dinspre straturile exterioare spre cele interioare.

Deoarece controlul temperaturii în cazul încălzirii directe (mai ales în curent continuu) este greu de realizat instalațiile de acest gen sănă destul de rare. În plus rezistența relativ mică a epruvei implică curenți de alimentare mari (zeci sau chiar sute de amperi) ceea ce determină oarecari dificultăți în realizarea instalației electrice.

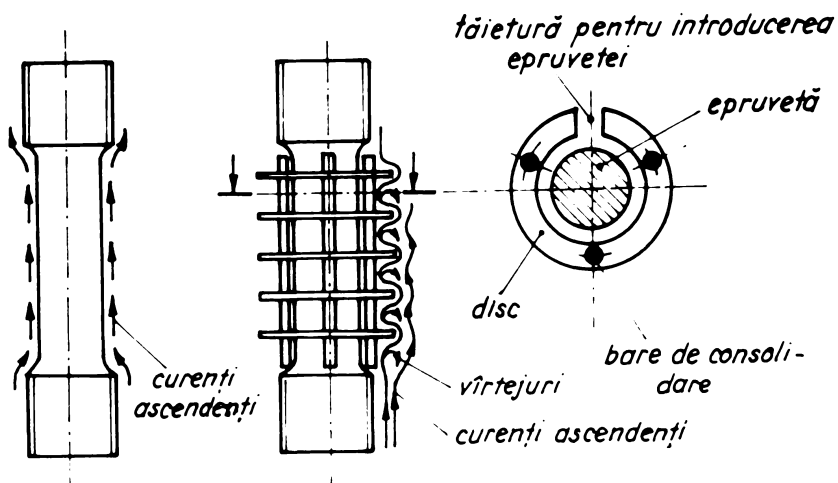
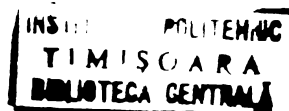


fig.2.1.1  
Dispozitiv pentru uniformizarea temperaturii pe lungimea probei la răcirea acesteia în aer liber în poziție verticală.



Răcirea epruvei se face deobicei prin convecție și radiație prin suprafața laterală a acesteia în aer, apă etc. Se remarcă, că atât în cazul încălzirii cât și în cazul răcirii apar în materialul probei procese tranzitorii, datorită căror temperatura este neuniformă distribuită pe secțiune ceea ce dă naștere unor tensiuni termice care modifică starea de tensiune inițială.

În consecință în diferitele straturi ale epruvei vom avea fluaj la tensiune și temperatură variabilă concomitant. Dacă se ține seama și de condițiile reale de răcire ale epruvei lucrările se complică și mai mult.

Intradevăr la răcire în aer liber prin convecție și radiație, epruveta fiind așezată vertical partea de jos se răcește mai repede cea de sus mai încet, datorită curenților ascendenți.

Apare deci o neuniformitate a distribuției temperaturii și pe lungimea ei nu numai pe secțiunea transversală .

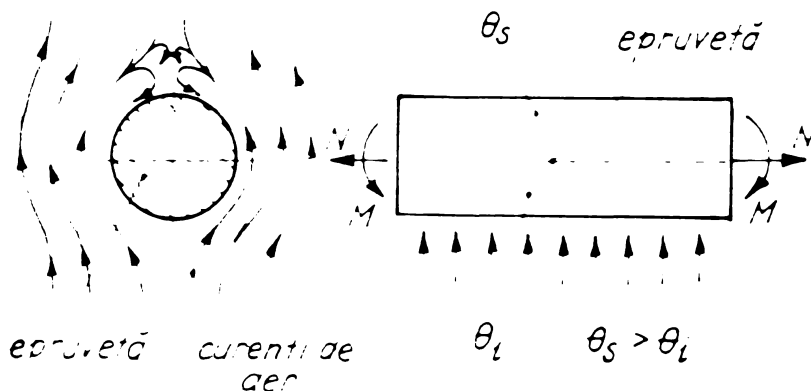
Pentru limitarea acestui neajuns autorul propune plasarea pe epruvetă a unor discuri ce să limiteze curenții ascendenți, (fig.2.1.1)

In scopul evitării contactului termic direct între epruvetă și discuri acest lucru conduce la accelerarea răcirii (creșterea suprafeței de contact cu mediul de răcire) diametrul interior al discurilor se face mai mare decât diametrul epruvei.

In cazul aşezării orizontale a epruvei datorită acelorași curenții de aer ascendenți apare o răcire mai intensă a părții inferioare și o răcire încetinată a părții superioare, (fig. 2.1.2).

Din acest motiv în partea inferioară temperatura în timpul răcirii va fi mai mică decât în partea superioară, fapt ce conduce la scurtarea mai accentuată a părții inferioare.

Acest efect este echivalent cu un moment de încovoiere aplicat epruvei. Suprapunerea tensiunilor termice peste cele exterior aplicate epruvei în acest caz determină o stare de tensiune greu de stabilit analitic. De aceia se consideră că acest mod de răcire a epruvei nu este recomandabil, deși este utilizat de unii autori [5].



**fig.2.1.2**  
Fenomenele ce apar la răcirea epruvei, în poziție orizontală, în aer liber

In cazul răcirii forțate, ce se realizează deobicei cu ajutorul curenților de aer sau apă proiectați cu viteză pe suprafața epruvei, fenomenele discutate pînă acum devin mai pregnante diferența de temperatură a suprafeței de contact cu mediul răcire și temperatura suprafețelor opuse fiind mult mai mari. In fig.2.1.3 se prezintă după [60] o diagramă polară a variației coeficientului de schimb de căldură pe periferia unui cilindru (cazul epruvei luată în studiu). Prinderea proceselor termice transitorii în relații analitice este dificil de făcut deoarece apar și în interiorul epruvei deplasări ale fluxului

de căldură dela zonele mai reci la cele mai calde, flux ce depinde de condițiile de răcire exterioare. Aprecierea tensiunilor

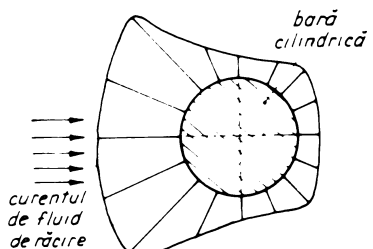


fig.2.1.3

Diagrama polară a coeficientului de schimb de căldură la răcirea cu jet de aer aplicat lateral epruvetei

termice care apar nu este deci posibilă și deci și interpretarea rezultatelor experimentale nu este certă.

Dacă răcirea se execută simultan în puncte opuse pe suprafața probei atunci se evită producerea încovoierii epruvei.

Desigur cu cît numărul acestor perechi de jeturi de răcire este mai mare cu atît uniformizarea pe contur a temperaturii se face mai bine. La diametrele relativ mici ale probelor ( $< 10$  mm) se consideră că două, cel mult patru asemenea jeturi sunt suficiente.

Din cele prezentate în acest paragraf se poate constata că problema încercărilor de fluaj la temperatură variabilă este mai complexă decît cea a încercărilor cu tensiune variabilă, ceea ce pe lîngă o analiză temeinică a condițiilor de răcire încălzire este necesară cunoașterea variației în timp a cîmpului de temperatură pe secțiunea transversală pentru a se putea aprecia tensiunile termice ce apar.

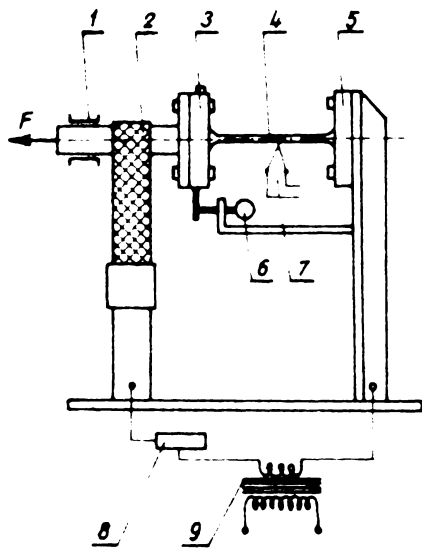
## 2.2. Analiza unor încercări de fluaj cu temperatură variabilă.

In primul capitol al prezentei lucrări s-au prezentat cîteva aspecte ale încercărilor de teoretizare a proceselor de deformare și de distrugere a metalelor la fluaj cu temperatură variabilă.

In vederea aprecierii comportării reale a materialelor în condiții de fluaj cu temperatură variabilă, o serie de cercetători au efectuat încercări, legate mai ales de durata pînă la rupere.

In cele ce urmează se discută încercările efectuate de Röpke D<sup>[52]</sup>, Rosanov P și Rusanova I [54], Pokorný și Potuzák [49] Guornieri [21] Miller J [43], asupra unor oteluri termorezistente.

In lucrarea [52] s-au luat in studiu două oțeluri feritice 13 Cr Mo 44 (1% Cr și 0,5% Mo) și 10 Cr Mo 910 (2% Cr și 1% Mo) care au fost incercate pînă la rupere în instalația prezentată în fig.2.2.1 atît în condiții de constantă a temperaturii cît și în condiții de variație a acesteia. Se remarcă, că încălzirea epruvetei s-a făcut prin încălzire directă, utilizindu-se rezistența ei proprie. Controlul temperaturii s-a făcut cu ajutorul unui termocuplu fixat într-o gaură făcută în epruvetă.



1. Lagőr
2. Bandă de cupru pentru transmiterea curentului electric
- 3, 4. Bacuri
5. Epruvetă
6. Comparator
7. Termocuplu
8. Reostat pentru reglarea curentului
9. Transformator pentru reducerea tensiunii de alimentare

**fig.2.2.1**  
Instalație pentru efectuarea încercărilor de fluaj cu temperatură variabilă pusă de Röpke D. [52]

Diametrul epruvetelor folosite este de 6 mm. Răcirea epruvetelor s-a făcut fie prin convecție liberă, fie forțat utilizându-se uiferite medii de răcire.

In tabelul 2.2.1 se prezintă programul încercărilor iar în fig.2.2.2, într-un sistem de axe dublu logaritmice variația duratei pînă la rupere cu tensiunea constantă aplicată epruvetei și cu programul de variație al temperaturii.

**Tabelul 2.2.1**

Domeniu de variație a temperaturii	Diferența de temperatură la de medie temp.	Viteza de încălzire	Viteza de răcire	Mediul de răcire	Coefficientul de schimbare
[°C]	[°C]	[°C]	[°C/S]	[°C/S]	[kcal/m²·h·°C]
1	2	3	4	5	6
7	8	9			

	1	2	3	4	5	6	7	8	9
A	550/450	500	100	3	4	aer liniș- tit		50	17,7
B	550/75	313	475	6	75	apă		20	2147
C	550/325	438	225	4	18	amestec apă + glice- rină		20	740
D	550/325	438	225	4	7	curent de aer		20	62,7
Y	550/450	500	100	3	4	argon		20	9,5

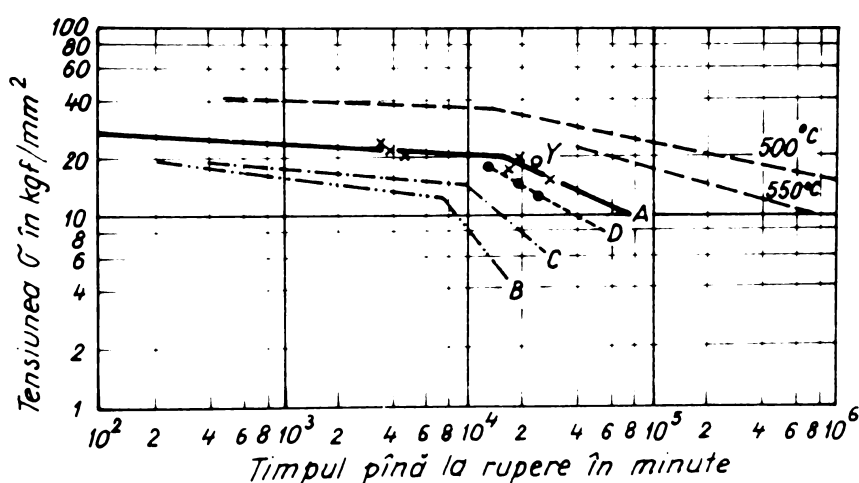
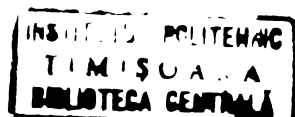


fig.2.2.2  
Diagramale rezistenței de durată pentru ciferite condiții de răcire obținută de Röpke D.



In aceiași diagramă s-au trăsat și curbele rezistenței de durată ale aceluiași oțel la temperaturile de 500 și 550°C. In fig.2.2.3 se prezintă variația duratei pînă la rupere în funcție de coeficientul de schimb de căldură (deci implicit de viteza de răcire) la ciferite nivele ale tensiunii.

Să poate observa, din compararea rezistențelor de durată determinate în condițiile de constantă a temperaturii și cele în condiții de variație a acesteia că legea însumării liniare a degradărilor nu se respectă. (Röpke nu face apel direct la teoria însumării liniare a degradărilor evidențiind totuși influența defavorabilă a variației temperaturii). De exemplu, în cazul seriei A la care răcirea s-a facut cu viteză mică

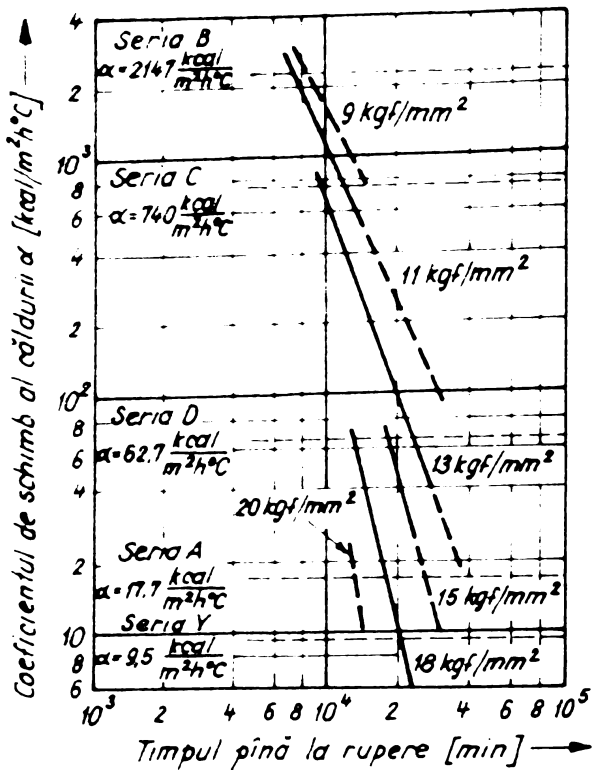


fig.2.2.3

Diagramele coeficientului de schimb de căldură în funcție de durata pînă la rupere și de condițiile de răcire (Röpke D)

(3°C/S) temperatura maximă fiind de 550°C iar cea minimă de 450°C la o tensiune de 10 kgf/mm<sup>2</sup> durata pînă la rupere a fost de cca.  $7 \cdot 10^4$  minute (1165 ore).

Dacă oțelul a fost încercat la aceeași tensiune dar la temperatură constantă, egală cu cea maximă (550°C) durata pînă la rupere a fost de 10 ori mai mare.

In condițiile valabilității însumării liniare a degradărilor, durata pînă la rupere în cazul A ar trebui să fie mai mare decît în cazul temperaturii constante, deoarece degradarea la 550°C este mai accentuată decît la 450°C.

Intradevăr dacă se aproximează că temperatura a variat în trepte și timpul de menținere la cele două nivele de temperatură a fost acelaș atunci:

$$\sum_{i=1}^2 \frac{t_i}{T_i} = \frac{t_r}{T_1} + \frac{t_r}{T_2} = \frac{t_r}{2} \left( \frac{1}{T_1} + \frac{1}{T_2} \right) = 1 \quad (2.2.1)$$

unde  $t_r$  - timpul total pînă la rupere

$T_1$  - timpul pînă la rupere la temperatura inferioară a ciclului (450°C)

$T_2$  - timpul pînă la rupere la temperatura superioară a ciclului ( $550^{\circ}\text{C}$ )

Dar  $T_1 \gg T_2$  deci

$$t_r = 2 T_1 = 14 \cdot 10^5 \text{ minute} \quad (2.2.2)$$

Abaterea duratei de viață determinată cu legea însumării liniare a degradărilor, față de cea reală este de cca 20 ori.

Cu atît mai pregnant se pune problema în cazul probelor încercate după programul B, C și D la care vitezele de răcire au fost mai mari. Aplicînd rationamentul de mai sus (relația 2.2.1) pentru cazul B raportul dintre durata pînă la rupere calculată cu ajutorul legii însumării liniare a degradărilor, și cea reală este de 156.

In cazul oțelului 10 Cr Mo 910 abaterile sunt ceva mai mici și anume pentru cazul de încercare A la tensiunea de  $15 \text{ kgf/mm}^2$  timpul pînă la rupere calculat după legea însumării liniare a degradărilor (2.2.1) este de 14,3 ori mai mare decît cel real iar în cazul B de 150 ori.

In lucrare se explică aceste diferențe pe de o parte datorită modificărilor structurale, accelerate de variația temperaturii, pe de altă parte datorită tensiunilor termice provocate de gradientul de temperatură pe secțiunea transversală.

In ceeace privește modificările structurale se remarcă atît la oțelul 13 Cr Mo 44 cît și la oțelul 10 Cr Mo 910 creșterea dimensiunii particulelor de cărbură de molibden prin aglomerarea lor.

Acest proces este favorizat de variația de temperatură și de tensiune. Aglomerarea particulelor de cărbură de molibden conduce inherent la micșorarea duratei pînă la rupere.

Pentru a se stabili influența tensiunilor termice în lucrarea prezentată se calculează valoarea acestora folosind relația:

$$R_{\text{Max}}^5 = K \beta E_t \Delta \theta_{\text{max}} \quad [\text{kgf/mm}^2] \quad (2.2.3)$$

preluată după Timoșenko unde:

$K$  = coeficient

= coeficientul de dilatare liniară termică

$E_t$  = modulul de elasticitate în domeniul de variație al temperaturii considerat

$\Delta \theta_{\text{max}}$  = diferența cea mai mare a temperaturii dintre margine, nucleul epruvelei.

Se recomandă pentru domeniul elastic de variație a tensiunii calculul coeficientului  $K$  cu relația:

$$K = \frac{1}{1 - \lambda} \quad (2.2.4)$$

unde  $\lambda$  este coeficientul de conductibilitate termică exprimat în  $\text{kcal}/\text{m}\cdot\text{h}^{\circ}\text{C}$ .

In cazul în care nivelul tensiunilor depășește limita de elasticitate pentru  $K$  se iau valori mai mici decât cele calculate cu relația (2.2.4).

Calculul diferenței de temperatură dintre suprafața exterioară și miezul epruvei se face aproximându-se repartiția temperaturii pe secțiune cu o dreaptă avind coeficientul unghiu-lar  $S = \frac{1}{\lambda}$ .

In tabelul 2.2.2 se prezintă valorile tensiunilor termice suplimentare calculate în aceste condiții pentru programele A,B,C,D și pentru cele două oțeluri luate în studiu.

Seria	Diferență maximă de temperatură	Tensiunea termică maximă
	$\Delta T_{\text{max}}$ $^{\circ}\text{C}$	$\sigma_{\text{R Max}}$ $\text{kgr}/\text{mm}^2$
Oțelul 13 Cr Mo 44		
A	0,89	0,11
B	92,20	13,66
C	36,29	5,03
D	3,28	0,46
Oțelul 10 Cr Mo 910		
A	0,97	0,12
B	104,30	15,91
C	39,18	5,36
D	3,57	0,19

Tabelul 2.2.2

tei) tensiuni de întindere ce se adună cu aceasta. Desigur analiza tensiunilor se face destul de aproape deoarece temperatura pe secțiunea transversală a epruvei nu variază liniar ci după o funcție mai complicată [20] iar coeficientul de dilatare liniară și modulul de elasticitate sunt funcții de temperatură.

In vederea unei analize mai detaliate a tensiunilor termice

Se poate remarcă faptul că la programul B la răcire în straturile exterioare tensiunea va fi de  $28,66 \text{ kgf}/\text{mm}^2$  (oțelul 13 Cr Mo 44) respectiv  $30,91 \text{ kgf}/\text{mm}^2$  (oțelul 10 Cr Mo 910) la un nivel mediu inițial de  $15 \text{ kgf}/\text{mm}^2$ . Datorită deformațiilor plastice suferite de straturile exterioare la nivelarea temperaturii în ele vor apărea tensiuni reziduale de compresiune ce se scad din tensiunea corespunzătoare încărcării exterioare, iar în cele interioare (spre axa epruvei)

În cap. 3 al prezentei lucrări se prezintă o metodă iterativă de calcul a acestora la care se ține seama de dependențele amintite mai sus.

În lucrarea [49] sunt prezentate încercări de fluaj efectuate de Richard Pokorný și Ladislav Potuzák asupra a două mărci de oțeluri Cr Mo V slab aliate, unul forjat (F) și celălalt turnat (T), supuse unor variații atât de încărcare cât și de temperatură.

Tabelul 2.2.3

Tipul oțelu- lui	Tensiunea mi- nimă [kgf/mm <sup>2</sup> ]	Tensiunea ma- ximă [kgf/mm <sup>2</sup> ]	Timpul pînă la rupere [ore]	$\delta_5$ [%]	$\delta_5$ la încer- carea la tractiune [%]	Z [%]	Z la încer- carea la tractiune [%]
F	20	62	80	10,0		15,4	
	20	62	88	13,0		61,0	
	20	62	96	15,4		64,0	
	20	61	120	11,1		58,9	
	20	60	64	15,7		66,9	
	20	60	80	18,6		64,0	
	20	59	240	10,7		67,2	
	20	58	234	13,6	17,5	60,9	61,5
	20	57	640	12,4		66,9	
	20	54	921	12,0		67,2	
T	20	52	3488	11,0		69,7	
	30	62	44	13,8		69,3	
	30	58	88	14,4		68,9	
	30	57	144	13,2		69,7	
	30	54	320	12,4		69,7	
	30	48	2934	11,0		54,0	
	20	52	158	23,5		47,4	
	20	50	168	19,3		47,7	
	20	50	223	14,2	12,4	52,7	26,0
	20	46	1630	14,5		50,9	
	20	44	1362	10,2		35,9	

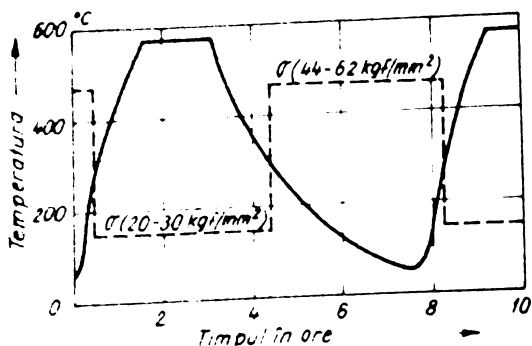


fig.2.2.4

Programul de variație al temperaturii și tensiunii la încercările de fluaj executate de Pokorný R și Potuzák L.

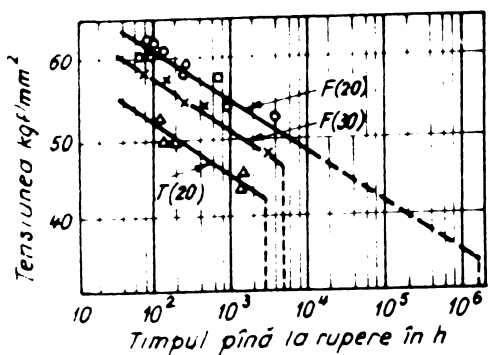


fig.2.2.5

Diagramale rezistenței de durată obținute de Pokorný R și Potuzák L. la încercarea după programul din fig.2.2.4

Programul de variație al celor două mărimi se poate urmări în fig.2.2.4. În tabelul 2.2.3 se prezintă rezultatele încercărilor în condiții de variație a temperaturii și încărcării iar în diagrama din fig.2.2.5, dreptele rezistenței de durată.

In paranteză, lîngă litera ce indică tipul otelului s-a trscut valoarea tensiunii minime.

Totodată s-au făcut încercări de fluaj și la temperatură constantă la diferite nivele de tensiune rezultatele fiind prezente în fig.2.2.6. Utilizîndu-se relația:

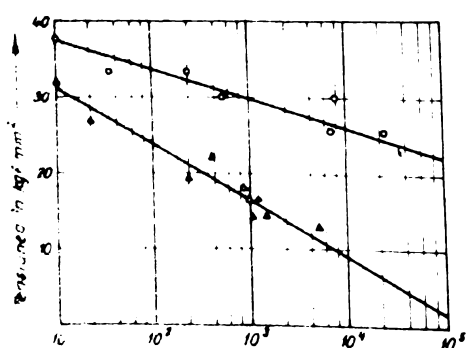


fig.2.2.6

Diagramale rezistenței de durată la tensiune și temperatură constantă obținute de Pokorný R și Potuzák L.

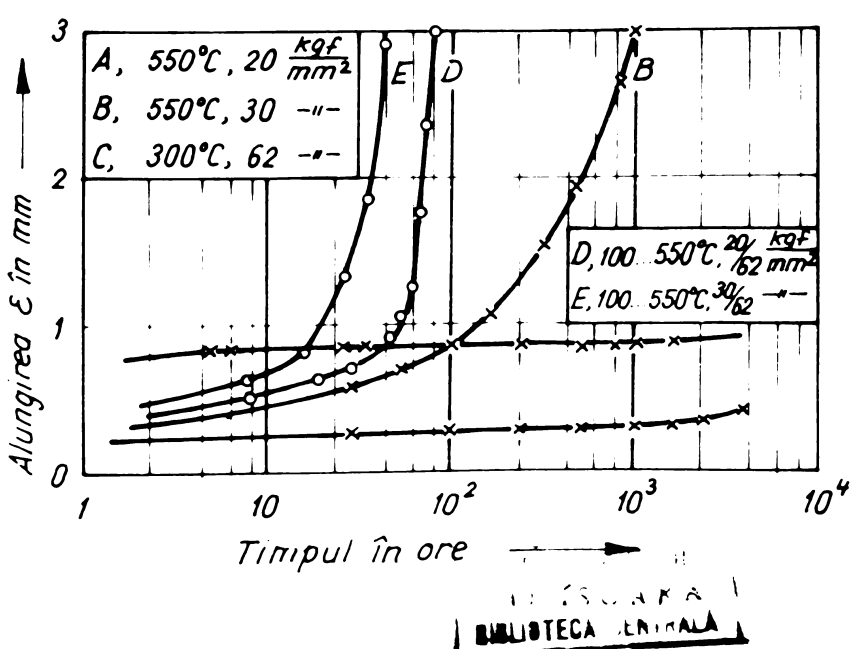
$$\sum_{i=1}^n \frac{t_i}{T_i} = 1$$

dedusă în baza teoriei însumării liniare a degradărilor pentru o încărcare de bază de  $20 \text{ kgf/mm}^2$  în intervalul de temperatură  $550^\circ - 300^\circ$  și de  $62 \text{ kgf/mm}^2$  la temperatură sub  $300^\circ\text{C}$  se deduc tempi (la oțelul F) pînă la rupere de  $10^5$  ore. În realitate (fig.2.2.5) durata este numai de  $10^2$  ore. Acelaș lucru se observă și la încărcarea de bază de  $30 \text{ kgf}$  unde teoria însumării liniare a degradărilor conduce la tempi pînă la rupere de  $5 \cdot 10^3$  ore în realitate ruperea producîndu-se după 44 ore.

Cei doi cercetători explică aceste diferențe datorită unui proces de degradare repetat de mai multe ori la temperaturi ridicate, obținîndu-se o durificare prin ecrusare.

Se consideră că explicația nu este completă, fiind poate necesară o analiză metalografică amănunțită. În lucrarea nu sunt amintite tensiunile termice deoarece este evident că la aceste viteze reduse de variație a temperaturii (cea mai mare fiind la încălzire de cca  $0,133^\circ/\text{S}$ ) ele pot fi neglijate.

Dealtfel diminuarea importantă a duratei pînă la rupere



**fig.2.2.7**  
Curbele de  
fluaj obți-  
nute de Po-  
korný R și  
Potuzák L  
pentru dife-  
rite programe  
de variație a  
temperaturii  
și tensiunii

este evidențiată și de creșterea accentuată a deformației de fluaj curbele fiind prezentate în fig.2.2.7.

Este interesant de urmărit modul de variație al alungirii procentuale pînă la rupere  $\delta_5$  %, (fapt neevidențiat de auto-rii lucrării menționate) cu creșterea duratei pînă la rupere la

încercările cu temperatură și încărcare variabilă.

Dacă s-ar fi urmărit și alungirile în cazul încărcării și temperaturii constante desigur s-ar fi putut trage concluzii privitor la durificarea materialului datorită variației temperaturii și încărcării.

In fig.2.2.8 s-au trasat curbele de variație ale alungirii  $\delta_5$  în funcție de durata pînă la rupere. Se poate observa o evidentă micșorare a deformabilității materialului, atît la oțelul forjat cît și la cel turnat cu durata pînă la rupere.

Această micșorare este mai accentuată la oțelul turnat. Probabil procesul de micșorare a deformabilității oțelurilor se datorește unor precipitări de faze dure, care ulterior prin aglomerare conduc și la micșorarea rezistenței la fluaj.

Lipsa valorilor alungirii la rupere pentru încercările sub sarcină și temperatură constantă precum și a analizelor metalografice nu permit aprecieri mai sigure.

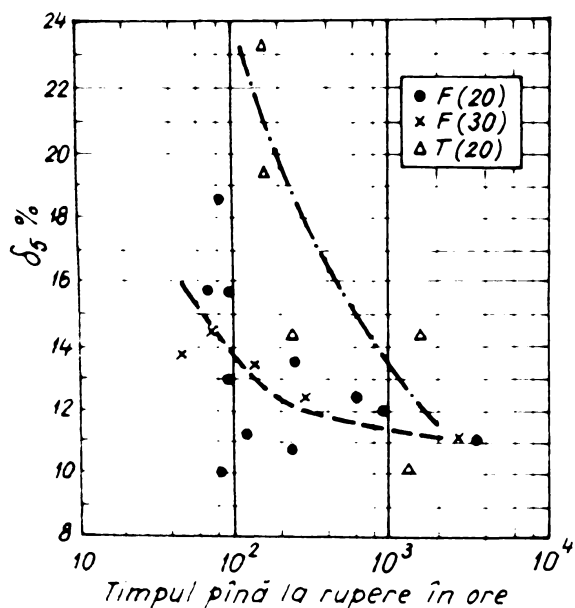


fig.2.2.8  
Variația alungirii la rupere  $\delta_5$  cu durata pînă la rupere la încercările efectuate de Pekorný R și Potuzák L.

In continuare se prezintă încercările efectuate de E.I. Russanova asupra a 3 oțeluri termorezistente după programul de variație a tensiunii și temperaturii ce se prezintă în fig.2.9. Se poate remarca faptul că o parte din încercări sunt efectuate în condiții de variație a tensiunii menținându-se constantă tensiunea și în sfîrșit variindu-se amîndouă. În afară de programul "f" de încercare, la care variația tensiunii s-a făcut ciclic, la restul programelor de încercare variația celor două mărimi s-a făcut numai în două trepte.

Din încercările efectuate nu s-a constatat o influență demnă de luat în considerare a succesiunii celor două trepte de încărcare.

Din punct de vedere al analizei ce o efectuăm prezintă interes numai încercările la care s-a variat temperatura și pe care autoarea lucrării menționate le-a realizat numai asupra otelului EI 415.

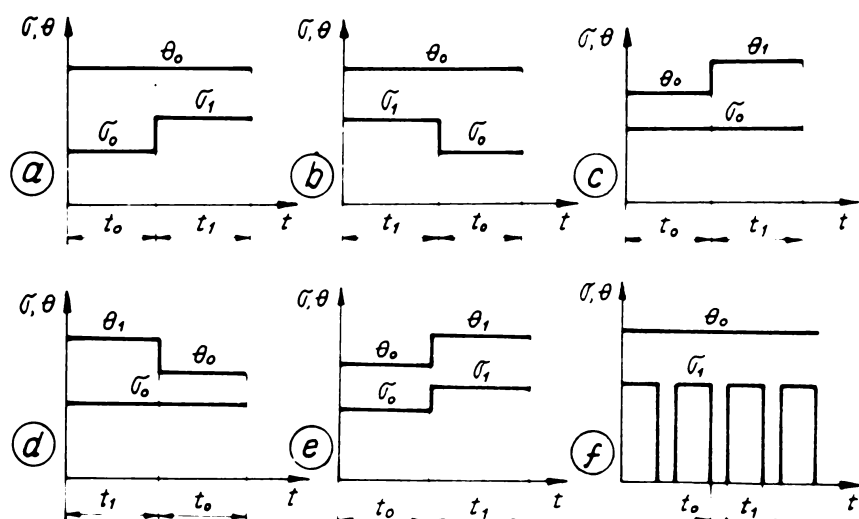


fig.2.2.9  
Programul de variație a tensiunii și temperaturii la încercăriile efectuate de Rusanova E.I.

Pe baza rezultatelor (prezentate tabelar) obținute de Rusanova s-a trasat în fig.2.2.10 diagrama rezistenței de durată la temperatură și tensiune constantă. Se remarcă o dispersie mare a rezultatelor, fapt remarcat și de autoarea încercărilor. Se consideră însă că ar fi fost necesare probe suplimentare mai ales la încercări de durată mai mare deoarece punctele încercuite în fig.2.2.10 au o abatere exagerată.

Pe baza tuturor încercărilor la tensiune și temperatură constantă respectiv la variația acestora după un program sau altul se trasează funcția de repartiție (fig.2.2.11) și prin derivare grafică diagrama densității de probabilitate (fig.2.2.12).

Pentru încercările efectuate după program s-a calculat suma duratelor relative de degradare

$$s_k = \sum_{i=1}^n \frac{t_i}{i}$$

unde  $t_i$  - timpul de lucru al epruvetei la nivelul dat al tensiunii și temperaturii.

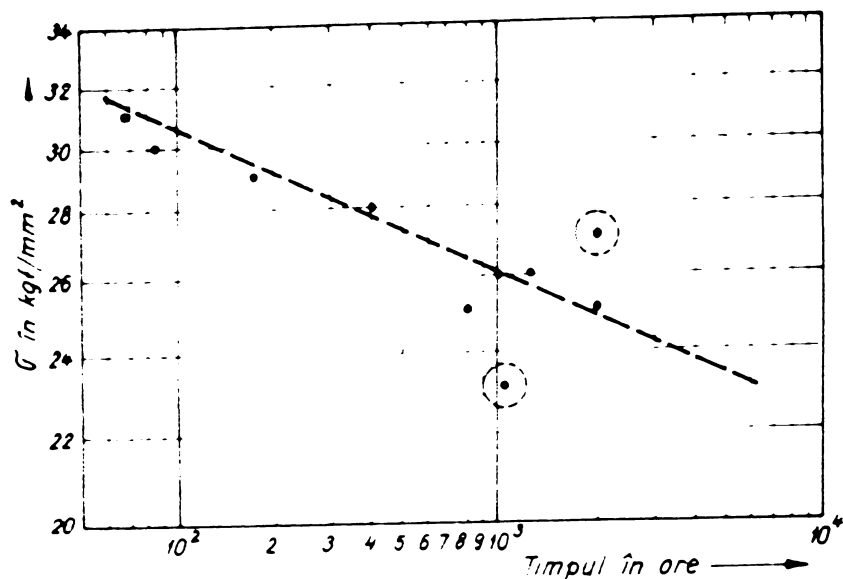


fig.2.2.10  
Diagrama rezistenței de durată la temperatură și tensiune constantă a incercărilor efectuate de Rusanova E.I.

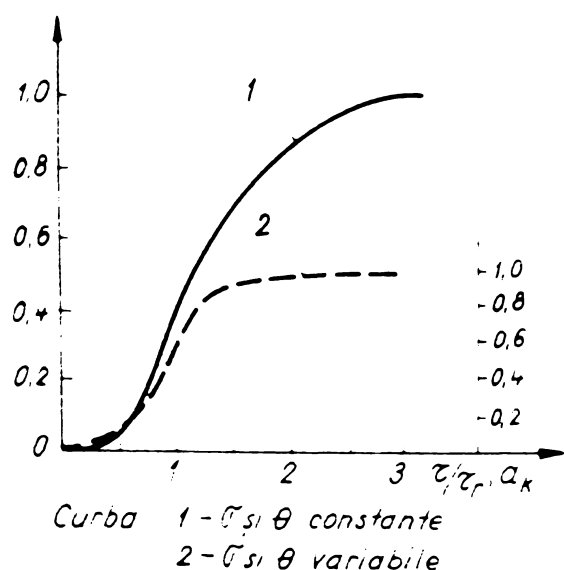


fig.2.2.11  
Funcția de repartiție la incercările după program efectuate de Rusanova E.I.

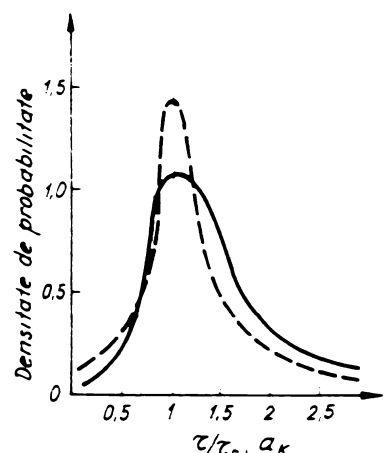


fig.2.2.12  
Densitatea de probabilitate la incercările după program efectuate de Rusanova E.I.

$t_i$  - timpul pînă la rupere în aceste condiții.

Se observă din fig.2.2.12 că cea mai probabilă valoare a raportului  $t/t_r$ , respectiv  $a_k$  atît pentru incercările cu tensiune și temperatură constantă cît pentru cele variabile este egală

cu unitatea. Se concluzionează ca legea însumării liniare a degradărilor este valabilă. Totuși, Rusanova constată că la încercări după programul II la materiale cu plasticitate mică, valoarea lui  $a_k < 1$  iar la cele cu plasticitate ridicată  $a_k > 1$  (cea mai probabilă valoare).

In vederea analizei influenței stării de tensiune relativ a variației progresive a acesteia cu timpul în lucrarea s-au mai efectuat încercări și asupra unor epruvete solicitate excentric atât în condiții de constantă a tensiunii exterior aplicate cît și în condiții de variație a acesteia după programul I sau II.

Solicitarea excentrică s-a realizat prin strugirea axială a capetelor de prindere și prelucrarea ulterioară a zonei active prin mutarea punctului de prindere al chirnerelor.

Tensiunea maximă la începutul încercării s-a calculat cu relația:

$$\sigma' = \sigma_z + \sigma_u = \sigma_z (1 + \alpha)$$

unde  $\sigma_z$  - tensiunea din epruvetă în cazul unei întinderi centrice

$\alpha$  - coeficient dat de relația:

$$\alpha \approx \frac{8\beta}{1 + 4 \frac{l_p}{d} \sqrt{\frac{\sigma_p}{E}} \text{th} \frac{2l_o}{d} \sqrt{\frac{\sigma_p}{E}}}$$

în care

$\beta$  - excentricitatea față de centrul epruvetei

$d$  - diametrul epruvetei

$l_o$  - lungimea activă a epruvetei

$l_p$  - lungimea sistemului de prindere, de la capul epruvetei la articulație

$\sigma_p$  - limita de elasticitate a materialului

$E$  - modulul de elasticitate al materialului

Datorită fluajului, la o bună plasticitate a materialului, după o durată de timp tensiunea se nivelează și devine:

$$\sigma'' \approx \sigma_z$$

Rezultatele obținute pentru oțelul EI 41J la temperatura de  $550^{\circ}$  se prezintă în tabelul 2.2.4.

Tabelul 2.2.4

Excen- trici- tatea [mm]	Tensiu- nea maximă [kgf/mm <sup>2</sup> ]	Tensiu- nea minimă [kgf/mm <sup>2</sup> ]	Durata pînă la rupere în ore Calculată pentru min. [ore]	Durata pînă la rupere în ore Calculată pentru max. [ore]	Roală raportu- lui
0,75	25,3	23,0	1.450	6.300	1.995 0,112
0,75	29,4	27,0	141	645	534 0,359
2,00	33,6	27,0	22	645	263 0,387
2,00	33,6	27,0	22	645	199 0,284
2,00	31,4	25,0	53	1.820	2.770 1,570
2,00	31,4	25,0	53	1.820	1.982 1,090
0,75	29,4	27,0	141	645	431 0,575
0,75	25,3	23,0	1.450	6.300	1.692 0,051
2,00	33,6	27,0	22	645	670 1,040
2,00	33,6	27,0	22	645	1.098 1,720
2,00	31,4	25,0	53	1.820	1.879 1,350
2,00	31,4	25,0	53	1.820	1.020 0,548

Se observă din tabelul 2.2.4 că în general timpul real de rupere  $\tau_r$  este cuprins între  $\tau_c$  min. și  $\tau_c$  max. (cu excepția evident a unor rezultate cu dispersie exagerată). Rusanova a mai constatat că la materialele cu plasticitate mare (cazul oțelului EI 415),  $\tau_r$  este mai apropiat de  $\tau_c$  max. iar materialele cu plasticitate redusă de  $\tau_c$  min. (cazul oțelului EI 437).

In vederea verificării primei afirmații (deoarece rezultatele pentru oțelul EI 415 sunt foarte disperse) autorul a calculat raportul

$$e = \frac{\tau_r - \tau_{c \text{ min}}}{\tau_{c \text{ max}} - \tau_{c \text{ min}}}$$

care are valoarea 0 dacă  $\tau_r = \tau_{c \text{ min}}$ , valoare 1 dacă  $\tau_r = \tau_{c \text{ max}}$  și  $> 1$  dacă  $\tau_r > \tau_{c \text{ max}}$ .

Valorile obținute sunt trecute în ultima coloană a tabelului 2.2.4. Valoarea medie a raportului este 0,734 adică  $\tau_r$  este mai apropiat de  $\tau_c$  max.

Totodată s-a trasat histograma frecvențelor relative (fig.2.2.13) a raportului e.

Din analiza acestei histograme se observă deosemenea tendința raportului e de a avea valoarea cea mai probabilă mai apropiată de 1 decit de 0.

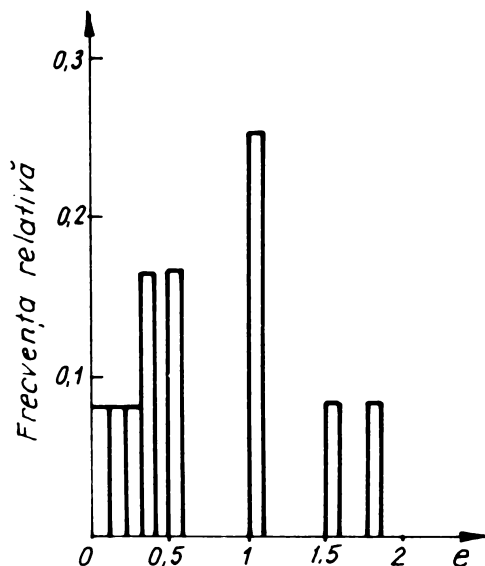


fig.2.2.13

Histograma frecvențelor relative a raportului  $e$  la încercările efectuate de Rusanova

Desigur numărul mic al încercărilor efectuate nu permite o interpretare mai certă. Semnificativ în acest sens este faptul că grupindu-se numai încercările efectuate cu excentricitate 0,75 mm valoarea medie este 0,274 deci mai apropiată de  $\tau_{c\min}$ .

Cu atât mai mult dacă se consideră numai încercările cu excentricitate 0,75 mm și tensiune  $\sigma_z = 23 \text{ daN/mm}^2$ , raportul are valoarea medie de 0,081 adică practic  $\tau_r = \tau_{c\min}$ . În cazul încercărilor efectuate cu  $\sigma_z = 27 \text{ daN/mm}^2$ , valoarea medie a raportului este 0,467.

In concluzie pentru o apreciere mai precisă se consideră că ar fi fost necesare un număr mai mare de încercări, cu atât mai mult cu cît otelul EI 415 prezintă o dispersie destul de mare a valorilor rezistenței de durată chiar la tensiune și temperatură constantă.

In finalul lucrării se arată că legea însumării liniare a degradărilor nu se respectă la toate otelurile.

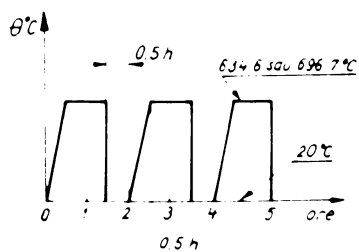


fig.2.2.14

Programul de variație a temperaturii la încercările efectuate de Guarneri

Există tendință ca:

$$\sum_{i=1}^n \frac{t_i}{\tau_{ri}} > 1$$

la oțelurile cu plasticitate ridicată și

$$\sum_{i=1}^n \frac{t_i}{\tau_{ri}} < 1$$

la cele cu plasticitate scăzută.

In continuare se prezintă încercările efectuate de Guarnieri [24] care a studiat oțelul aliat inoxidabil AISI 321 în condiții de fluaj cu menținere intermitentă la temperatura de  $1200^{\circ}\text{F}$  ( $634,6^{\circ}\text{C}$ ) respectiv  $1300^{\circ}\text{F}$  ( $696,7^{\circ}\text{C}$ ) după diagrama din fig.2.2.14. Rezultatele obținute sunt în tabelul 2.2.5.

Dacă legea insumării liniare a degradărilor ar fi aplicabilă în acest caz atunci, deoarece numai o parte din timpul total pînă la ruperea probelor ele au lucrat la temperatură superioară, durata de viață ar trebui să fie mai mare decît la cel incercat la temperatură constantă.

Tabelul 2.2.5

Deformația de fluaj $\epsilon_f$ [%]	Timpul pentru temper. const. [ore]	Raportul $t'/t$	Temperatura maximă [ $^{\circ}\text{C}$ ]	Observații	
rupere	150	0,83	$634,6^{\circ}\text{C}$	In raportul $t'/t$ , $t'$ reprezintă timpul, în cazul încercării cu temperatură variabilă intermitent, pentru atingerea unei anumite deformații de fluaj sau a ruperii iar $t$ pentru cazul încercării cu temperatură constantă.	
	300	0,67			
	100	0,68			
	300	0,75			
	20	0,50			
	100	0,50			
	500	0,50			
	20	1,10			
	100	0,75			
	10	0,95			
rupere	100	0,80	$696,7^{\circ}\text{C}$		
	200	0,60			
	10	1,05			
	100	0,25			
	300	0,50			
	10	0,75			
	100	0,50			
	200	0,40			
	700	0,30			

Se constată totuși din tabelul 2.2.5 că o anumită deformatie de fluaj sau ruperea se obtine în general la durate mai mici în cazul încercărilor la temperatură variabilă în trepte decât la cele cu temperatura constantă.

Acest fenomen este cu atît mai accentuat cu cît durata încercării este mare respectiv cu cît temperatura superioară este mai ridicată.

Guarnieri explică neconcordanța dintre durata reală de viață și cea dată de legea însumării liniare a vătămărilor prin tensiunile termice ce apar în perioada de răcire.

Nu se precizează însă viteza cu care s-a efectuat răcirea pentru a se putea aprecia nivelul acestora.

O comportare asemănătoare s-a constatat la încercarea otelului N - 155 la nivelul temperaturilor superioare de  $1350^{\circ}\text{F}$  ( $718^{\circ}\text{C}$ ) respectiv  $1500^{\circ}\text{F}$  ( $801^{\circ}\text{C}$ ) după cicluri în genul celor din fig.2.2.14.

Prezența unor oxidări intragranulare importante, mai ales la temperatura de  $1500^{\circ}\text{F}$ , a condus la concluzia că microfisurile superficiale datorate acestora au avansat în material datorită tensiunilor termice apărute în cursul răcirii.

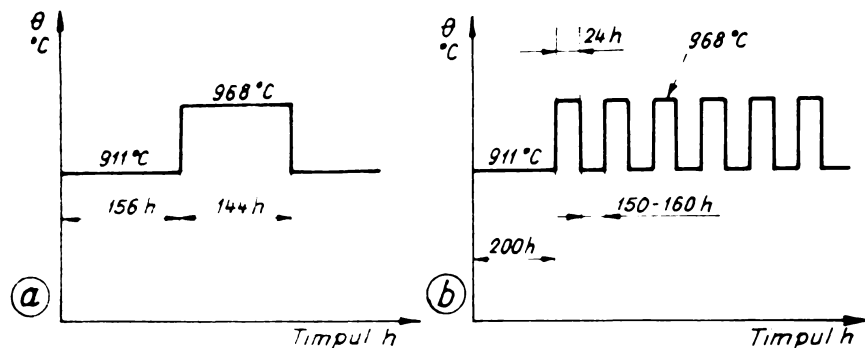
In lucrarea [14] Caughey și Hoyt au efectuat încercări de fluaj asupra unor probe de aliaj Inconel la două nivele de tensiune și la temperatură constantă respectiv variabilă după ciclurile din fig.2.2.15.

Se observă că la cazul "a" supratemperatura este aplicată o perioadă de 144 ore apoi se revine la temperatura inițială iar în cazul "b" supratemperatura este aplicată tot 144 ore dar în 6 perioade, de cîte 24 ore.

Rezultatele obținute sunt concentrate în diagramele din fig.2.16. Se poate observa că în primul caz viteza de fluaj ca urmare a aplicării supratemperaturii a crescut substanțial față de încercarea cu temperatură constantă de  $911^{\circ}\text{C}$  iar durata pînă la rupere s-a redus la 630 ore dela 1440 ore.

In cel de al doilea caz nu s-au putut aplica decât un total de 78 h de ore deoarece s-a produs ruperea probei. Durata pînă la rupere a fost de 680 ore. Se remarcă deci că aplicarea supratemperaturii în mai multe etape conduce la o degradare mai rapidă a materialului probei.

Dacă se aplică teoria însumării liniare a degradărilor atunci pentru cazul "a" se obține:

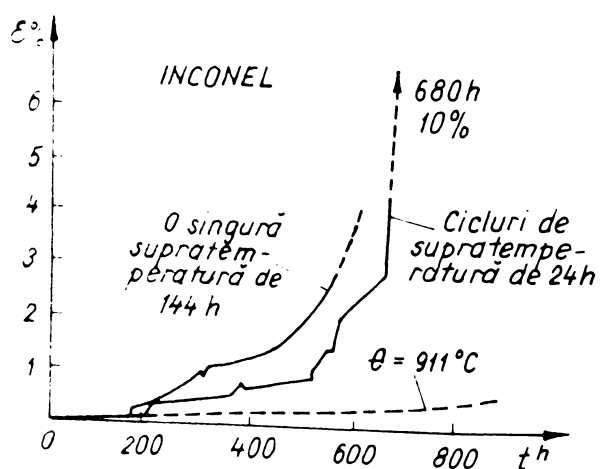


**fig.2.2.15**  
Programele de variație a temperaturii la încercările efectuate de Caughey și Hoyt.

$$\sum_{i=1}^2 \frac{t_i}{\tau_{ri}} = \frac{630 - 144}{1440} + \frac{144}{288} = 0,887$$

iar pentru cazul "b"

$$\sum_{i=1}^2 \frac{t_i}{\tau_{ri}} = \frac{680 - 78}{1440} - \frac{78}{288} = 0,688$$



**fig.2.2.16**  
Diagrammele de fluaj obținute de Caughey și Hoyt la incarcarea unui aliaj Inconel după programele din fig.2.2.15

Se observă că în ambele cazuri rezultatul este mai mic decât unitatea adică însumarea liniară a degradărilor nu este respectată abaterea fiind mult mai mare în cel de al doilea caz.

In continuare se prezintă încercările lui Miller care a studiat influența variației ciclice a temperaturii asupra timpului de rupere la aliajele termorezistente S - 816, M - 252, 16 - 25 - 6 și A - 286. Forma ciclurilor de temperatură aplicate este dată în fig.2.2.17.

Scopul acestor încercări a fost de a verifica variabilitatea legii însumării liniare a degradărilor. În cazul ciclurilor de formă dreptunghiulară s-a constatat o concordanță foarte bună între timpul de rupere calculat în baza legii însumării liniare a degradărilor și cel real pînă la rupere.

Pentru calculul timpului de rupere în cazul ciclurilor de temperatură de tipul B s-a utilizat metoda parametrică Larson-Miller.

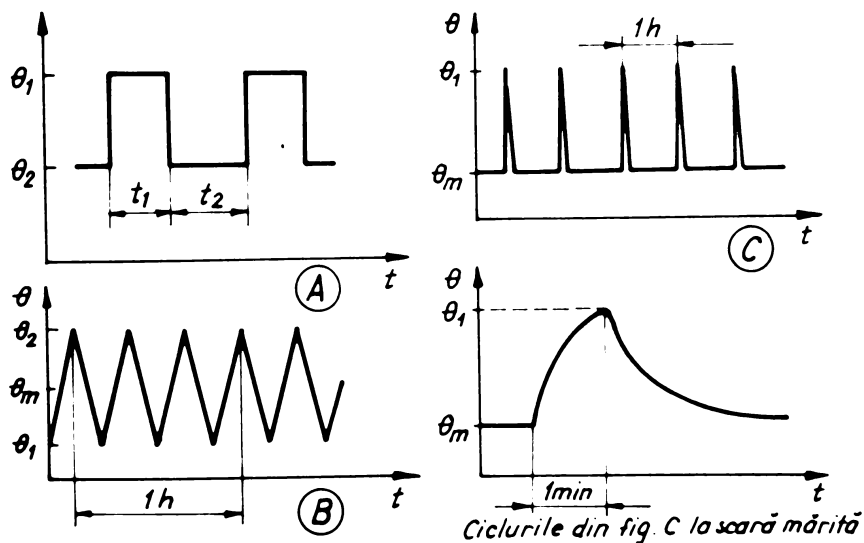
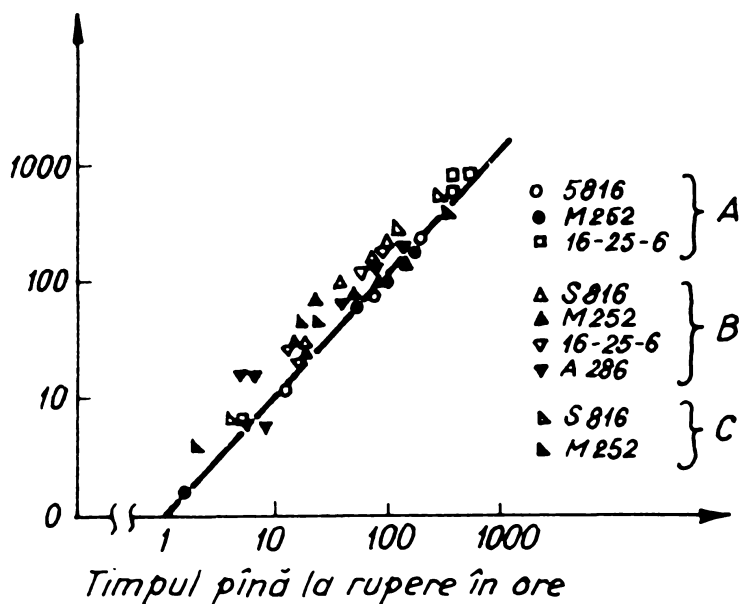


fig.2.2.17  
Programele de variație a temperaturii utilizate de Miller la încercarea la fluaj a unor aliaje termorezistente

In fig.2.2.18 se prezintă legătura dintre timpul calculat de rupere și cel real. Se remarcă, că în general timpii calculați de rupere sunt mai mari decât cei determinați experimental adică teoria însumării liniare a degradărilor nu este respectată.

Din încercările prezentate în acest capitol se remarcă următoarele:

a) Rezultatele obținute de unii cercetători <sup>in</sup> adică o concordanță bună între valorile experimentale și cele calculate cu teoria cumulării liniare a degradărilor



**fig.2.2.18**  
Diagrama rela-  
tiei dintre  
timpul de rupe-  
re calculat și  
cel real, obți-  
nută de Miller

b) Rezultatele experimentale obținute de alți cercetători indică diferențe mari între datele experimentale și cele calculate cu teoria cumulării liniare a degradărilor.

In toate cazurile durata pînă la rupere în condițiile fluajului cu variație de temperatură este mai mică decît în cazul menținerii constante a acesteia.

c) Se observă influența mare a modificărilor structurale ce se dezvoltă diferit în condiții de variație a temperaturii, față de menținerea ei constantă.

d) Un factor deosebit de important, relevat de majoritatea autorilor, este prezența tensiunilor termice ce determină o micșorare evidentă a caracteristicilor mecanice de durată ale oțelurilor la temperaturi ridicate.

Stabilirea nivelului acestor tensiuni se face însă într-o singură lucrare [52] aproximativ, considerind că materialul ascultă de legea lui Hooke.

De aceea autorul prezentei lucrări elaborează o metodică de calcul a tensiunilor termice în domeniul elastoplastice ce permite utilizarea calculatorului electronic.

Această metodică precum și rezultatele obținute face obiectul cap.3.

e) Încercările de fluaj cu temperatură variabilă găsite în literatura de specialitate nu sunt suficiente pentru elaborarea unei teorii general valabile avînd în vedere numărul mare al factorilor ce generează desfășurarea fenomenului.

f) În lucrările prezentate în acest capitol nu se face o delimitare între distrugerea materialului prin fluaj cu temperatură variabilă și prin obosale termică la un nivel ridicat al tensiunilor termice și la un număr mare de cicluri încălzire răcire.

**3. METODA ITERATIVA DE CALCUL A DEFORMATIILOR**  
**SI Tensiunilor intr-o bara cilindrica solicitata**  
**de o forță axială constantă, supusă unor cicluri**  
**de răcire încălzire.**

**3.1. Metoda de calcul**

În vederea unei analize mai detaliate a fenomenelor tranzitorii ale tensiunii și deformației pentru cazul variației temperaturii în mod ciclic, s-a elaborat o metodă de determinare a acestora pentru cazul unei epruvete cilindrice de secțiune circulară ținându-se seama de posibilitatea plasării nivelului tensiunilor în domeniul elastoplastic [7]. Forma cilindrică de secțiune circulară nu s-a ales întâmplător ci datorită faptului că în majoritatea cazurilor încercările de fluaj se execută pe epruvete cu partea activă de această formă.

Se consideră cunoscute:

- variația în timp a temperaturii pe secțiunea transversală a barei
- curbele  $\sigma$ - $\epsilon$  determinate la diferite nivele de temperatură, între cea minimă și cea maximă a ciclului
- variația modulului de elasticitate  $E$  al materialului epruvetei cu temperatura
- variația coeficientului de dilatare liniară  $\beta$  a materialului cu temperatura.

Se fac următoarele ipoteze:

- răcirea sau încălzirea barei se face uniform pe întreaga lungime, coeficientul de schimb de căldură cu mediul de răcire respectiv încălzire menținându-se constant în tot domeniul de variație a temperaturii

- lungimea epruvetei față de diametru este suficient de mare pentru a se putea neglija pe porțiunea studiată efectul de capăt (asupra acestui aspect se va reveni)

- epruveta este menținută la nivelul superior respectiv inferior de temperatură suficient timp pentru egalizarea temperaturii pe secțiunea transversală.

Temperatura inițială a epruvetei, aceeași în orice punct al ei este  $\theta_0$ . Din exterior se aplică o încărcare axială  $F_0$  ce determină în secțiunea transversală a epruvetei tensiunea uniformă distribuită  $\sigma_0$ . Se împarte epruveta în niște fâșii inelare concentrice, de grosime egală  $\Delta r$  (fig.3.1.1). Datorită răcirii, aceste fâșii, presupuse pentru moment că lucrează independent vor avea în urma contractiei termice lungimi diferite, corespunzătoare temperaturii fiecărei fâșii (grosimea fâșilor fiind mică se poate admite că temperatura este aceeași în orice punct al lor).

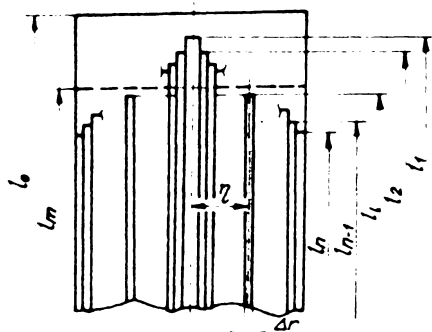


fig.3.1.1  
Modul de împărțire a epruvetei în fâșii inelare

Tinându-se seama că fâșile lucrează împreună dilatarea este impiedecată reciproc ajungîndu-se la o lungime medie  $l_m$  cuprinsă între  $l_1$  – lungimea fâșiei de ordinul 1 și  $l_n$  – lungimea fâșiei de ordinul n. Este evident că diferența de lungime dintre cea medie și cea corespunzătoare dilatării libere este acoperită de o tensiune suplimentară ce se suprapune peste cea inițială  $\sigma_0$ . Dacă epruveta este scurtă (raportul  $l/d$  mic) atunci nu se poate neglija efectul de capăt – fig.3.1.2, adică bombarea suprafețelor din capetele epruvetei ceea ce are ca efect diminuarea tensiunilor termice ce intervin [34]. Cind lungimea este mare în raport cu diametrul neglijarea acestui efect este justificată.

Repartiția tensiunilor pe secțiunea transversală se va calcula la diferite intervale de timp de la începutul răcirii. Fie aceste intervale  $t_1, t_2 \dots t_j \dots t_q$ . Variația temperaturii medii a unei fâșii inelare de ordinul i în momentul  $t_j$  față de cel anterior  $t_{j-1}$  va fi:

$$\Delta \theta_{ij} = \theta_{i(j-1)} - \theta_{ij} \quad (3.1.1)$$

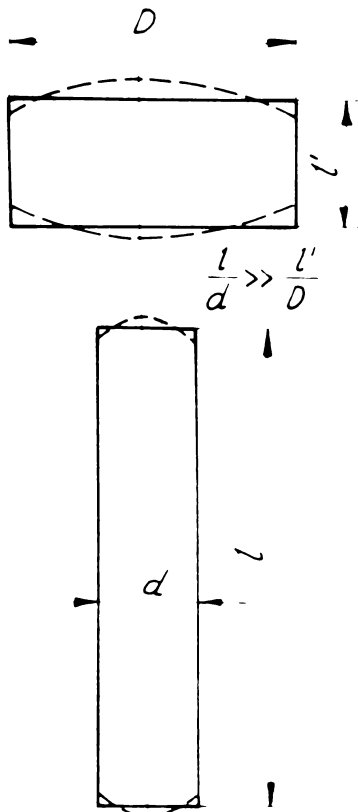


fig.3.1.2

Influența lungimii asupra efectului de "capăt"

Fie  $l_{mj}$  lungimea medie a epruvetei la momentul  $t_j$ , rezultată din împiedecarea reciprocă a contracției termice a fișierilor. Deci lungirea specifică suplimentară a fișiei de ordinul  $i$  va fi:

$$\Delta \epsilon_{ij} = \frac{l_{mj} - l_{ij}}{l_{ij}} \quad (3.1.2)$$

Dar

$$l_{ij} = l_{m(j-1)} (1 - \beta_{ij} \Delta \theta_{ij}) \quad (3.1.3)$$

In relația 3.1.3 s-a considerat că lungimea fișiei de ordinul  $i$  la momentul  $t_j$  se obține din lungimea medie  $l_{m(j-1)}$  corespunzătoare momentului anterior  $t_{j-1}$ , afectată de binomul de dilatare liniară în care  $\beta_{ij}$  este coeficientul de dilatare liniară pe intervalul de temperatură  $\Delta \theta_{ij}$ , semnul minus ce apare în paranteza binomului de dilatare liniară se dătoarește faptului că  $\Delta \theta_{ij} < 0$  (răcire).

Coefficientul de dilatare liniară  $\beta$  depinde sensibil de temperatură [64], crescind la metale, odată cu creșterea temperaturii. Dacă se consideră intervalul  $\Delta \theta_{ij}$  de variație a temperaturii atunci la începutul său coeficientul de dilatare liniară are valoarea  $\beta_{0i(j-1)}$  (indicele  $\theta_{i(j-1)}$  arată că  $\beta$  corespunde

acestei temperaturi, adică cea a fișiei i în momentul  $t_{j-1}$ ) iar la sfîrșitul lui,  $\beta_{\theta_{ij}}$ . Admitînd o variație liniară între aceste două limite se poate lucra cu valoarea medie  $\beta_{ij}$  dată de relația:

$$\beta_{ij} = \frac{\beta_{\theta_{i(j-1)}} + \beta_{\theta_{ij}}}{2} \quad (3.1.4)$$

Valorile  $\beta_{\theta_{i(j-1)}}$  respectiv  $\beta_{\theta_{ij}}$  se pot determina dacă se cunoaște legea de variație a coeficientului de dilatare liniară cu temperatura. Dar lungirea medie  $l_{mj}$  este cuprinsă între  $l_{nj}$  și  $l_j$  putîndu-se pune sub forma:

$$l_{mj} = l_{nj} + k_j (l_{lj} - l_{nj}) \quad (3.1.5)$$

în care

$$l_{lj} = l_{m(j-1)} (1 - \beta_{lj} \Delta \theta_{lj}) \quad (3.1.6)$$

și

$$l_{nj} = l_{m(j-1)} (1 - \beta_{nj} \Delta \theta_{nj}) \quad (3.1.7)$$

Inlocuind în 3.1.2 pe 3.1.5 și ținînd seama de 3.1.3, 3.1.6 și (3.1.7), după calcule se obține:

$$\Delta \varepsilon_{ij} = \frac{k_j (\beta_{nj} \Delta \theta_{nj} - \beta_{lj} \Delta \theta_{lj}) - (\beta_{nj} \Delta \theta_{nj} - \beta_{ij} \Delta \theta_{ij})}{1 - \beta_{ij} \Delta \theta_{ij}} \quad (3.1.8)$$

dacă se negligează  $\beta_{ij} \Delta \theta_{ij}$  față de 1, ( $\beta_{ij}$  fiind foarte mic) se obține:

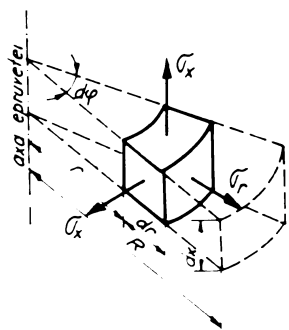
$$\Delta \varepsilon_{ij} = k_j (\beta_{nj} \Delta \theta_{nj} - \beta_{ij} \Delta \theta_{ij}) - (\beta_{nj} \Delta \theta_{nj} - \beta_{ij} \Delta \theta_{ij}) \quad (3.1.9)$$

Cu ajutorul relației (3.1.9) se pot stabili variațiile în timp ale lungirii specifice în fiecare fișie. Deseigur cu cît numărul fișilor n este mai mare, respectiv calculul se repetă la intervale mai dese de timp cu atît se apropiie valorile stabilite prin această metodică de cele determinate printr-un calcul analitic exact.

Observație:

Se precizează faptul că a fost neglijată influența tensiunilor  $\sigma_r$  și  $\sigma_t$  ce iau naștere tot în urma constringerii dilatării în peretii epruvetei (fig.3.1.3).

În relația 3.1.9 intervine însă un coefficient  $k_j$  deocamdată necunoscut.



**fig.3.1.3**  
Tensiunile ce apar în interiorul epruvei în urma variației de temperatură

Determinarea lui se poate face din condiția constanței încărcării exterioare aplicate barei adică

$$\int_A \sigma dA = F_0 \quad (3.1.10)$$

Relația 3.1.10 pentru cazul fîșilor înclinați admise se poate approxima cu

$$\sum_{i=1}^n \sigma_{ij} \Delta A_i = F_0 \quad (3.1.11)$$

în care se introduce

$$\Delta A_i \approx 2\pi \Delta r \cdot r_i = 2\pi \Delta r \left[ \frac{\Delta r}{2} + (i-1)\Delta r \right] = \pi (\Delta r)^2 (2i-1)$$

rezultînd

$$\sum_{i=1}^n (2i-1) \sigma_{ij} = \frac{F_0}{\pi (\Delta r)^2} \quad (3.1.12)$$

relația 3.1.12 se poate aduce la o formă mai simplă dacă se ține seama că:

$$\sigma_{ij} = \sigma_0 + \sum_{j=1}^q \Delta \sigma_{ij}$$

respectiv

$$\frac{F_0}{\pi (\Delta r)^2} = \frac{\sigma_0 A}{\pi (\Delta r)^2} = \frac{\sigma_0 \pi R^2}{\pi (\Delta r)^2} = \frac{\sigma_0 \pi (n \Delta r)^2}{\pi (\Delta r)^2} = n^2 \sigma_0$$

Inlocuind în 3.1.12 se obține:

$$\sum_{i=1}^n [(2i-1)(\sigma_0 + \sum_{j=1}^q \Delta \sigma_{ij})] = n^2 \sigma_0$$

sau

$$\sum_{i=1}^n (2i-1) \delta_0 + \sum_{i=1}^n \left[ (2i-1) \sum_{j=1}^q \Delta \delta_{ij} \right] = n^2 \delta_0$$

dar

$$\sum_{i=1}^n (2i-1) \delta_0 = \delta_0 \sum_{i=1}^n (2i-1) = n^2 \delta_0$$

deci condiția 3.1.12 devine:

$$\sum_{i=1}^n \left[ (2i-1) \sum_{j=1}^q \Delta \delta_{ij} \right] = 0 \quad (3.1.12')$$

Dezvoltind suma din paranteza relației (3.1.12') se obține:

$$\sum_{i=1}^n (2i-1) \Delta \delta_{i1} + \sum_{i=1}^n (2i-1) \Delta \delta_{i2} + \dots + \sum_{i=1}^n (2i-1) \Delta \delta_{iq} = 0$$

deoarece calculul se face în etape, adică pe rînd sumele sunt egaleate cu zero, pentru momentul  $t_j$  este suficientă condiția:

$$\sum_{i=1}^n (2i-1) \Delta \delta_{ij} = 0 \quad (3.1.13)$$

Determinarea coeficientului  $k_j$  se face în general prin tatonări valoarea sa adevărată corespunzînd verificării condiției (3.1.13). În ceeace privește stabilirea tensiunii  $\delta_{ij}$  în funcție de  $\Delta \varepsilon_{ij}$  se ivesc două posibilități:

a) Tensiunea  $\delta_{ij}$  nu depășește domeniul de valabilitate a legii lui Hooke, adică a unei dependențe liniare între tensiune și lungirea specifică.

b) Tensiunea  $\delta_{ij}$  depășește domeniul de valabilitate a legii lui Hooke.

In primul caz (a) deoarece pe domeniul de variație al temperaturii modulul de elasticitate își modifică valoarea (crește cu scăderea temperaturii), creșterea sau scăderea tensiunii  $\delta_{ij}$  față de valoarea anterioară  $\delta_{i(j-1)}$  în diagrama  $\sigma = f(\varepsilon)$  nu se face după o dreaptă ci după o curbă. Spre exemplificare în fig.3.1.4 se prezintă trecerea dela tensiunea  $\delta_{i(j-1)}$  ce apare în fișia de ordinul  $i$  în momentul  $t_{j-1}$  la tensiunea  $\delta_{ij}$  din aceiași fișie la momentul  $t_j$ . In acest scop s-au trasat cîteva porțiuni drepte ale diagramelor  $\sigma = f(\varepsilon)$  ridicate la temperaturi diferențite în intervalul de temperatură  $\Theta_{i(j-1)} \dots \Theta_{ij}$ . Dacă unei variații a lungirii specifice  $\Delta \varepsilon_{ij}$  îi corespunde o scădere a temperaturii

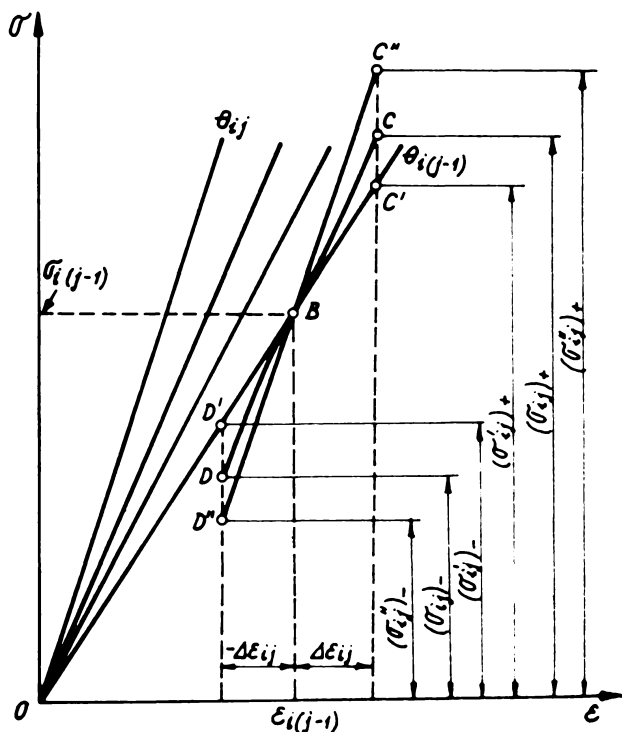


fig.3.1.4

Modul de trecere de la tensiunea  $\sigma_{i(j-1)}$  la tensiunea  $\sigma_{ij}$  în domeniul elastic

fișiei dela  $\theta_{i(j-1)}$  la  $\theta_{ij}$  atunci trecerea de la  $\sigma_{i(j-1)}$  la  $\sigma_{ij}$  se face pe o curbă a cărei tangentă în orice punct are valoarea modulului de elasticitate corespunzător temperaturii respective. Punctele  $C'$  și  $C''$  se obțin dacă modulul de elasticitate se consideră egal cu cel dela temperatura  $\theta_{i(j-1)}$  respectiv  $\theta_{ij}$ . În mod analog se prezintă situația în cazul unei variații negative a deformației specifice ( $-\Delta\epsilon_{ij}$ ). O valoare apropiată de cea reală a tensiunii se poate accepta media între  $(\sigma'_{ij}) + \frac{1}{2} (\sigma''_{ij}) +$  respectiv  $(\sigma'_{ij}) - \frac{1}{2} (\sigma''_{ij}) -$ . În consecință se poate scrie

$$\Delta\sigma_{ij} = \frac{\sigma'_{ij} + \sigma''_{ij}}{2} = \Delta\epsilon_{ij} \frac{E_{\theta_{i(j-1)}} + E_{\theta_{ij}}}{2} \quad (3.1.14)$$

unde  $E_{\theta_{i(j-1)}}$  este modulul de elasticitate la temperatura  $\theta_{i(j-1)}$  iar  $E_{\theta_{ij}}$  la temperatura  $\theta_{ij}$ . Dacă în 3.1.14 se notează

$$\frac{E_{\theta_{i(j-1)}} + E_{\theta_{ij}}}{2} = E_{ij} \quad (3.1.15)$$

rezultă:

$$\Delta\sigma_{ij} = \Delta\epsilon_{ij} E_{ij}$$

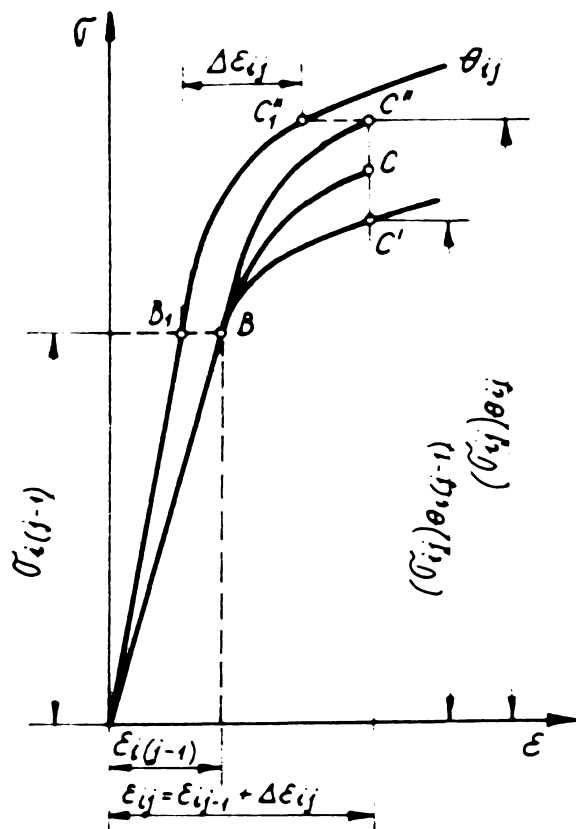


fig.3.1.5  
Modul de trecere dela tensiunea  $\sigma_{i(j-1)}$  la  $\sigma_{ij}$  în domeniul elasto-plastic

In cazul al doilea (b) la micșorarea lungirii specifice, deci pentru  $\Delta\epsilon_{ij} < 0$  valoarea tensiunii se obține la fel, adică conform metodicii din fig.3.1.4 deoarece descărcarea se face practic pe o paralelă. La porțiunea liniară a caracteristicii  $\sigma = f(\epsilon)$ . Dacă însă se produce o creștere a lungirii specifice situația se prezintă conform fig.3.1.5. Dacă alura curbei caracteristice nu s-ar modifica cu temperatura, creșterea tensiunii ar avea loc pe curba caracteristică corespunzătoare temperaturii,  $\theta_{i(j-1)}$  adică deplasarea se face din B în C'.

In cazul în care s-ar lua de bază curba caracteristică corespunzătoare temperaturii  $\theta_{ij}$  creșterea tensiunii ar urmări segmentul de curbă BC''. Porțiunea BC'' se obține prin translatarea în punctul B a porțiunii  $B_1C_1''$  din curba caracteristică corespunzătoare temperaturii  $\theta_{ij}$ . In realitate creșterea tensiunii se face după o curbă BC cuprinsă între cele două BC' și BC''. Se acceptă și în acest caz ca valoare mai apropiată de cea adevărată media între cele două tensiuni obținute prin situarea în cele două condiții extreme adică

$$\sigma_{ij} = \frac{(\sigma_{ij})_{\theta_{i(j-1)}} + (\sigma_{ij})_{\theta_{ij}}}{2}$$

In ceeace privește determinarea coeficientului  $k_j$  ce intervine în relația 3.1.9 se deosebesc aceleași două cazuri (a) și (b) ce corespund plasării tensiunilor  $\sigma_{ij}$  în domeniul elastic sau elastoplastic.

In cazul (a) coeficientul  $k_j$  se poate determina direct pe baza condiției 3.1.13 și anume:

$$\sum_{i=1}^n \Delta \delta_{ij} (2i-1) = \sum_{i=1}^n E_{ij} \Delta \varepsilon_{ij} (2i-1) = 0 \quad (3.1.13')$$

Dacă se ține seama de 3.1.9 rezultă

$$\sum_{i=1}^n \left\{ E_{ij} [k_j (\beta_{nj} \Delta \theta_{nj} - \beta_{lj} \Delta \theta_{lj}) - (\beta_{nj} \Delta \theta_{nj} - \beta_{ij} \Delta \theta_{ij}) (2i-1)] \right\} = 0 \quad (3.1.13'')$$

Descompunind suma (3.1.13'') și explicitând pe  $k_j$  se obține:

$$k_j = \frac{\beta_{nj} \Delta \theta_{nj} \sum_{i=1}^n (2i-1) E_{ij} - \sum_{i=1}^n E_{ij} \beta_{ij} (2i-1) \Delta E_{ij}}{(\beta_{nj} \Delta \theta_{nj} - \beta_{lj} \Delta \theta_{lj}) \sum_{i=1}^n (2i-1) E_{ij}} \quad (3.1.16)$$

Tinând cont că  $\Delta \delta_{ij} = E_{ij} \cdot \Delta \varepsilon_{ij}$  și înlocuind în expresia variației lungirii specifice  $\Delta \varepsilon_{ij}$  - relația 3.1.9 - pe  $k_j$  cu valoarea dată de 3.1.16 se determină variația tensiunii

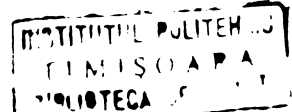
$$\Delta \delta_{ij} = E_{ij} \left[ \beta_{ij} \Delta \theta_{ij} - \frac{\sum_{i=1}^n E_{ij} \beta_{ij} \Delta \theta_{ij} (2i-1)}{\sum_{i=1}^n E_{ij} (2i-1)} \right] \quad (3.1.17)$$

Tensiunea  $\sigma_{ij}$  se determină atunci cu relația:

$$\sigma_{ij} = \sigma_{i(j-1)} + \Delta \delta_{ij} \quad (3.1.18)$$

Relația 3.1.18 se poate transforma dacă se ține seama că  $\sigma_{i(j-1)}$  se determină cu o expresie asemănătoare în funcție de  $\sigma_{i(j-2)}$ , care se calculează în funcție de  $\sigma_{i(j-3)}$  etc.

Deci



$$\sigma_{ij} = \sigma_0 + \sum_{j=1}^q \left\{ E_{ij} [\beta_{ij} \Delta \theta_{ij} - \frac{\sum_{i=1}^n E_{ij} \beta_{ij} \Delta \theta_{ij} (2i-1)}{\sum_{i=1}^n E_{ij} (2i-1)}] \right\} \quad (3.1.19)$$

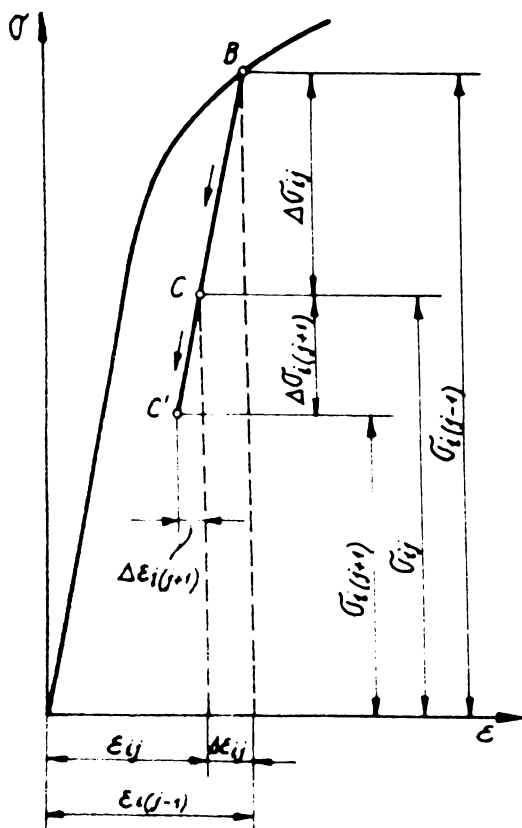
Dacă se admite că modulul de elasticitate respectiv coeficientul de dilatare liniară nu depend de temperatură, relația (3.1.19) devine:

$$\sigma_{ij} = \sigma_0 + E \beta \sum_{j=1}^q \left[ \Delta \theta_{ij} - \frac{\sum_{i=1}^n (2i-1) \Delta \theta_{ij}}{n^2} \right] \quad (3.1.19')$$

In cazul (b) deci al situației tensiunilor în domeniul elastoplastic, calculul coeficientului  $k_j$  nu se mai poate face în toate cazurile direct deoarece valoarea creșterii  $\Delta \sigma_{ij}$  depinde de valoarea tensiunii anterioare  $\sigma_{i(j-1)}$ . Se vor trece în revistă situațiile posibile ca pe baza lor să se stabilească metodica calculului:

$$1. \Delta \varepsilon_{ij} < 0$$

In acest caz (fig.3.1.6) calculul tensiunii  $\sigma_{ij}$  se face asemănător cazului (a) deoarece deplasarea se face pe o paralelă la porțiunea dreaptă a curbei caracteristice, adică:



**fig.3.1.6**  
Modul de stabilire al  
tensiunii  $\sigma_{ij}$  din  $\sigma_{i(j-1)}$   
la descărcarea fîșiei

$$\sigma_{ij} = \sigma_{i(j-1)} + E_{ij} \Delta \varepsilon_{ij} \quad (3.1.20)$$

în care

$$E_{ij} = \frac{E_{\theta i(j-1)} + E_{\theta ij}}{2}$$

iar

$$\Delta \varepsilon_{ij} = k_j (\beta_{nj} \Delta \varepsilon_{nj} - \beta_{lj} \Delta \varepsilon_{lj}) - (\beta_{nj} \Delta \varepsilon_{nj} - \beta_{ij} \Delta \varepsilon_{ij})$$

Se presupune bine înțeles că modulul de elasticitate la încărcare este egal cu cel dela descărcare, neglijindu-se eventualul histerezis al deformațiilor. Dacă urmează o nouă scădere a lungirii specifice calculul se face cu o relație de aceiași formă (deplasare din C în C')

$$\sigma_{i(j+1)} = \sigma_{ij} + E_{i(j+1)} \Delta \varepsilon_{i(j+1)} \quad (3.1.20')$$

2.  $\Delta \varepsilon_{ij} = 0$

In acest caz

$$\sigma_{ij} = \sigma_{i(j-1)} \text{ deoarece } \Delta \varepsilon_{ij} = 0$$

3.  $\Delta \varepsilon_{ij} > 0$

se pot ivi urmatoarele situații

- creșterea  $\Delta \varepsilon_{ij}$  urmează unei scăderi a lungirii specifice, (fig.3.1.7) fiind mai mică decât aceasta, respectiv

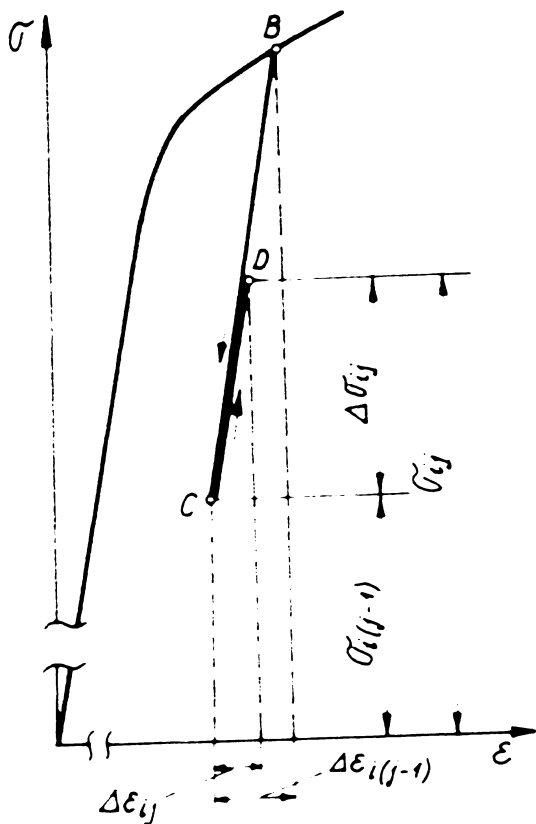
$$|\Delta \varepsilon_{i(j-1)}| > \Delta \varepsilon_{ij}$$

Deoarece deplasarea se face tot pe o paralelă la portiunea liniară a caracteristicii, calculul tensiunii  $\sigma_{ij}$  se face tot cu relația (3.1.20) dar  $\Delta \varepsilon_{ij} > 0$ .

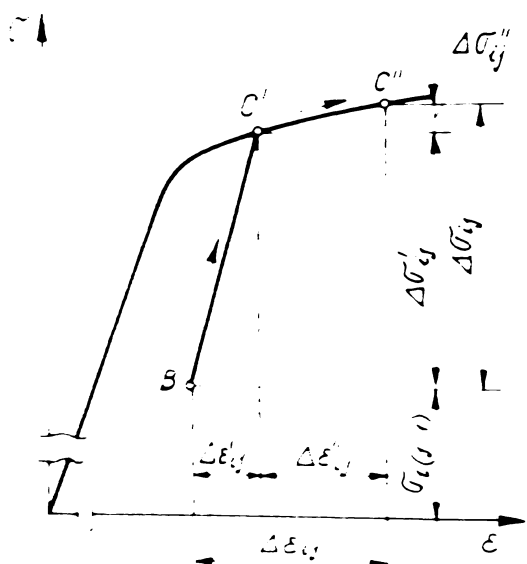
- creșterea  $\Delta \varepsilon_{ij}$  urmează unei scăderi a lungirii specifice dar este mai mare decât aceasta în valoare absolută, adică

$$\Delta \varepsilon_{ij} > |\Delta \varepsilon_{i(j-1)}|$$

Acest lucru determină (fig.3.1.8) ca unei părți din deformația specifică să-i corespundă o creștere de tensiune în domeniul elastoplastice. Se descompune  $\Delta \varepsilon_{ij}$  în două componente:  $\Delta \varepsilon'_{ij}$  și  $\Delta \varepsilon''_{ij}$  prima referindu-se la deplasarea pe portiunea liniară BC' iar a doua pe portiunea curbă C'C". Deformației specifice  $\Delta \varepsilon'_{ij}$  îi corespunde o creștere  $\Delta \varepsilon_{ij}$  dată de relația:



**fig.3.1.7**  
Modul de stabilire a tensiunii  $\sigma_{ij}$  din  $\sigma_i(j-1)$  la o reîncărcare a fișiei



**fig.3.1.8**  
Modul de stabilire a tensiunii  $\sigma_{ij}$  din  $\sigma_i(j-1)$  la o reîncărcare a fișiei ce conduce la reintrarea în domeniul elastoplastice

$$\Delta \sigma'_{ij} = E_{ij} \Delta \varepsilon'_{ij} \quad (3.1.21)$$

iar deformării  $\Delta \varepsilon''_{ij}$  îi corespunde o creștere a tensiunii  $\Delta \sigma''_{ij}$  ce se obține de pe curba caracteristică prin deplasarea din  $C'$  în  $C''$ . Linia creșterii  $\Delta \sigma''_{ij}$  se obține conform indicațiilor date în fig.3.1.5.

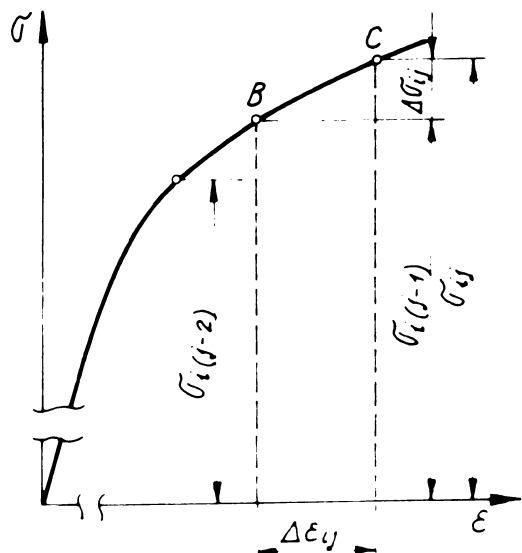
**Observație:**

S-a presupus că materialul nu se ecrusează și trecerea dela portiunea liniară la cea curbă se face brusc fără racordare (fig.3.1.9) adică după CDE și nu CE.

Însumînd cele două componente se obține:

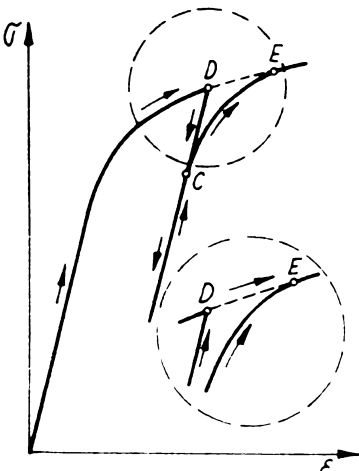
$$\delta_{ij} = \delta_{i(j-1)} + (\Delta\delta'_{ij} + \Delta\delta''_{ij})$$

- creșterea  $\Delta\delta_{ij}$  urmează tot unei creșteri a deformației specifice în urma căreia tensiunea  $\delta_{i(j-1)}$  se plasase deja în domeniul elastoplastice. Creșterii  $\Delta\delta_{ij}$  îi corespunde fig.3.1.10) o creștere a tensiunii  $\Delta\delta_{ij}$  care se calculează conform indicațiilor date în fig.3.1.5.



**fig.3.1.9**

Modul de determinare a tensiunii  $\delta_{ij}$  din tensiunea  $\delta_{i(j-1)}$  cînd deformația este elastoplastică



**fig.3.1.10**

Ipoteză asupra trecerii la reîncărcare dela portiunea dreaptă la portiunea curbă în diagrama  $\sigma - \varepsilon$ .

După stabilirea tensiunii din fiecare fișie în parte se impune condiția 3.1.13:

$$\sum_{i=1}^n \Delta\delta_{ij}^{(2i-1)} = 0$$

Dacă ea nu este verificată atunci se alege altă valoare pentru  $k_j$  și calculul se repetă pînă cînd condiția amintită se verifică.

Se remarcă, că în cazul "b" volumul de calcule este destul de mare de aceea metoda se pretează foarte bine programării la calculatorul electronic.

3.2. Program pentru calculul tensiunilor dintr-o bară cilindrică de secțiune circulară solicitată axial de o forță constantă și supusă unor variații periodice de temperatură.

Volumul mare de calcule pe care-l implică aplicarea metodei iterative descrise anterior (cap.3 paragraful 1) a nevoie să programarea acesteia la calculatorul Felix C 256. În vederea stabilirii schemei logico s-au făcut următoarele presupunerile:

- se cunoaște distribuția în timp a cîmpului de temperatură pe secțiunea transversală 10 puncte aflate la distanțe diferite de axa epruvetei ( $0,1 R, 0,2 R \dots R$ ), la q intervale de timp (în schema logică din fig.3.2.1 s-a considerat  $q = 40$ ) și pentru diferite condiții de răcire ( $hR$  diferit). Valorile obținute întrebuințate în program drept cartele de date;

- se consideră că pe intervalul de variație al temperaturii curba caracteristică nu se modifică operindu-se în consecință cu o curbă medie, stabilită experimental pe baza diagramelor ridicate la diferite temperaturi din acest interval. Punctele curbei caracteristice medii se leagă prin arce de cerc cu ajutorul unui subprogram aflat în biblioteca Centrului teritorial de Calcul electronic Timișoara - CTCET - (ABCD 2);

- pentru modulul de elasticitate se admite o valoare medie corespunzătoare intervalului de variație al temperaturii ciclului răcire - încălzire considerat.

- se stabilește punctul initial  $\theta_0, \varepsilon_0$  corespunzător încălcării exterioare  $F_0$  și temperaturii initiale constantă pe întreaga secțiune

- se admite pentru coeficientul de dilatare liniară o variație cu temperatura de forma:

$$\beta = A + B \theta$$

constantele A și B fiind cunoscute și introduse ca atare în program

Pentru a facilita urmărirea schemei logice se enumerează în continuare variabilele și constantele utilizate

$$TEMP (J,I) = \theta(j,i)$$

$$DELTAT (J,I) = \theta(J,I) = \theta(j-1, i) - \theta(j,i)$$

$$\Delta PSO = \varepsilon_0$$

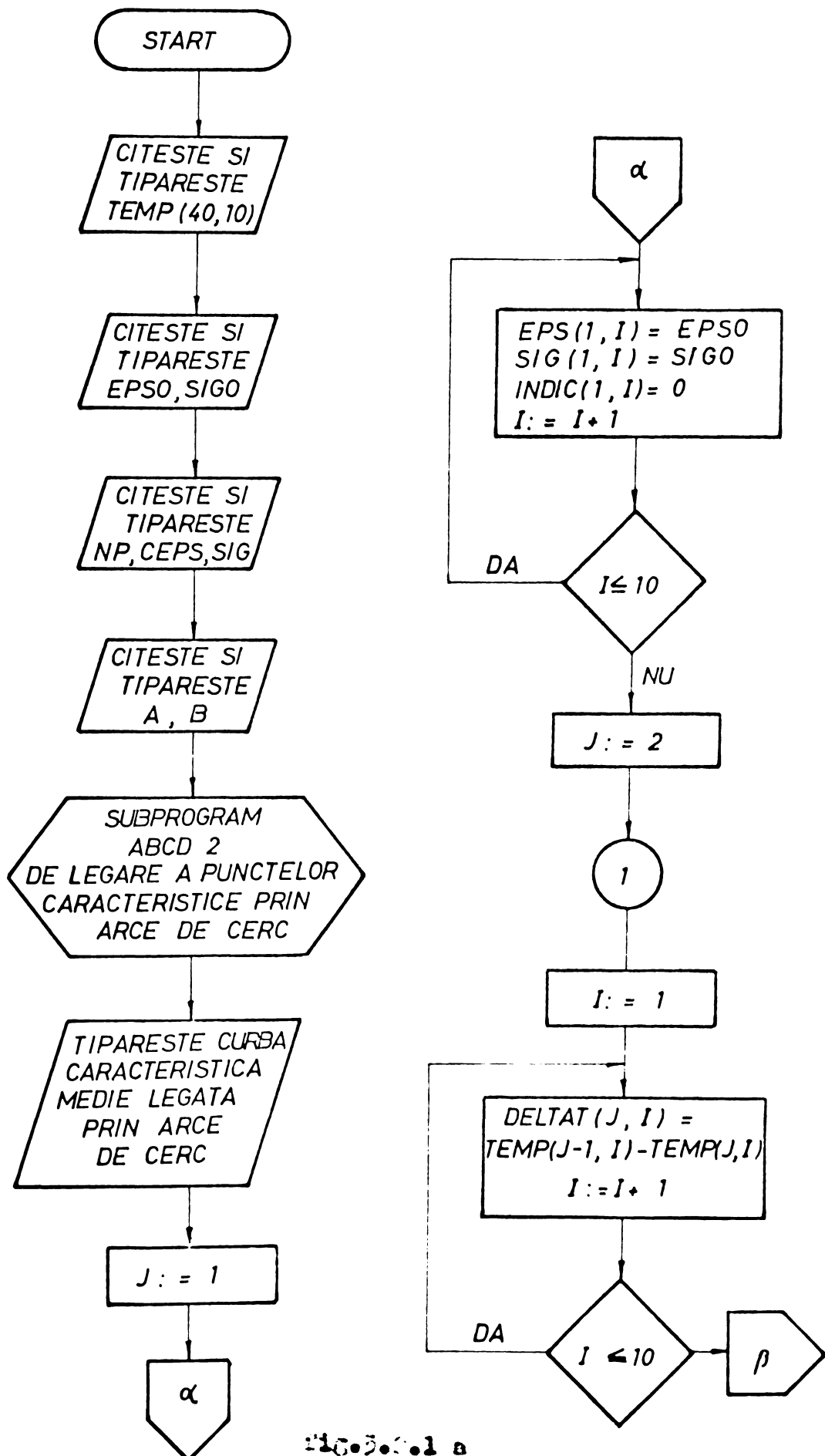


Fig. 3.1.1 a

Schemă logică a programului "CURBĂ"

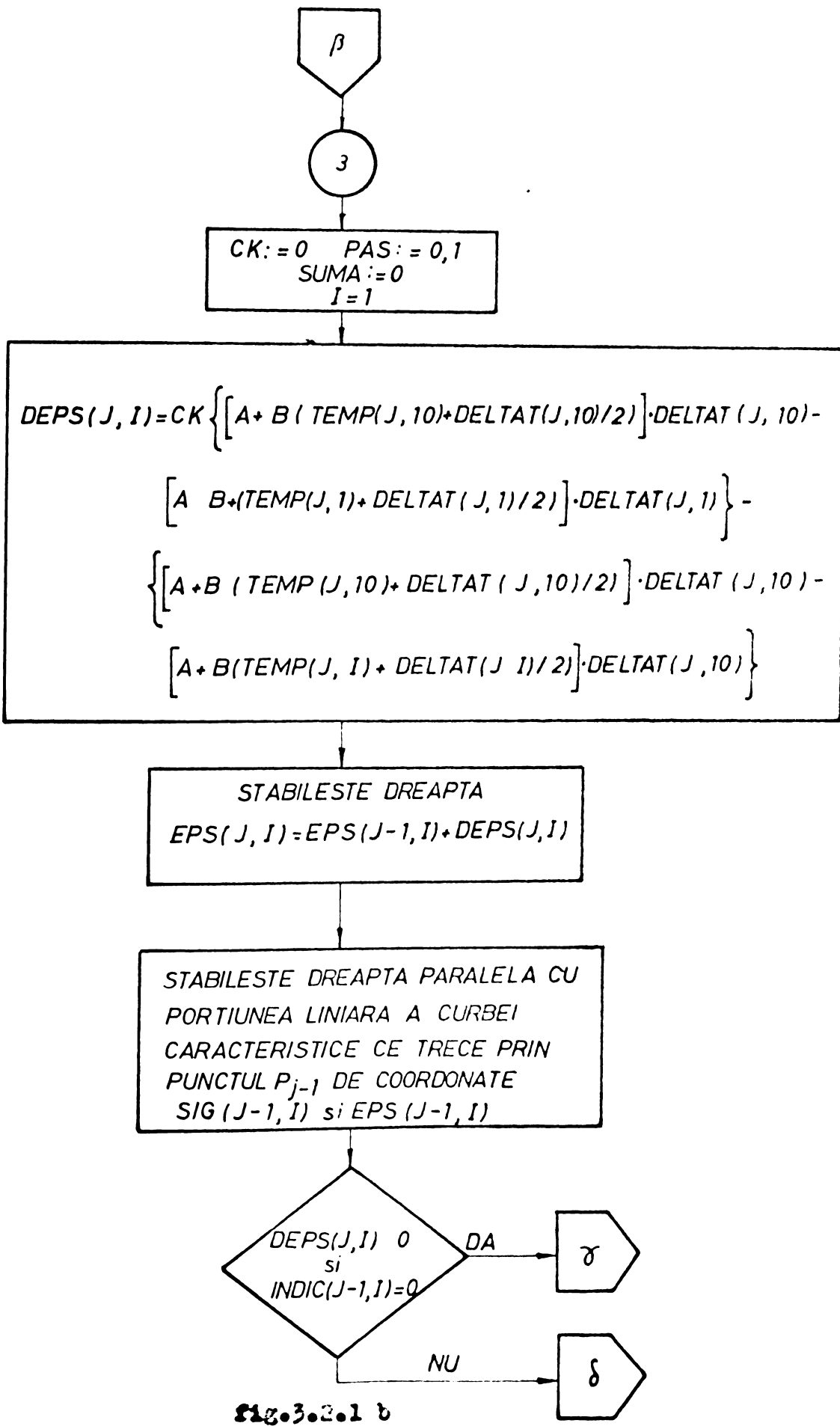


fig.3.2.1 b

Schema logică a programului "DEPS"

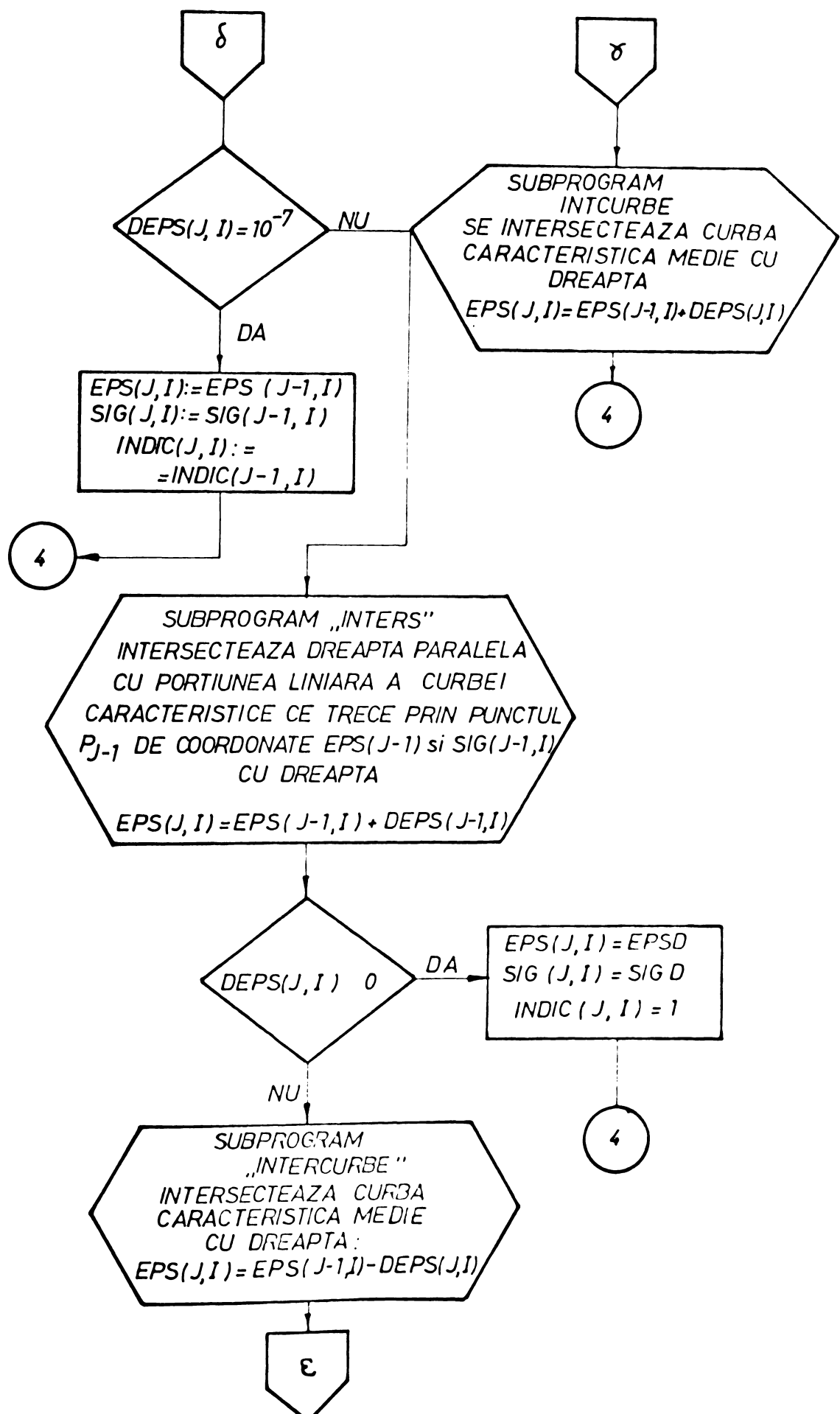
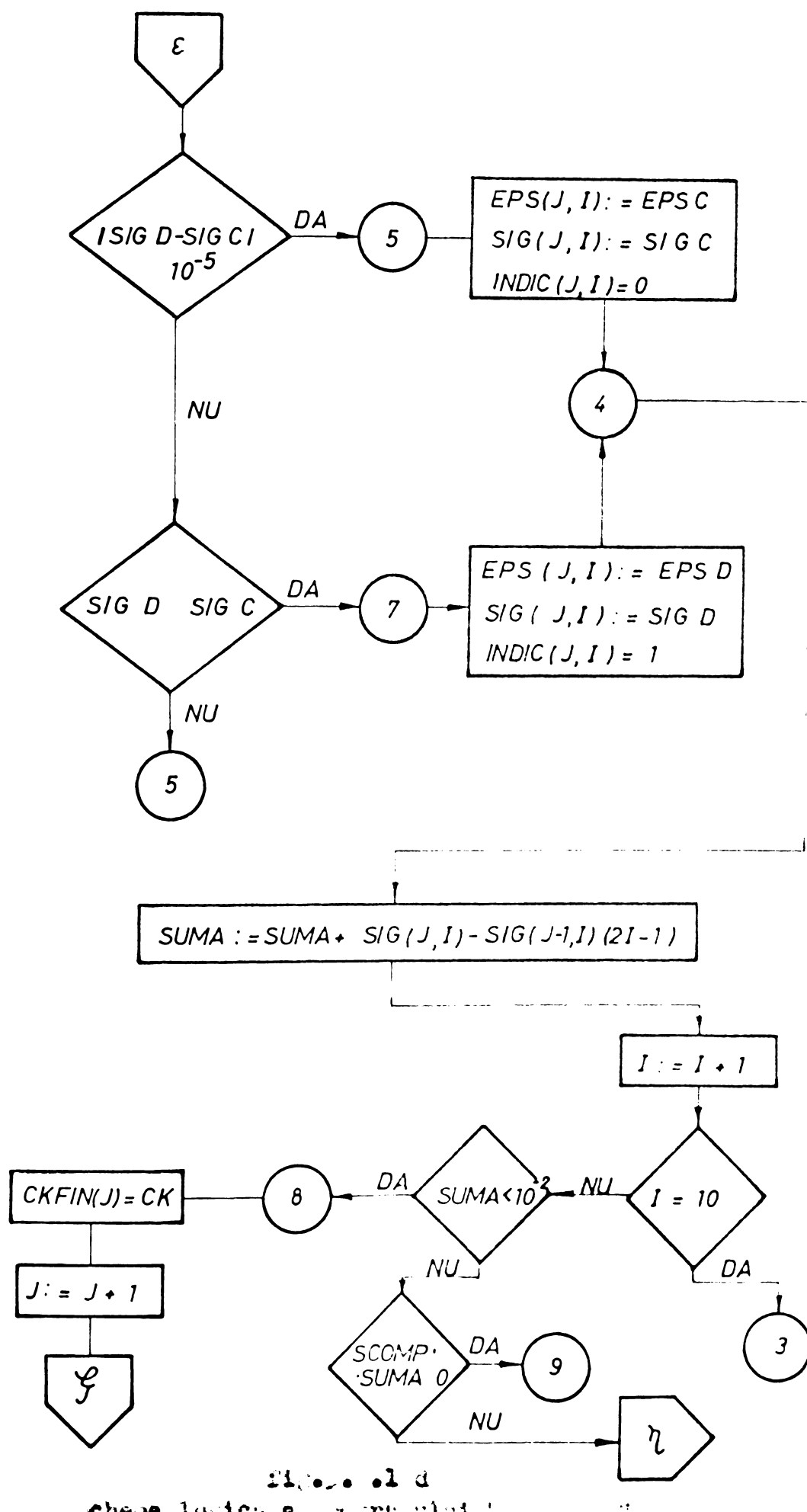
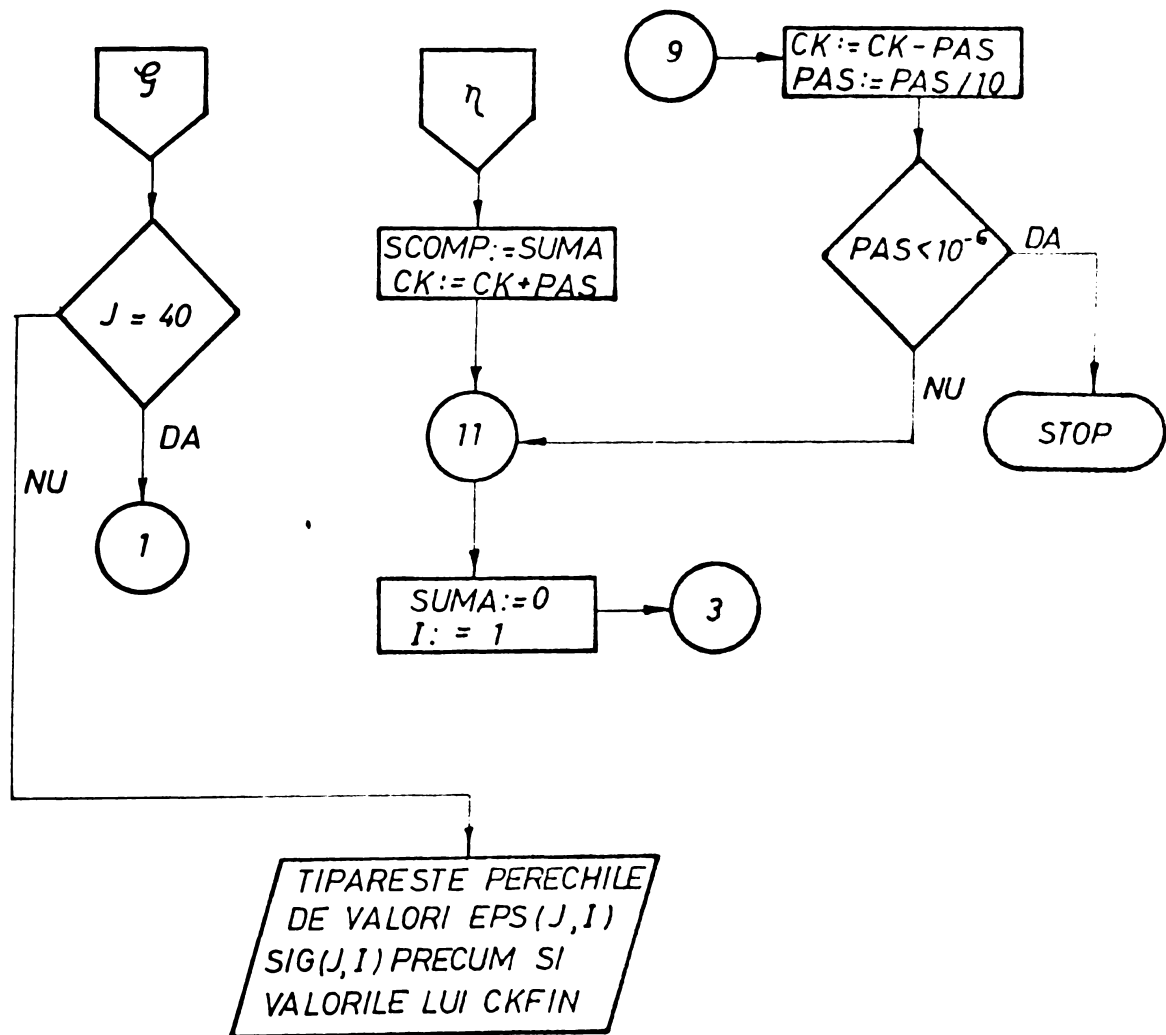


fig.3.2.1.6

Schema logica a programului „INTERCURBE”



starea initială  
cheia logică e întrunului



*schema logică a programului "TIPARESTE"*

SIGO	= $\sigma_0$
NP	= numărul de puncte al curbei caracteristice medii
CEPS, CSIG	= punctele curbei caracteristice medii
A, B	= A, B (constantele din legea de variație a coeficientului de ailitare liniară cu temperatură)
EPS (J, I)	= $\epsilon_{ji}$
SIG (J, I)	= $\sigma_{ji}$
INDIC (J, I)	= indice care ne arată dacă punctul corespunzător tensiunii $i_j$ și lungirii specifice $i_j$ se află pe curba caracteristică INDIC (J,I) = 0 sau nu (INDIC (J,I)=1)

$$\begin{array}{lcl} I & = & i \\ J & = & j \\ CK & = & k_j \end{array}$$

PAS = valoarea cu care crește  $k_j$  la efectuarea interacțiilor SIGD, EPSD=arată că punctul de coordonate  $\varepsilon_{ij}$ ,  $\delta_{ji}$  se găsește pe o dreaptă paralelă la porțiunea liniară a curbei caracteristice medii.

$$\text{SUMA} = \sum_{i=1}^{lo} \Delta \delta_{ij} (2i-1)$$

$$\text{CKFIN} = \text{valoarea coeficientului } k_j \text{ pentru care} \\ \sum_{i=1}^n \Delta \delta_{ij} (2i-1) = 0$$

SIGC, EPSC = arată că punctul de coordonate  $\varepsilon_{ji}$  și  $\delta_{ji}$  se găsește pe curba caracteristică medie.

$$\text{SCOMP} = \text{este valoarea sumei} \sum_{i=1}^n \Delta \delta_{ij} (2i-1) \text{ pentru fiecare} \\ \text{treaptă anterioară a interacției, adică (CK-PAS)}$$

In prima parte a schemei logice se observă acumularea datelor inițiale: TEMP (J,I), EPSO, SIGO, NP,A,E, etc. apoi utilizarea subprogramului ABCD2 pentru unirea punctelor curbei caracteristice prin cercuri. In continuare pentru momentul inițial cind temperatura este constantă pe toată secțiunea CIP (1,1)=act, în toate fișurile tensiunea este aceeași (SIGC) și lungirea specifică aceeași ( $\varepsilon_0$ ), se atribue indicelui INDIC (1,I) valoarea 0. Se crește valoarea j și se calculează DEPSAT (J,I) pentru toate fișurile. Odată aceste valori cunoșute se calculează DEPS (J,I), coeficientii dreptei parallele cu axa δ ce trece prin punctul EPS(J,I) și ai dreptei parallele cu porțiunea liniară a caracteristicii ce trece prin punctul de coordonate SIG(J-1,I) și EPS(J-1,I). In continuare se ivesc următoarele situații:

a) DEPS(J,I) > 0 și indicativul INDIC(J-1,I)=0 adică punctul se găsește pe curbă, deplasarea făcîndu-se tot pe aceasta (fig.3.2.2). Punctul  $P_J$  se determină la intersecția dintre dreapta:

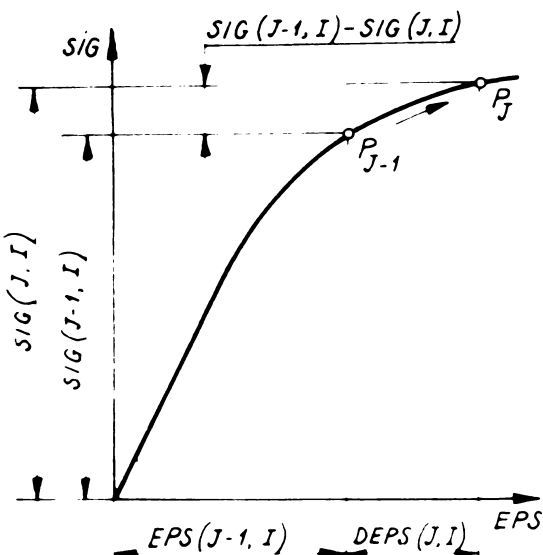
$$EPS(J,I) = EPS(J-1,I) + DEPS(J,I)$$

și curba caracteristică medie.

b)  $|DEPS(J,I)| \leq 10^{-7}$  atunci se consideră creșterea nulă și se atribuie tensiunii și deformației valoarea treptei anterioare adică,

$$SIG(J,I) = SIG(J-1,I) \text{ și}$$

$$EPS(J,I) = EPS(J-1,I).$$



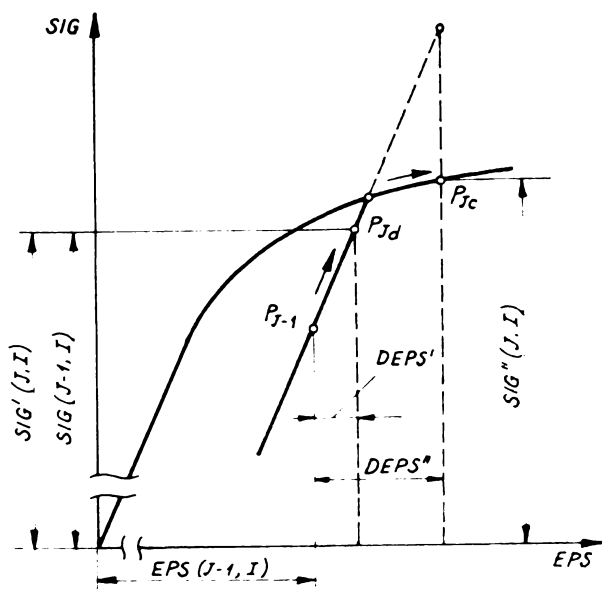
**fig.3.2.2**  
Determinarea punctului  $P_J$  pentru cazul  $DEPS(J,I) > 0$  și  $INDIC(J-1,I) = 0$

c)  $DEPS(J,I) > 0$  și  $INDIC(J-1,I) = 1$

adică punctul  $P_{J-1}$  nu se găsește pe curba caracteristică. Dacă  $DEPS(J,1) = DEPS'$  este suficient de mic deplasarea se face pe o paralelă la porțiunea liniară. Dacă  $DEPS(J,I) = DEPS''$  este suficient de mare atunci deplasarea se face întîi pe o paralelă la porțiunea liniară și apoi pe curbă (fig.3.2.3). Dacă dreapta  $EPS(J,I) = EPS(J-1,I) + DEPS(J,I)$  intersectează întîi dreapta paralelă cu porțiunea liniară atunci punctul rămîne pe dreapta ( $P_{Jd}$  fig.3.2.3). Dacă intersectează întîi curba atunci se ajunge în  $P_{Jc}$ . Tensiunile obținute în cele două cazuri vor fi  $SIG'(J,I)$  respectiv  $SIG''(J,I)$ . În schema logică comparația dintre cele două intersecții se face la „?” . În cazul în care diferența dintre tensiunile obținute prin cele două intersecții este mai mică decît  $10^{-5}$  (în valoare absolută) se acceptă drept valoare pentru tensiune (punctul  $P_J$ ) intersecția cu curba (schema logică „5”).

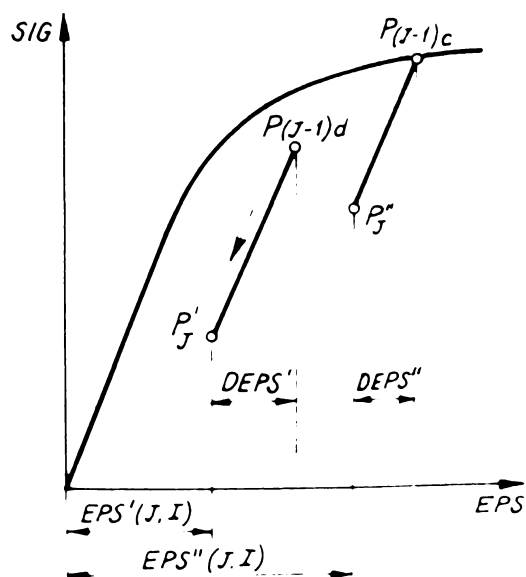
d)  $DEPS(J,I) < 0$ . În acest caz pentru  $INDIC(J-1,I) = 0$  cît și pentru  $INDIC(J-1,I) = 1$  deplasarea se face după o paralelă la porțiunea liniară a caracteristicii punctului  $P_J'$  sau  $P_J''$ .

(fig.3.2.4) determinindu-se ca intersecție dintre dreapta:



**fig.3.2.3**  
Determinarea  
punctului  $P_J$   
pentru cazul  
 $DEPS(J,I) > 0$   
și  $INDIC(J-1,I) = 1$

$EPS(J,I) = EPS(J-1,I) - DEPS(J,I)$  și dreapta ce trece prin punctul  $P_{(J-1)d}$  respectiv  $P_{(J-1)c}$  și este paralelă cu porțiunea liniară a curbei caracteristice medii cu valorile tensiunilor  $SIG(J,I)$  astfel determinate se calculează SUMA și se compară cu valoarea  $10^{-2}$  acceptată drept zero. Dacă se verifică, atunci valoarea admisă pentru CK este corectă, tipărindu-se valourile  $SIG(J,I)$  și  $EPS(J,I)$  (schema logică „400”).



**fig.3.2.4**  
Determinarea punctului  $P_J$   
pentru cazul  $DEPS(J,I) < 0$   
și  $INDIC(J-1, I) = 0$  sau  
1

Dacă nu se verifică condiția atunci se face produsul dintre suma anterioară (calculată pentru CK mai mic cu un pas și suma obținută.

Dacă produsul este pozitiv, în intervalul considerat pentru CK, SUMA nu se anulează, iar dacă este negativ atunci suma a schimbat de semn.

Se revine la valoarea anterioară a lui CK ("9") pasul micșorindu-se la o zecime.

Cu acest nou pas se reia tot calculul descris anterior, pînă cînd  $\text{SUMA} \leq 10^{-2}$ . Odată această condiție verificată pentru un anumit interval de timp (J), se trece la intervalul următor (J+1), pînă cînd se acoperă toate cele 40 intervale.

### 3.3. Calculul cîmpului de temperatură pe secțiunea transversală a unei epruvete cilindrice de secțiune circulară ce se răcește uniform prin suprafața laterală.

In vederea stabilirii tensiunilor termice dintr-o epruvetă cilindrică solicitată axial de o forță constantă și supusă unor variații de temperatură, conform metodei iterative descrise în primul paragraf al acestui capitol este necesar să se cunoască variația în timp a cîmpului de temperatură pe secțiunea transversală a epruvetei se face uniform pe întreaga suprafață laterală atunci după [20], [29], [61], rezolvarea problemei propuse se rezumă la integrarea unei ecuații Fourier de forma:

$$\frac{\partial \theta}{\partial t} = a \frac{\partial^2 \theta}{\partial r^2} + \frac{1}{r} \cdot \frac{\partial \theta}{\partial r} \quad (3.3.1)$$

unde:

- - temperatura în momentul t la distanța r de axa cilindrului
- t - timpul avînd originea la începutul răcirii
- r - distanța dela axa cilindrului la punctul din secțiunea transversală unde se determină temperatura  $\theta$

$a = \frac{\lambda}{\rho c}$  - difuzibilitatea termică

$\lambda$  - coeficientul de conductibilitate termică

$\rho$  - densitatea materialului epruvetei

c - căldura specifică a materialului epruvetei

Pentru rezolvarea ecuației diferențiale se fac următoarele ipoteze

- se neglijă răcirea prin capetele epruvetei
- $\lambda$ ,  $\rho$  și  $c$  sunt invariabile cu temperatura
- coeficientul de schimb de căldură  $\alpha$  este constant pe toată lungimea epruvetei și invariabil în raport cu temperatura epruvetei.

In [20], [29], [61] după rezolvarea ecuației se ajunge la soluția:

$$\Theta = 2 \Theta_0 \sum_{k=1}^{\infty} \frac{1}{\Theta_k} \frac{J_1(\Theta_k)}{J_0^2(\Theta_k) + J_1^2(\Theta_k)} e^{-\Theta_k^2 \frac{at}{R^2}} \cdot J_0(\Theta_k \cdot \frac{r}{R}) \quad (3.3.2)$$

în care  $\Theta_0$  - diferența de temperatură între cea inițială și cea finală socotindu-se ultima nulă;  $R$  - raza epruvetei.

Notîndu-se cu  $\Theta_s$  temperatura inițială și cu  $\Theta_i$  temperatura finală se poate scrie relația (3.3.2) sub forma:

$$\Theta = \Theta_i + 2(\Theta_s - \Theta_i) \sum_{k=1}^{\infty} \frac{1}{\Theta_k} \frac{J_1(\Theta_k)}{J_0^2(\Theta_k) + J_1^2(\Theta_k)} e^{-\Theta_k^2 \frac{at^2}{R^2}} \cdot J_0(\Theta_k \frac{r}{R}) \quad (3.3.2')$$

Valorile  $\Theta_k$  reprezintă soluțiile ecuației transcendentale:

$$\Theta_k J_1(\Theta_k) - h R J_0(\Theta_k) = 0 \quad (3.3.3)$$

unde  $h = \frac{\alpha}{\lambda}$  este coeficientul relativ de transfer  $J_0(\Theta_k)$  și  $J_1(\Theta_k)$  sunt valorile funcției Bessel de ordinul 0 respectiv 1 pentru  $\Theta_k$ .

Rezolvarea ecuației (3.3.3) nu se poate face exact iar în literatura de specialitate [29],[31] nu se dau decât primele 5 soluții.

De aceea s-a pus problema de a se analiza eroarea ce se comite, însumând din dezvoltarea în serie, numai primii 5 termeni. Pentru a facilita urmărirea calculelor s-a notat:

$$\Psi_k(J) = \frac{1}{\Theta_k} \frac{J_1(\Theta_k)}{J_0^2(\Theta_k) + J_1^2(\Theta_k)} \cdot J_0(\Theta_k \frac{r}{R}) \quad (3.3.4)$$

Din analiza relației (3.3.2') se observă că abaterea este cu atît mai mare cu cît timpul  $t$  este mai mic deoarece termenii de

ordin superior scad mai repede ( $\Theta_k$  crește). Din acest motiv pentru analiză s-a considerat cazul cînd  $t = 0$  și atunci  $\Theta = \Theta_s$

Deci:

$$\sum_{k=1}^{\infty} \frac{1}{\Theta_k} \frac{J_1(\Theta_k)}{J_0^2(\Theta_k) + J_1^2(\Theta_k)} J_0(\Theta_k \frac{r}{R}) = \sum_{k=1}^{\infty} \psi_k(J) \approx 0,5$$

Pe baza soluțiilor ecuației transcendentă (3.3.3) preluate după [29] și date în tabelul 2.2.1 s-au calculat sumele  $\sum_{k=1}^5 \psi_k(J)$  și apoi abaterile:

$$e \% = \frac{\sum_{k=1}^5 \psi_k(J) - 0,5}{0,5} \cdot 100 \quad (3.3.5)$$

pentru diferite valori ale produsului  $h R$  rezultatele fiind concentrate în diagrama din fig.3.3.1 (curbele cu linie plină).

Tabelul 3.3.1

$h R$	1	2	3	4	5
0,001	0,045	3,832	7,016	10,174	13,324
0,002	0,063	3,832	7,016	10,174	13,324
0,005	0,100	3,833	7,016	10,174	13,324
0,01	0,141	3,834	7,017	10,175	13,324
0,02	0,200	3,837	7,019	10,176	13,325
0,05	0,314	3,845	7,023	10,178	13,327
0,1	0,442	3,858	7,030	10,183	13,331
0,2	0,617	3,887	7,044	10,193	13,338
1,0	1,256	4,079	7,156	10,271	13,398
2,0	1,599	4,292	7,288	10,366	13,472
5,0	1,990	4,713	7,617	10,622	13,679
10,0	2,180	5,034	7,957	10,936	13,959
20,0	2,288	5,257	8,253	11,268	14,296

Se remarcă din diagrama 3.3.1 că eroarea săvîrșită crește cu creșterea produsului  $h.R$ , avînd la  $h R = 20$  valoarea de  $- 58,2\%$  pentru  $r/R = 0,1$  și  $11,05\%$  pentru  $r/R = 1$ .

Abaterea depinde deci de distanța dela punctul din secțiune considerat și axa epruvetei. Se remarcă faptul că în preajma axei epruvetei se obțin temperaturi mai mici decît cele reale iar

în zonele din imediata vecinătate a suprafeței temperaturi mai mari.

În vederea ridicării preciziei calculului s-a trecut la determinarea a 10 soluții ale ecuației amintite, pentru care s-a folosit calculatorul Felix 256. În fig.3.3.1 a,b,c,d se prezintă schema logică utilizată pentru calculul funcțiilor Bessel  $J_0(x)$  și  $J_1(x)$ , a soluțiilor ecuației transcendentă 3.3.3 și a temperaturii  $\Theta_{(j,i)}$ .

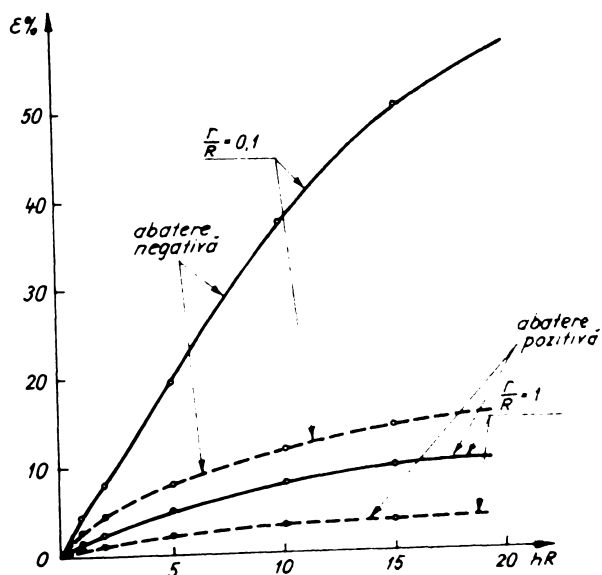


fig.3.3.1

Diagramele erorilor ce se comit la calculul temperaturii dacă se iau în considerare numai primele 5 respectiv 10 soluții ale ecuației transcendentă

În tabelul 3.3.2 sunt concentrate cele 10 soluții obținute pentru diferite valori ale produsului  $h \cdot R$ . Cu aceste soluții s-au calculat din nou sumele  $\sum_k \psi_k(j)$ , precum și abaterea  $\epsilon \%$  cu relația:

$$\epsilon \% = \frac{\sum_{k=1}^{10} \psi_k(j) - 0,5}{0,5} \cdot 100 \quad (3.3.6)$$

Rezultatele calculului sunt concentrate tot în fig.3.3.1 (curbele cu linie întreruptă). Se remarcă creșterea preciziei calculului abaterea la  $h \cdot R = 20$  micșorindu-se de la 58,2% la 15,05%

**Taboulul 3.3.2**

- 73 -

1	2	3	4	5	6	7	8	9	10
0,001	0,04475	3,83192	7,01576	10,17353	13,32380	16,47071	19,61592	22,76014	25,90376
0,002	0,06318	3,83222	7,01582	10,17366	13,32380	16,47077	19,61598	22,76020	25,90370
0,005	0,09992	3,83296	7,01631	10,17396	13,32405	16,47050	19,61616	22,76026	25,90382
0,01	0,14118	3,83430	7,01704	10,17445	13,32447	16,47126	19,61634	22,76051	25,90406
0,02	0,19953	3,83692	7,01838	10,17549	13,32521	16,47187	19,61683	22,76100	25,90449
0,05	0,31428	3,84474	7,02265	10,17842	13,32740	16,47364	19,61842	22,76228	25,90559
0,1	0,44172	3,85768	7,02980	10,18324	13,33119	16,47669	19,62098	22,76448	25,90754
0,2	0,61701	3,88355	7,04402	10,19306	13,33869	16,48280	19,62605	22,76887	25,91139
0,5	0,94074	3,95942	7,08644	10,22248	13,36109	16,50099	19,64131	22,78205	25,92298
1	1,25581	4,07948	7,15583	10,27101	13,39839	16,53120	19,66676	22,80390	25,94221
2	1,59944	4,29096	7,28834	10,36585	13,47137	16,59101	19,71723	22,84754	25,98060
5	1,98982	4,71314	7,61775	10,62232	13,67854	16,76301	19,86402	22,97541	26,09364
10	2,17951	5,03321	7,95686	10,93635	13,95802	17,00990	20,08296	23,17091	26,26949
20	2,28803	5,25673	8,25337	11,26765	14,29829	17,34419	20,40364	23,47494	26,55610

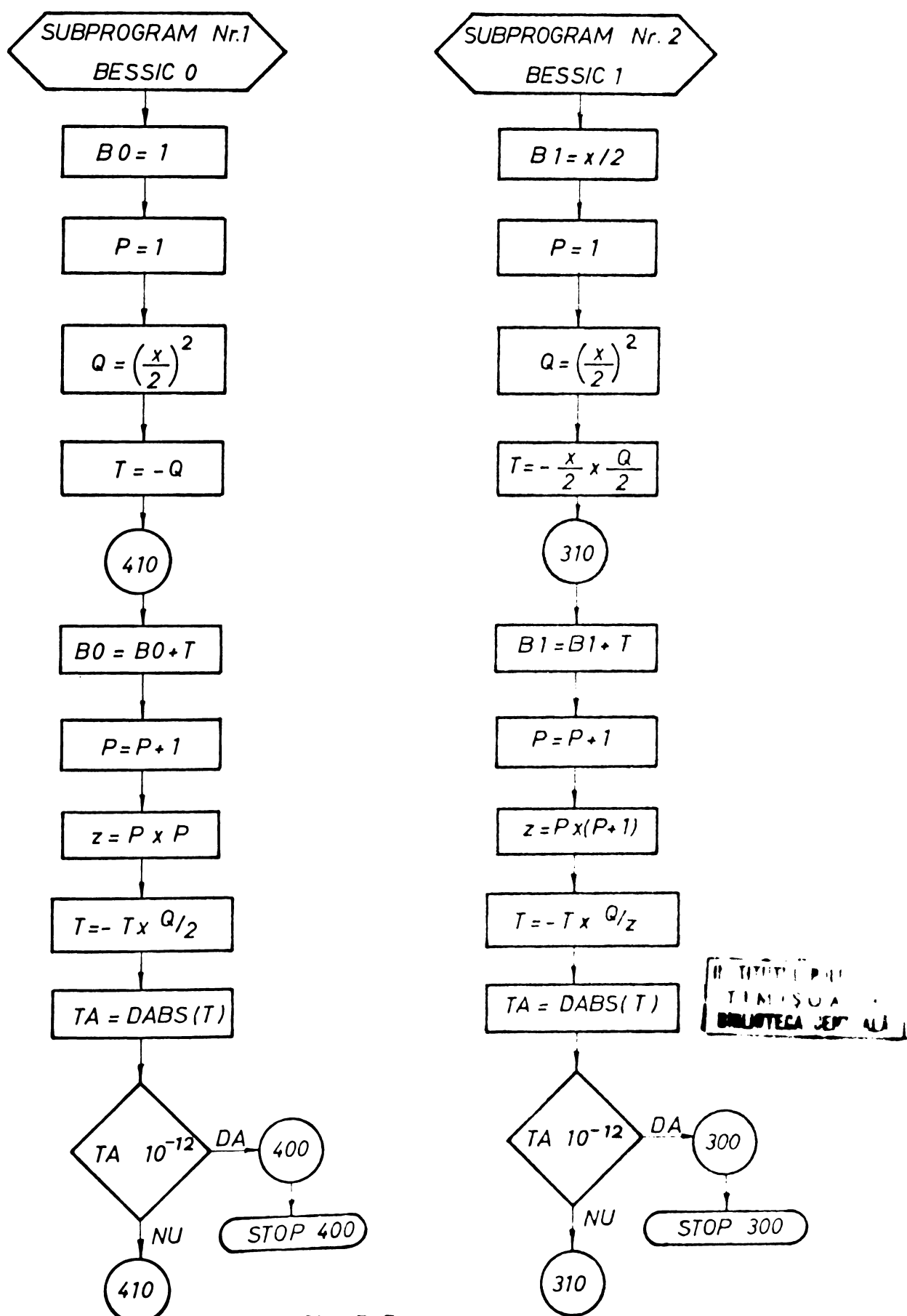


fig.3.3.2 a  
Programul de calcul a temperaturii  $\Theta_{ij}$

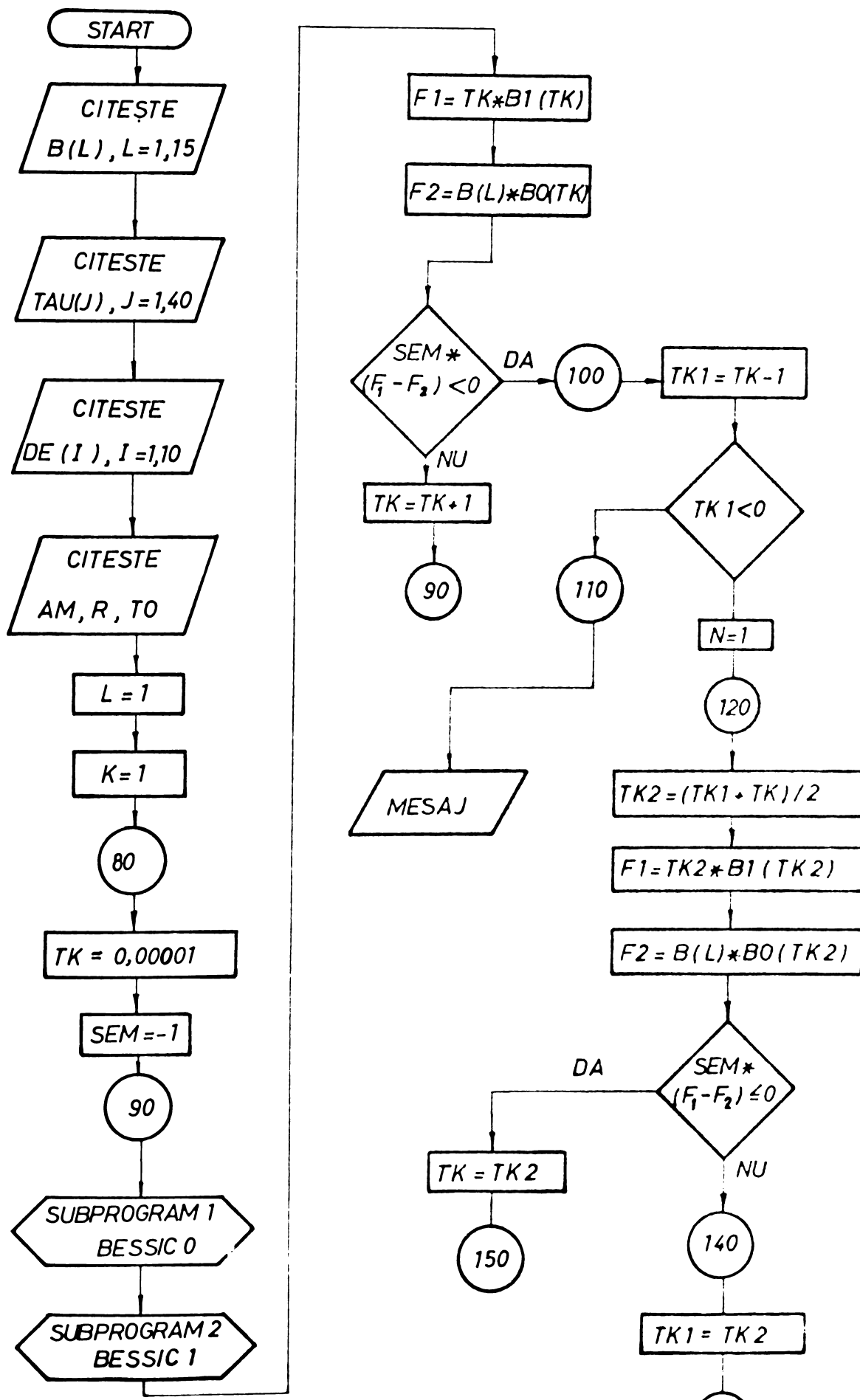
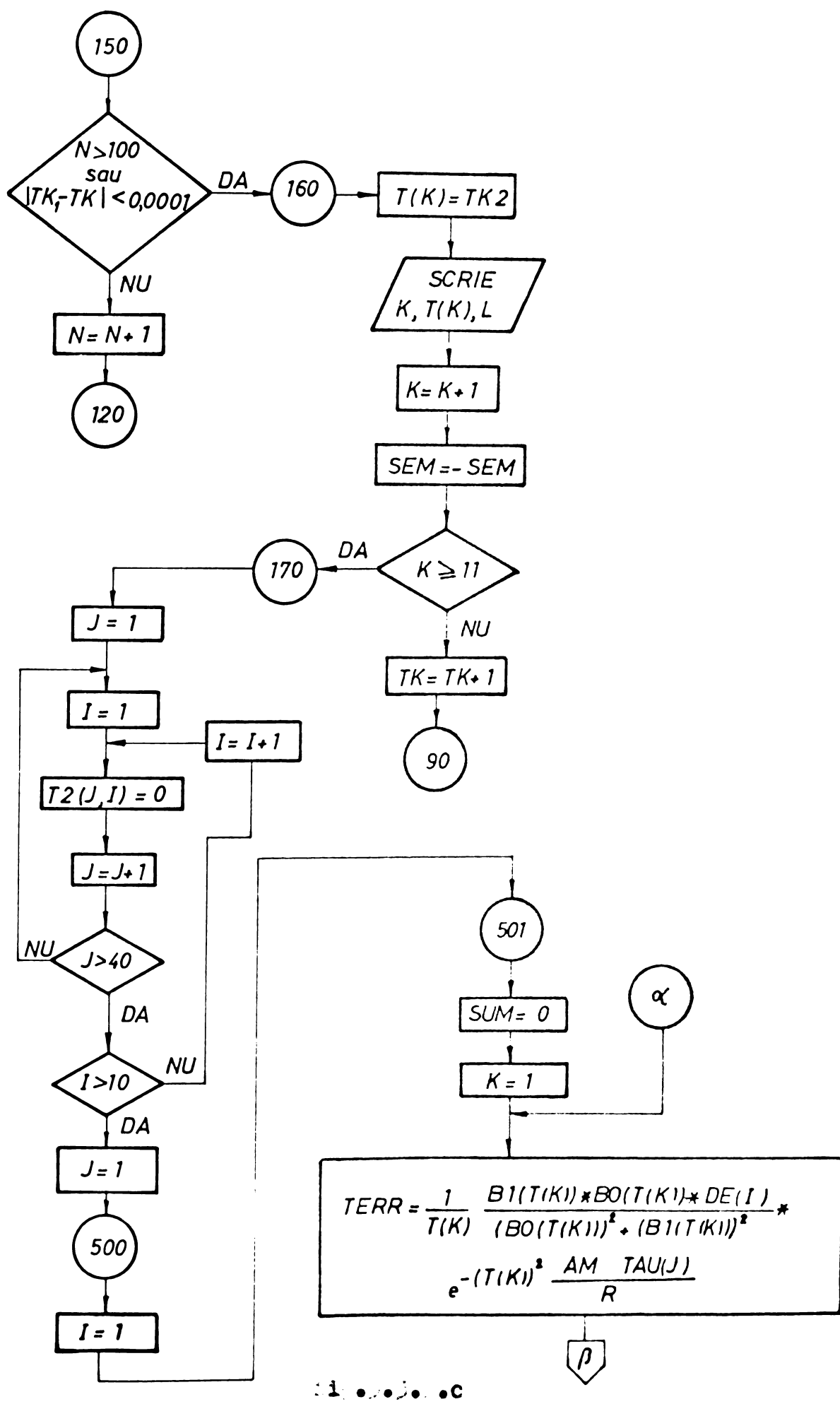
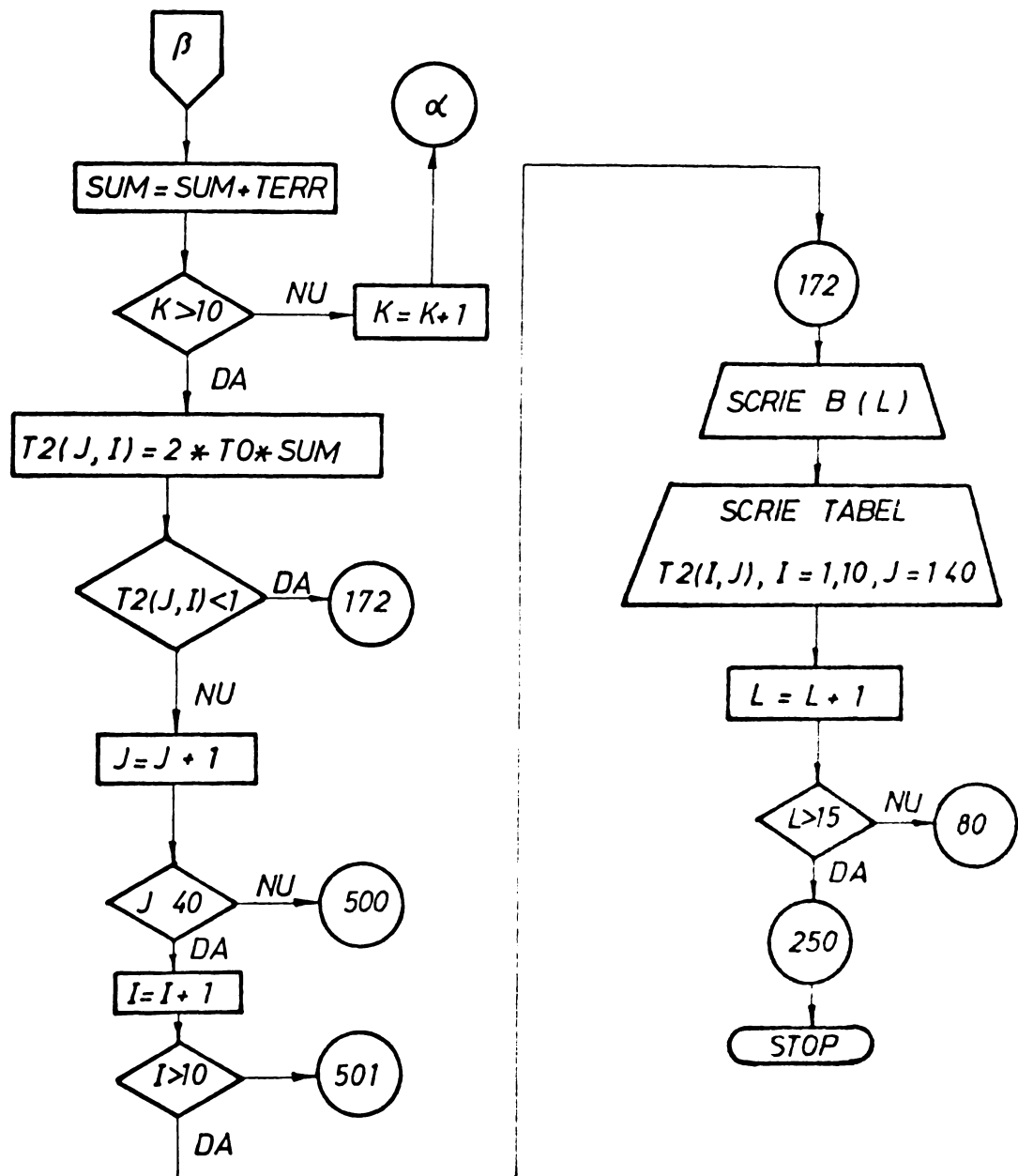


Fig.3.3.2 b

...toare la calcul a temperaturii



PROGRAM TO CALCUL A TEMPERATURAI  $T_{ij}$



**fig.3.3.2 d**  
**Program de calcul a temperaturii  $T_{2,I}$**

In fig.3.3.2.a sînt rezentate cele două subprograme folosite pentru calculul funcțiilor Bessel de ordinul zero și unu. Schema logică are la bază utilizarea dezvoltărilor în serie ale acestor funcții care după [51] au expresia:

$$J_0(x) = \sum_{p=0}^{\infty} (-1)^p \frac{\left(\frac{x}{2}\right)^{2p}}{(p!)^2} \quad (3.3.7)$$

$$J_1(x) = \sum_{p=0}^{\infty} (-1)^p \frac{(\frac{x}{2})^{2p+1}}{p! (p+1)!} \quad (3.3.8)$$

Desvoltind pe  $J_0(x)$  se obtine:

$$J_0(x) = 1 - \frac{(\frac{x}{2})^2}{1^2} + \frac{(\frac{x}{2})^4}{(1 \cdot 2)^2} - \frac{(\frac{x}{2})^6}{(1 \cdot 2 \cdot 3)^2} + \dots$$

Calculul direct al unui termen prin efectuarea întii a operației dela numitor, apoi a celei dela numitor și în sfîrșit raportarea celor două rezultate, nu se poate face (deși în biblioteca calculatorului există p !) datorită numărului mare de termeni ce trebuie luati în considerare ordinul de mărime al numerelor ce intervin depășește capacitatea calculatorului. În consecință se recurge la un artificiu care permite micșorarea valorii numerelor ce intervin în operațiunile efectuate de calculator.

Notindu-se  $(x/2)^2 = Q$  se poate scrie:

$$J_0(x) = 1 + \frac{(-Q)}{1 \cdot 1} + \frac{(-Q)}{1 \cdot 1} \cdot \frac{(-Q)}{2 \cdot 2} + \frac{(-Q)}{1 \cdot 1} \cdot \frac{(-Q)}{2 \cdot 2} \cdot \frac{(-Q)}{3 \cdot 3} + \dots$$

adică un termen se obtine din precedentul prin înmulțirea cu  $-Q/p^2$  unde p este numărul de ordine al termenului. În schema logică se folosesc notatiile

$$BO = J_0(x)$$

$$T = -Q$$

$$P = p$$

$$Z = p^2$$

$$Q = \frac{(x)^2}{2}$$

$T_A$  = valoarea absolută a unui termen al dezvoltării în serie

Se remarcă în schema logică, că s-a impus o condiție desul de severă pentru valoarea absolută a ultimului termen ( $T_A < 10^{-12}$ ), adică se insunează atîția termeni pînă cînd se verifică această condiție.

Aceasta face ca valorile determinante pentru funcția Bessel să fie calculate cu o precizie de 12 zecimale.

Pentru cazul funcției Bessel de ordinul întîi s-a făcut un artificiu asemănător și anume:

$$J_1(x) = \frac{x}{2} - \frac{(\frac{x}{2})^3}{1 \cdot 2} + \frac{(\frac{x}{2})^5}{1 \cdot 2 \cdot 2 \cdot 3} - \frac{(\frac{x}{2})^7}{1 \cdot 2 \cdot 3 \cdot 2 \cdot 3 \cdot 4} + \dots$$

Dacă se notează  $Q = (\frac{x}{2})^2$  se poate scrie:

$$J_1(x) = \frac{x}{2} + \frac{Q}{2} - \frac{Q}{2} + \frac{Q}{2} - \frac{Q}{2} + \frac{Q}{2} - \frac{Q}{2} - \frac{Q}{2} - \frac{Q}{12}$$

adică un termen se obține din precedentul înmulțit cu  $-\frac{Q^p}{p(p+1)}$   
unde  $p$  este numărul de ordine al termenului. În schema logică se folosesc notățiile :

$$B_1 = J_1(x)$$

$$T = -\frac{x}{2} \cdot \frac{Q^p}{2}$$

$$P = p$$

$$Z = p(p+1)$$

$$Q = (\frac{x}{2})^2$$

$T_A$  = valoarea absolută a unui termen din dezvoltarea în serie

Oată aceste două subprograme realizate s-a putut trece la rezolvarea ecuației transcendentă (3.3.3), cuprinsă în schema logică între „80” și „170”. Se observă din analiza ecuației (3.3.3) că determinarea soluțiilor este echivalentă cu stabilirea valorilor argumentului  $x$  pentru care curbele din fig.3.3.3 se intersectează.

Dintre cele două curbe singura care își modifică alură, în funcție de condițiile de răcire respectiv de dimensiunile epruvei, este  $h.R J_0(x)$  prin modificarea produsului  $h.R$ . În schema logică în vederea rezolvării ecuației transcendentă s-au utilizat următoarele variabile și constante (s-au acceptat 15 valori pentru  $h.R$ ).

$$B(L) = h.R$$

$$B_0(TK) = J_0(\Theta_k)$$

$$B_1(TK) = J_1(\Theta_k)$$

$$TK = \Theta_k$$

$K$  = ordinul soluției (prima intersecție, a doua etc.)

$T(A)$  = soluțiile ecuației transcendentă ( $\Theta_1, \Theta_2 \dots \Theta_k$ )

Prima soluție a ecuației transcendentă (corespunzătoare primei intersecții fig.3.3.3) nu poate fi mai mică decât 0,00001 deoarece ar corespunde unei valori foarte mici pentru  $h.R$ .

Acest lucru implică ori rază foarte mică a epruvei, ori coeficient de schimb de căldură la nivelul suprafetei foarte mic.

Ambele situații nu prezintă interes din punct de vedere al producerii unor tensiuni termice importante și în consecință nu se vor lua în studiu.

Metoda utilizată pentru determinarea intersecțiilor poate fi mai ușor înțeleasă dacă se urmărește fig. 3.3.4.

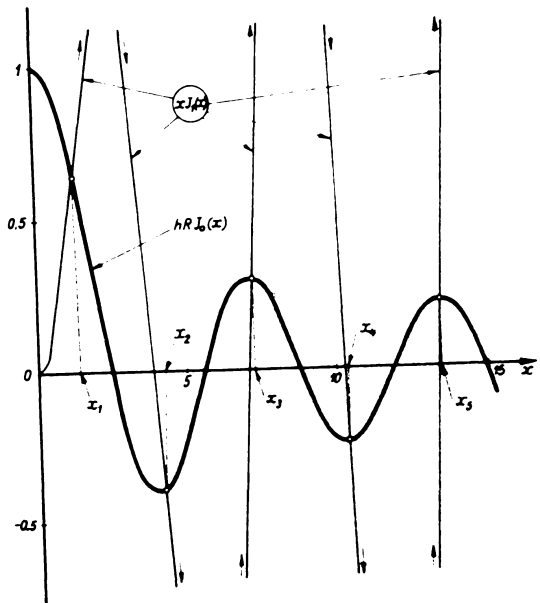


fig. 3.3.3

Modul de stabilire a soluțiilor ecuației transcendentale  $\Theta_k J_1(\Theta_k) = hR J_0(\Theta_k)$

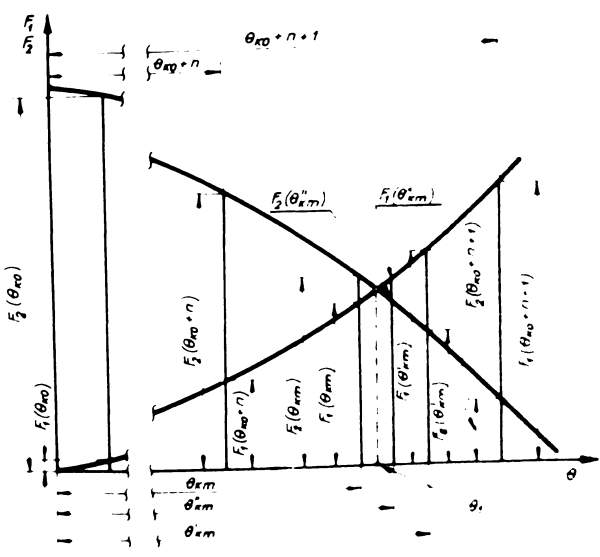


fig. 3.3.4

Metoda iterativă utilizată în programul de calcul pentru determinarea soluțiilor ecuației transcendentale  $\Theta_k J_1(\Theta_k) = hR J_0(\Theta_k)$

Se calculează pentru  $\epsilon_{k_0} = 0,00001$  valoarea funcțiilor

$$F_1(\epsilon_k) = \epsilon_k J_1(\epsilon_k); \quad F_2(\epsilon_k) = h R \cdot J_0(\epsilon_k) \quad (3.3.5)$$

care reprezintă chiar cei doi membrii ai ecuației transcendentale  
3.3.3. Se discută apoi diferența

$$\Delta F = (-1)^k (F_1 - F_2) \quad (3.3.6)$$

unde  $k$  este ordinul soluției (intersectiei - prima a doua etc.)

Dacă diferența este pozitivă  $F_1 > F_2$  și ne aflăm înaintea intersectiei. Se crește  $\epsilon_{k_0}$  cu o unitate ( $0,00001 + 1$ ) și din nou se calculează  $\Delta F$ .

Să presupunem că pentru  $\epsilon_k = \epsilon_{k_0} + n$ ,  $\Delta F > 0$  iar pentru  $\epsilon_k = \epsilon_{k_0} + n + 1$ ,  $\Delta F < 0$ .

In acest caz s-a depășit intersectia (fig.3.3.4). Se acceptă ca valoare următoare pentru  $\epsilon_k$ , valoarea medie:

$$\epsilon_{km} = \frac{(\epsilon_{k_0} + n) + (\epsilon_{k_0} + n + 1)}{2} \quad (3.3.7)$$

și se calculează

$$\Delta F = (-1)^k F_1(\epsilon_{km}) - F_2(\epsilon_{km}) \quad (3.3.8)$$

Dacă  $\Delta F > 0$  (situația din fig.3.3.4) ne aflăm în stînga intersectiei celor două curbe. Se consideră atunci o nouă valoare medie  $\epsilon'_{km}$ ,

$$\epsilon'_{km} = \frac{\epsilon_{km} + (\epsilon_{k_0} + n + 1)}{2} \quad (3.3.9)$$

pentru care din nou se calculează  $\Delta F$ ,

$$\Delta F = (-1)^k F_1(\epsilon'_{km}) - F_2(\epsilon'_{km}) \quad (3.3.8')$$

In cazul în care  $\Delta F < 0$  suntem în dreapta intersectiei efectuindu-se calculul celor două funcții pentru valoarea medie  $\epsilon''_{km}$ .

$$\epsilon''_{km} = \frac{\epsilon_{km} + \epsilon'_{km}}{2} \quad (3.3.9'')$$

Dacă  $\Delta F > 0$  (cazul din fig.3.3.4) atunci următoarea valoare medie va fi:

$$\theta_{km}''' = \frac{\theta_{km} + \theta_{km}''}{2} \quad (3.3.9)$$

Efectuindu-se calculul pentru diferență  $\Delta F$ ,

$$\Delta F = (-1)^k [F_1 (\theta_{km}''') - F_2 (\theta_{km}''')] \quad (3.3.8')$$

se pot ivi două posibilități

-  $\Delta F > 0$  (sîntem în dreapta intersecției). Valoarea medie următoare va fi:

$$\theta_{km}^{IV} = \frac{\theta_{km} + \theta_{km}'''}{2} \quad (3.3.9^{IV})$$

-  $\Delta F < 0$  (sîntem în stînga intersecției)

$$\theta_{km}^{IV} = \frac{\theta_{km} + \theta_{km}'}{2} \quad (3.3.9^V)$$

Se observă că cu fiecare etapă de calcul valoarea medie  $\theta_{km}^c$  se apropiă de  $\theta_{kl}$  adică de abscisa primei intersecții. Ciclul de calcul se oprește atunci cînd  $|\theta_{km}^{c-1} - \theta_{km}^c| < 0,0001$  (precizia impusă pentru calculul soluțiilor ecuației transcențente) s-au cînd dintr-o defectiune a programului numărul de cicluri  $C > 100$ . (In schema logică  $C \rightarrow N$ , instrucția 150).

Dacă aceste condiții nu sunt satisfăcute se efectuiază un nou ciclu ș.a.m.d. În cazul satisfacerii condiției  $|\theta_{km}^{c-1} - \theta_{km}^c| < 0,0001$  (în schema logică  $|TKl - TK| < 0,0001$ ),  $\theta_{km}^c$  se consideră prima soluție a ecuației 3.3.3 și se trece la determinarea celei de a două intersecții.

Aceasta se găsește dedesubtul axei  $O\theta_k$  și deci condiția impusă diferenței  $\Delta F$  schimbă de semn.

Acest lucru se realizează prin atribuirea valorii 2 pentru  $k$  (ordinul soluției). Evident tot ceeace s-a discutat pentru prima soluție, cu acest amendament, rămîne valabil și pentru a două soluție.

In schema logică se observă că se reia calculul dela 90. După ce s-au determinat cu această metodică primele 10 soluții se poate trece la calculul cîmpului de temperatură pe secțiunea transversală a epruvetei în cele j intervale de timp.

In acest scop dela 170 pînă la 500 se creează tabloul de J linii și I coloane corespunzător celor j intervale de timp

și i fișii.

Dela 501 se efectuiază calculul termenilor sumei din relația 3.3.2' pentru  $K = 1 \dots 10$  (corespunzător soluțiilor  $\Theta_k$ ).

S-au mai introdus notațiile:

$$DE(I) = \frac{r}{R} \quad (0,1, 0,2 \dots 1)$$

$$\Delta t = a$$

$$T_{AU}(j) = t_j$$

Tipărirea finală comportă scrierea sub formă de tabel a temperaturilor din cele i fișii (10) în cele j intervale de timp (40). În diagramele din fig.3.3.5 și 3.3.6 se prezintă variația în timp a temperaturii pentru  $h R = 0,1$  și  $h R = 1$  în 10 puncte ale secțiunii transversale a epruvetei. Se remarcă faptul că la  $h R = 0,1$  diferența maximă de temperatură între stratul exterior ( $r/R = 1$ ) și cel interior ( $r/R = 0,1$ ) este de cca.  $20^{\circ}\text{C}$ , gradientul de temperatură anulindu-se după cca. 20 s.

În schimb la  $h R = 1$  diferența maximă de temperatură între stratul cu  $r/R = 1$  și cel cu  $r/R = 0,1$  este de cca.  $120^{\circ}\text{C}$  gradientul de temperatură anulindu-se după cca. 4 s.

Este evident că tensiunile termice ce vor apărea în epruvetă în cel de al doilea caz vor fi mult mai mari în comparație cu cele din primul.

Diagramele din fig.3.3.5 și 3.3.6 au fost trasate considerind o variație de temperatură între  $400^{\circ}\text{C}$  și  $0^{\circ}\text{C}$  ( $\Theta_s$  și  $\Theta_i$ ), iar pentru difuzibilitatea termică a s-a considerat valoarea  $0,000014 \text{ m}^2/\text{s}$  (corespunzătoare fierului tehnic). Raza epruvetei s-a considerat 5 mm.

#### 3.4. Aplicarea practică a programului de calcul a tensiunilor termice (TENSTERM).

În vederea aplicării practice a programului TENSTERM s-a luat în considerare un șteel cu conținutul redus de carbon de tip OLF 2 a căror caracteristici sunt redate pe larg în cap.IV al prezentei lucrări.

Pentru a se putea obține curba medie caracteristică în intervalul  $300 \dots 450^{\circ}\text{C}$ , acceptat drept limite de variație ale temperaturii unui ciclu, s-au trasat curbele 6-8 la diferite nișeve de temperatură cupinse în acest interval ( $300, 325, 350, 375, 400, 425, 450^{\circ}\text{C}$ ) pe cîte 3 epruvete de fiecare nivel.

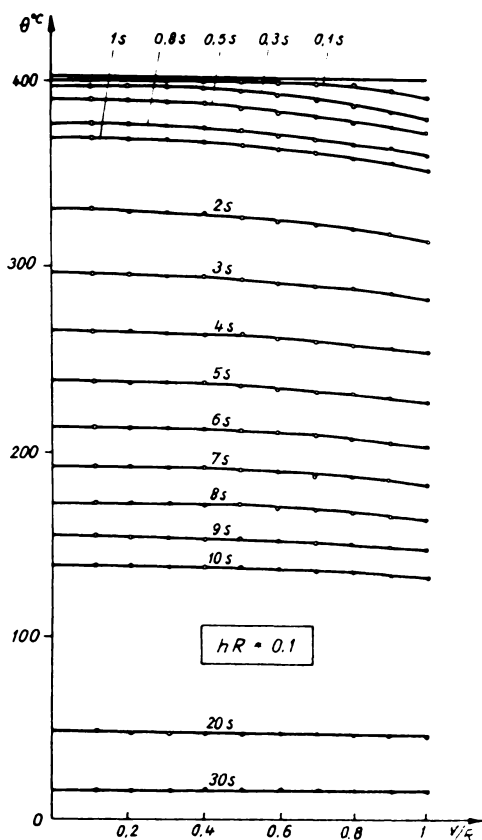


fig.3.3.5

Variatia in timp a temperaturii pe secțiunea transversală a epruvetei pentru  $hR = 0,1$

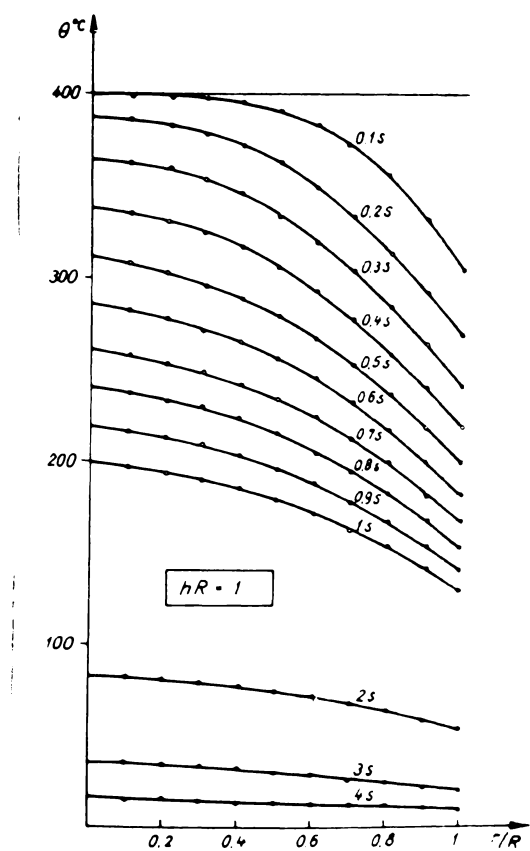
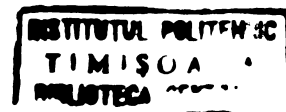


fig.3.3.6

Variatia in timp a temperaturii pe secțiunea transversala pentru  $hR = 1$



Pentru cele 3 încercări la aceeași temperatură s-a luat valoarea medie.

In fig.3.4.1 se prezintă epruveta utilizată la încercarea de tractiune.

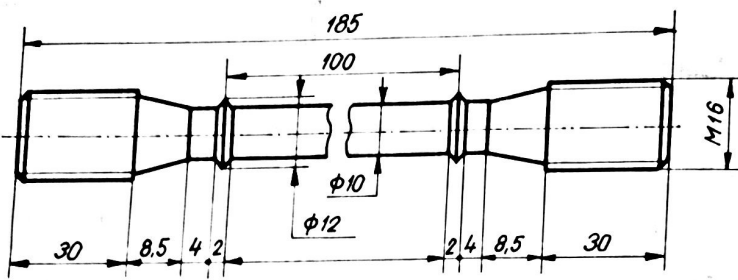


fig.3.4.1  
Forma și dimensiunile epruvei folosite la încercarea la tractiune

Încercările s-au efectuat pe o mașină de încercat la tractiune clasa de precizie 1 la care s-a adaptat un cuptor electric de fabricație Amsler - Elveția. Menținerea constantă a temperaturii s-a făcut cu precizia de  $\pm 2^{\circ}\text{C}$ , măsurarea temperaturii făcindu-se în 3 puncte ale probei cu ajutorul unor termocouple.

Citirea deformațiilor s-a făcut cu ajutorul unui extensometru prevăzut cu 2 comparatoare gradate în sutimi de milimetru.

In fig.3.4.2 se prezintă familia de curbe  $\sigma-\varepsilon$  la diferite nivele de temperatură. Pe aceeași figură s-a plasat și curba caracteristică medie determinată astfel încât la o deformatie specifică  $\varepsilon$  să abaterea medie pătratică a punctelor de pe curbele caracteristice ridicate la diferite temperaturi în raport cu punctul de pe curba caracteristică medie, să fie minimă.

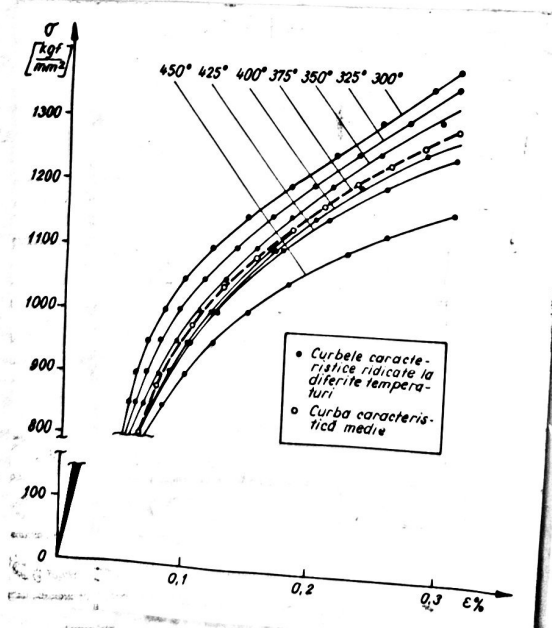


fig.3.4.2  
Curbele  $\sigma-\varepsilon$  la diferite nivele de temperatură

In tabelul 3.4.1 se pot urmării perechile de valori corespunzătoare curbei medii.

Pentru a se putea urmării eventuala ecrusare a materialui determinată de descărcarea și reîncărcarea epruvetei, cîte două epruvete de fiecare temperatură, au fost încărcate pînă la un anumit nivel al tensiunii, apoi descărcate pînă la tensiune nulă și reîncărcate peste nivelul anterior al acesteia.

Această operație s-a repetat la o încercare de 2 ... 4 ori.

In toate cazurile ciclurile încărcare - descărcare, reîncărcare s-a făcut conform fig.3.4.3 adică fără ecrusare.

S-a observat că la temperaturi mari ridicate ( $> 400^{\circ}\text{C}$ ) apare un carecare histerezis al deformațiilor (fig.3.4.4).

Tabelul 3.4.1

Nr. pct.	$\epsilon$	$\sigma$ kgf/ mm <sup>2</sup>	Nr. pct.	$\epsilon$	$\sigma$ kgf/ mm <sup>2</sup>	Nr. pct.	$\epsilon$	$\sigma$ kgf/ mm <sup>2</sup>
1	0	0	18	0,00340	15,04	35	0,00680	15,11
2	0,00025	3,20	19	0,00360	15,24	36	0,00700	15,15
3	0,00050	6,40	20	0,00380	15,42	37	0,00720	15,19
4	0,00060	7,23	2	0,00400	15,62	38	0,00740	15,22
5	0,00080	8,43	22	0,00420	15,80	39	0,00760	15,25
6	0,00100	9,22	23	0,00440	15,98	40	0,00780	15,27
7	0,00120	9,80	24	0,00460	14,12	41	0,00800	15,30
8	0,00140	10,25	25	0,00480	14,28	42	0,00820	15,33
9	0,00160	10,65	26	0,00500	14,40	43	0,00840	15,36
10	0,00180	10,97	27	0,00520	14,51	44	0,00860	15,40
11	0,00200	11,30	28	0,00540	14,62	45	0,00880	15,44
12	0,00220	11,57	29	0,00560	14,72	46	0,00900	15,48
13	0,00240	11,83	30	0,00580	14,80	47	0,00920	15,50
14	0,00260	12,10	31	0,00600	14,88	48	0,00940	15,53
15	0,00280	12,35	32	0,00620	14,95	49	0,00960	15,56
16	0,00300	12,60	33	0,00640	15,01	50	0,00980	15,59
17	0,00320	12,82	34	0,00660	15,05			

In primul paragraf al acestui capitol cele două fenomene - trecerea cu racordare dela porțiunea liniară la cea curbă în cazul reîncărcării și histerezisul - au fost neglijate.

Curbele 5-8 la care s-au efectuat în timpul încercării, descărcări și reîncărcări au fost folosite și pentru determinarea modulului de elasticitate  $E$ .

Determinarea acestuia s-a făcut în condițiile încărcării și descărcării deoarece corespunde condițiilor reale ale fluajului cu variație de temperatură la care tensiunile termice se modifică periodic în timp.

In fig.3.4.5 se prezintă valorile modulului de elasticitate determinat pe cele 14 epruvete la 7 nivele de temperatură.

La încercarea fiecărei epruvete s-au făcut două descărcări determinându-se de fiecare dată modulul de elasticitate  $E$ .

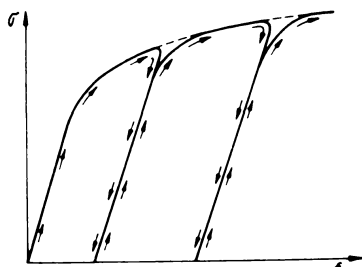


fig.3.4.3  
Aspectul curbelor  
la încărcări și descărcări  
repetate

Se observă din fig.3.4.5 că în intervalul de temperatură

$$\Theta \in [300^\circ, 345^\circ]$$

respectiv pentru  $\Theta > 415^\circ$  modulul de elasticitate descrește iar intervalul

$$\Theta \in [345^\circ, 415^\circ]$$

rămâne practic constant.

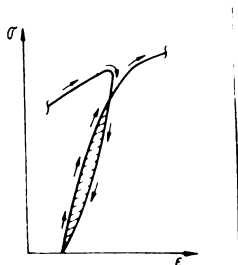


fig.3.4.4  
Histerezisul curbelor  
la încărcare - descărcare  
observat la temperaturi  
ridicate ( $450^\circ\text{C}$ )

Tinind seama de dificultățile ca s-ar întâmpina la transpunere analitică a acestei forme a curbei de variație a modulu-lui de elasticitate s-a acceptat o variație liniară determinată ca o dreaptă de regresie având ecuația:

$$E = 1732900 - 1167,8 \cdot \theta \quad (3.4.1)$$

In fig.3.4.5 această dreaptă este trasată cu linie întreruptă.

In cazul coeficientului de dilatare liniară  $\beta$  s-a utilizat tabelul 3 pg.532 din [64] unde se dă variația în mm a unui metru de bară de oțel sudabil (unde a fost incadrat oțelul OLK 2) atunci cînd temperatura variază de la 0 la  $100^{\circ}\text{C}$ , dela 0 la  $200^{\circ}\text{C}$  ... de la 0 la  $700^{\circ}\text{C}$ . In tabelul 3.4.2 se reproduc aceste valori. Cu ajutorul lor s-a stabilit coeficientul de dilatare mediu pe intervale  $0 - 100^{\circ}\text{C}$ ,  $0 - 200^{\circ}\text{C}$  ...  $0 - 700^{\circ}\text{C}$  trecute în acelaș tabel.

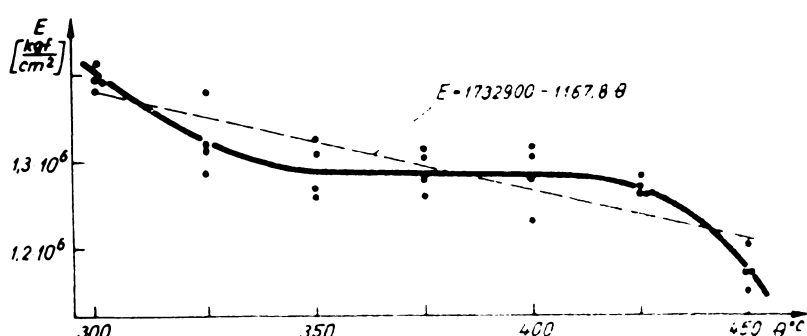


fig.3.4.5  
Variația modulului de elasticitate  
cu temperatura la oțelul OLK 2

In diagrama din fig.3.4.6 s-a trasat variația coeficien-tului de dilatare  $\beta$  cu temperatura. Valorile corespunzătoare tabelului 3.4.2 au fost plasate la jumătatea intervalului de tem- peratură ținind seama că sint valori medii.

Se observă alinierea foarte apropiată de o dreaptă a aces-tor puncte. Scriindu-se ecuația dreptei prin puncte se obține:

$$\frac{\beta = 12,2 \cdot 10^{-6}}{17,8 \cdot 10^{-6} - 12,2 \cdot 10^{-6}} = \frac{\theta = 50}{650 - 50} \quad (3.4.2)$$

sau după calculele ecuația:

$$\beta = (11,733 + 0,00933 \theta) \cdot 10^{-6} \quad (3.4.3)$$

Tabelul 3.4.2

Domeniul de variație al temperaturii °C	Variatăția în mm a unui metru ce bară	Coeficientul de dilatare liniară mediu β m/m
0 - 100	1,22	12,2 · 10 <sup>-6</sup>
0 - 200	2,53	13,1 · 10 <sup>-6</sup>
0 - 300	3,93	14,0 · 10 <sup>-6</sup>
0 - 400	5,43	15,0 · 10 <sup>-6</sup>
0 - 500	7,02	15,9 · 10 <sup>-6</sup>
0 - 600	8,71	16,9 · 10 <sup>-6</sup>
0 - 700	10,49	17,8 · 10 <sup>-6</sup>

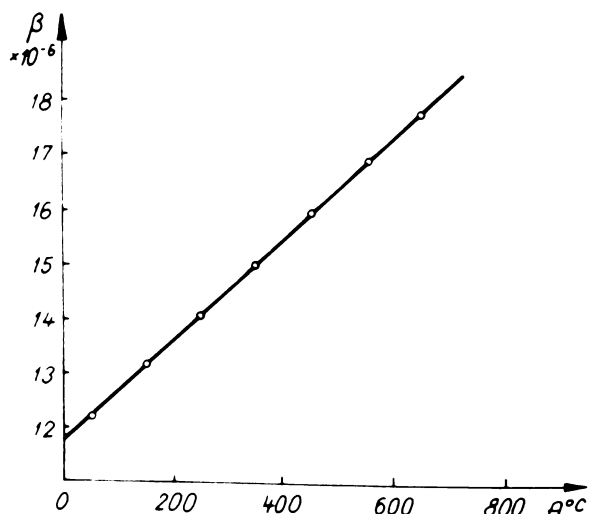


fig.3.4.6

Variatia coeficientului de dilatare liniară cu temperatura la fierul tehnic

După [61] coeficientul de convecție  $\alpha$  în cazul unor cilindrii ce se răcesc prin suprafața laterală este dat de relația:

$$= C \left( \frac{\theta_p - \theta_0}{d} \right)^{\frac{1}{4}} \quad \text{în} \quad \left[ \frac{\text{kcal}}{\text{m}^2 \text{ h } ^\circ\text{C}} \right] \quad (3.4.3)$$

unde

$\theta_p$  - temperatura suprafeței cilindrului în  $^{\circ}\text{C}$

$\theta_o$  - temperatura aerului la distanță mare de suprafața cilindrului în  $^{\circ}\text{C}$

d - diametrul cilindrului în m

C - constantă ce se determină din tabelul 3.4.3 preluat tot după [61] în funcție de:

$$\alpha_m = \frac{\theta_p - \theta_o}{2}$$

Tabelul 3.4.3

$\theta_m$ $^{\circ}\text{C}$	0	50	100	200	300	400	500
C	1,19	1,13	1,10	1,01	0,95	0,90	0,85

Se remarcă o variație relativ mică a constantei C cu  $\theta_m$ .

Dacă se admite o variație de temperatură de la  $450^{\circ}\text{C}$  la  $300^{\circ}\text{C}$  la diametrul epruvei de 0,01 m atunci:

$$\alpha = 12,33 \frac{\text{kcal}}{\text{m}^2 \text{h} ^{\circ}\text{C}} = 14,34 \frac{\text{W}}{\text{m}^2 ^{\circ}\text{C}}$$

pentru  $C = 1,115$  determinat din tabelul 3.4.3

la  $\theta_m = 75^{\circ}\text{C}$  (media între 1,13 și 1,10)

Pă măsură însă ce epruveta se răcește valoarea diferenței  $\theta_p - \theta_o$  scade și deci scade și coeficientul  $\alpha$  tinzind spre zero.

De aceea se va analiza modul în care variază  $\alpha$  cu diferența de temperatură pe intervalul considerat ( $450 \dots 300^{\circ}\text{C}$ ).

In diagrama din fig.3.4.7 se prezintă această variație. Se remarcă faptul că pentru diferențe de temperatură între suprafața cilindrului de  $50^{\circ}\text{C}$  pînă la  $150^{\circ}\text{C}$ ,  $\alpha$  variază relativ puțin adică de la 9,74 la 14,34.

Tinînd seama de dificultățile ce s-ar întîmpina la rezolvarea ecuației transcendentă 3.3.3 considerindu-se  $\alpha$  variabil, se va utiliza o valoare medie:

$$\alpha_m = \frac{14,34 + 9,74}{2} = 12,04 \frac{\text{W}}{\text{m}^2 ^{\circ}\text{C}}$$

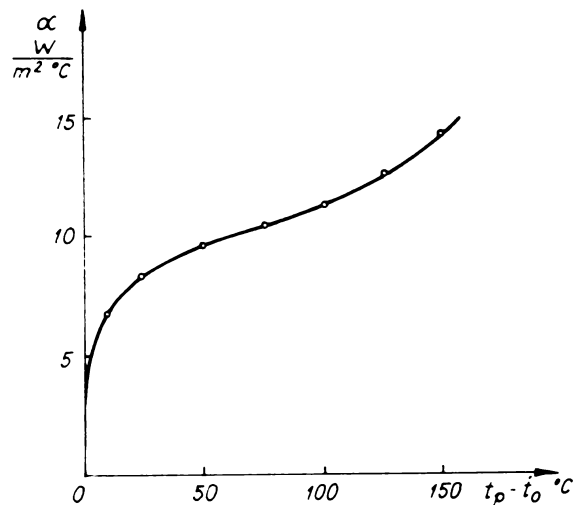


fig.3.4.7

Variatia coeficientului de convecție  $\alpha$  cu temperatură

Nu s-au luat în considerare valori mai mici ale diferenței de temperatură deoarece gradienții de temperatură din epruvetă (care determină nivelul tensiunilor termice) au valori maxime la începutul răcirii, cind  $\theta_p - \theta_o$  este mare. Asimilându-se oțelul OIK 2 cu fierul tehnic (conținutul de carbon este redus) după [61] conductibilitatea  $\lambda$  are valoarea:

$$\lambda = 1,163 \text{ (40 ... 50)} \frac{\text{W}}{\text{m}^{\circ}\text{C}}$$

se acceptă valoarea medie

$$\lambda_m = 1,163 \cdot 45 = 52,3 \frac{\text{W}}{\text{m}^{\circ}\text{C}}$$

Coefficientul relativ de transfer  $h$  va fi:

$$h = \frac{\alpha_m}{\lambda_m} = \frac{12,54}{52,3} = 0,24 \frac{1}{\text{m}}$$

Si factorul

$$h \cdot R = 0,24 \cdot 0,005 = 0,0012$$

Valoarea difuzibilității termice a este:

$$a = \frac{\lambda}{\rho c} = \frac{52,3}{7,8 \cdot 10^3 \cdot 460} = 1,456 \cdot 10^{-5} \frac{\text{m}^2}{\text{s}}$$

Aplicîndu-se pentru aceste valori programul TENSTERM s-a stabilit variația în timp a tensiunii pe secțiunea transversală a epruvetei. În fig.3.4.8 se prezintă această variație pentru cele 10 fișii considerate. Se remarcă valori foarte mici ale variației tensiunii față de tensiunea  $\sigma_0$  aplicată inițial ( $922 \text{ kgf/cm}^2$ ).

Se poate deci trage concluzia că la răciri în aer liber, neforțate, tensiunile termice ce apar se pot neglija.

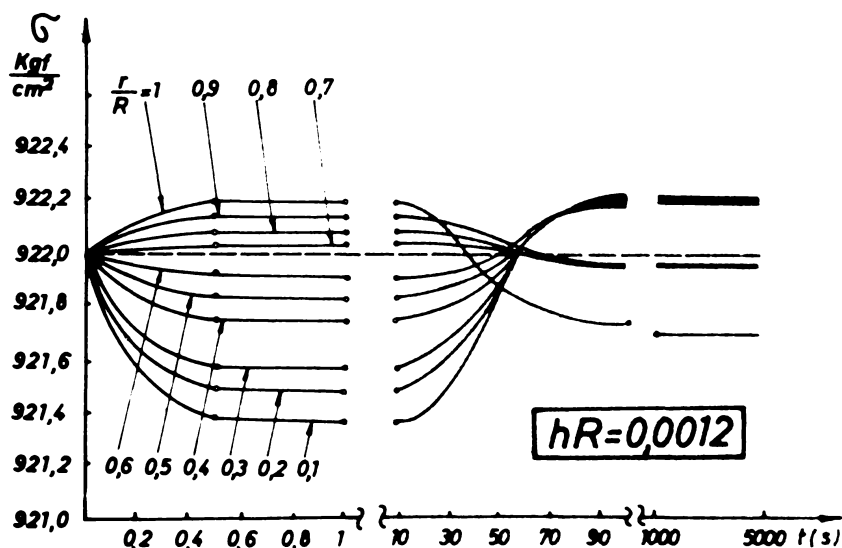


fig.3.4.8  
Variația în  
timp a tensiu-  
nii pe secțiun-  
ea transver-  
sală a epruve-  
tei pentru  
 $hR = 0,0012$

În consecință încercările de fluaj cu temperatură varia-  
bilă executate cu un cupitor cu două domenii de temperatură sau vă-  
cărit periodic, pot fi considerate numai la temperatură variabilă.

Pentru a se analiza influența vitezei de răcire asupra ve-  
riației în timp a cîmpului tensiunilor pe secțiunea transversală  
a epruvetei s-au considerat diferite valori pentru produsul  $hR$  și  
anumite: 0,001, 0,01, 0,1, 1 și 5 aplicîndu-se de fiecare dată  
programul TENSTERM pentru o singură răcire.

In fig.3.4.9; 3.4.10; 3.4.11; 3.4.12; 3.4.13 se prezintă  
diagramele acestor variații.

Se remarcă (ceea ce era de așteptat) modificarea tot mai  
accentuată a cîmpului tensiunilor pe secțiunea transversală a epru-  
vetei cu creșterea produsului  $h R$ .

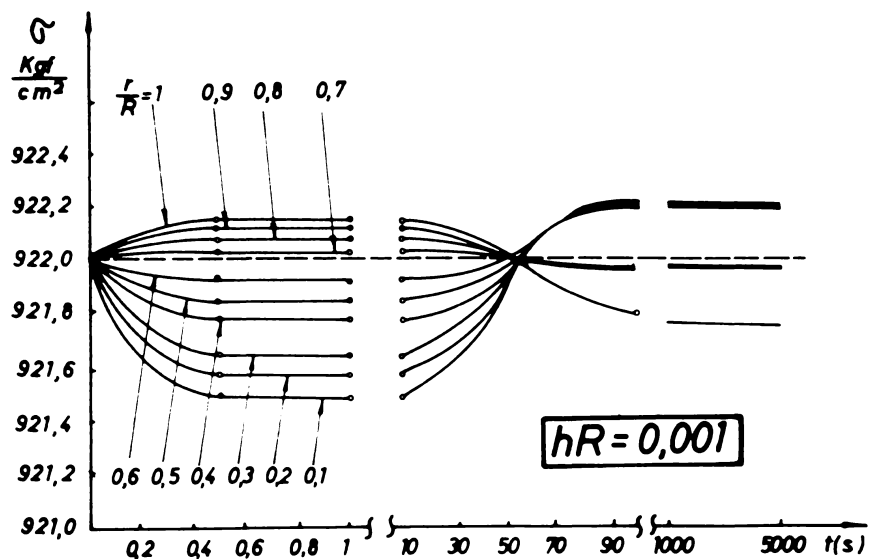


fig.3.4.9  
Variația în timp a tensiunii pe secțiunea transversală a epruvetei pentru  $hR = 0,001$

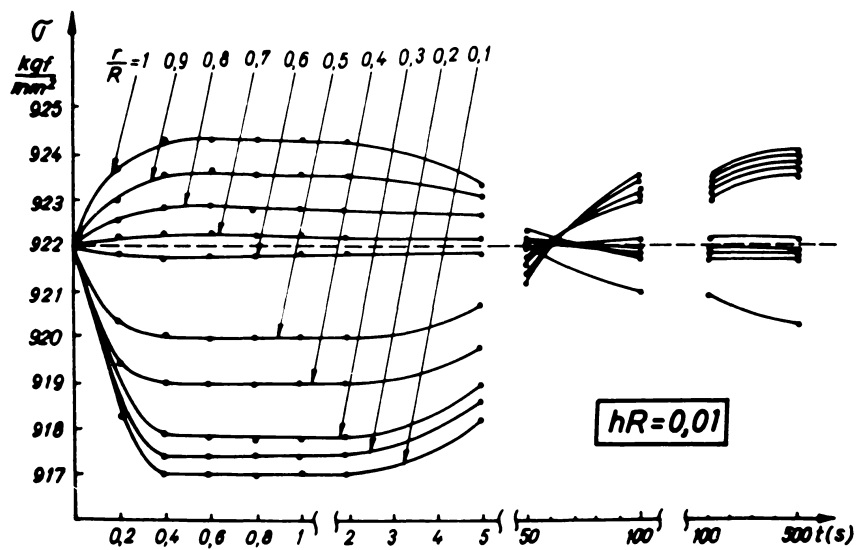


fig.3.4.10  
Variația în timp a tensiunii pe secțiunea transversală a epruvetei pentru  $hR = 0,01$

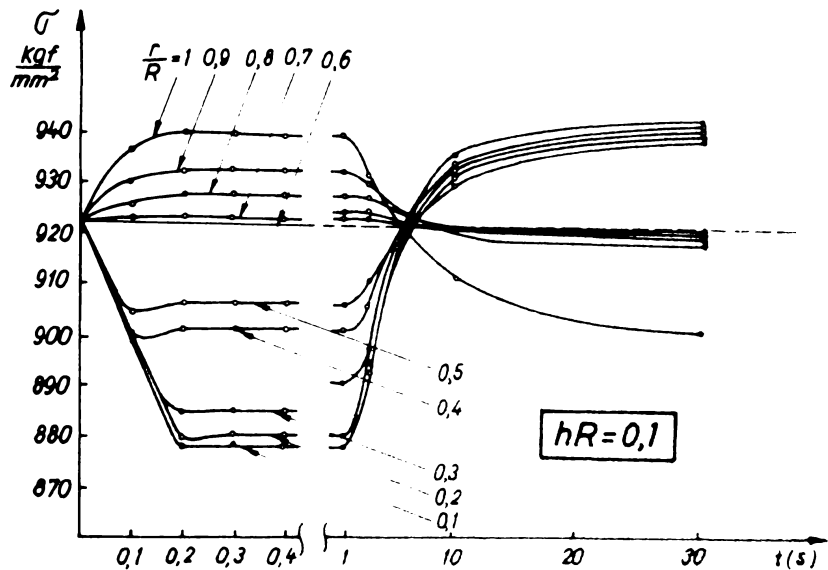


fig.3.4.11  
Variația în timp a tensiunii pe secțiunea transversală a epruvetei pentru  $hR = 0,1$

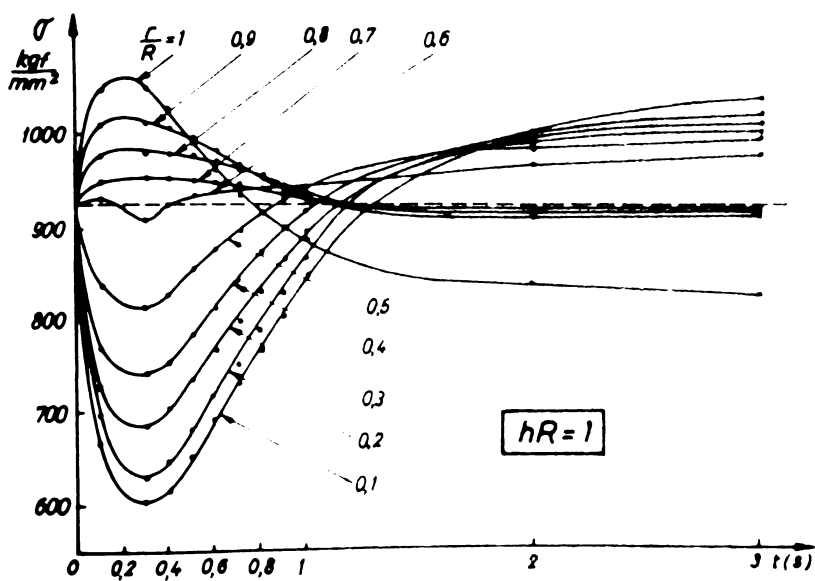
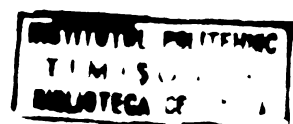


fig.3.4.12  
Variația în timp a tensiunii pe secțiunea transversală a epruvetei pentru  $hR = 1$



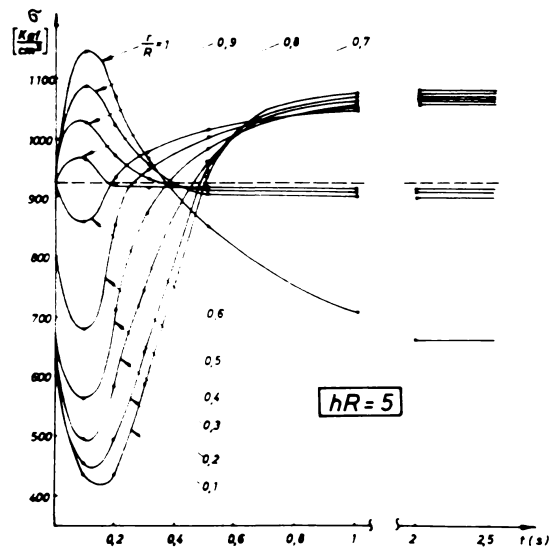


fig.3.4.13 . . .  
Variația în timp a tensiunii pe secțiunea  
transversală a epruvetei pentru  $hR = 5$

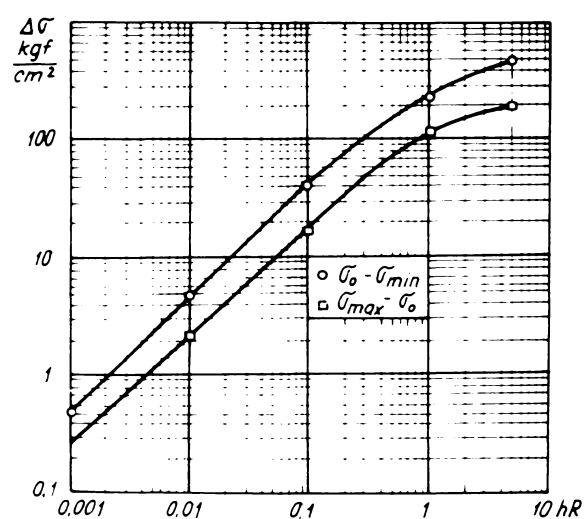


fig.3.4.14 . . .  
Variația diferenței  $\sigma_0 - \sigma_{min}$   
și  $\sigma_{max} - \sigma_0$  cu produsul  $hR$

In plus prezența deformațiilor plastice conduce la apariția unor tensiuni remanente, de compresiune, în fișile dinspre suprafață exterioară și de întindere înspre centrul epruvetei, după egalizarea temperaturii.

In diagrama din fig.3.4.14 s-a tracat în coordonate logaritmice variația tensiunii maxime pentru raportul  $r/R = 1$  și pentru  $r/R = 0,1$  în funcție de  $hR$ .

Se remarcă faptul că pînă la valori ale produsului  $hR = 0,02$  nivelul tensiunii maxime nu depășește 1% din nivelul tensiunii de bază. ( $922 \text{ kgf/cm}^2$ ).

In vederea comparării cîmpului de tensiune obținut cu ajutorul programului TENSTERM, în care s-a ținut cont de curbele caracteristice reale, cu cîmpul de tensiuni ce se obține în ipoteza comportării elastice a oțelului, s-a elaborat un program de calcul a acestor tensiuni bazat pe relația 3.1.17.

In fig.3.4.15.a, 3.4.15.b și 3.4.15.c, se prezintă schema logică utilizată. Calculul temperaturilor s-a făcut cu ajutorul programului de calcul prezentat în paragraful 3.3.

S-au folosit următoarele notări:

$I, J$  = variabilele  $i$  (ordinul fișei)  $j$  (intervalul de timp)

$E(I,J)$  = modulul de eforticitate  $E_{ij}$

BETA (I,J) = coeficientul de dilatare liniară  $\beta_{ij}$

DELTAT (I,J) =  $\Delta \theta_{ij}$

SIG (I,J) =  $\sigma_{ij}$

SIGO =  $\sigma_0$

$$\text{SIGMA (I,J)} = \sigma_0 + \sum_{q=1}^j \left\{ E_{iq} \left[ \beta_{iq} \Delta \theta_{iq} - \frac{\sum_{i=1}^n E_{iq} \beta_{iq} \Delta \theta_{iq} (2i-1)}{\sum_{i=1}^n E_{iq} (2i-1)} \right] \right\}$$

$$\text{SUMI (I,J)} = \sum_{i=1}^n E_{iq} \beta_{iq} \Delta \theta_{iq} (2i-1)$$

$$\text{SUMP (I,J)} = \sum_{i=1}^n E_{iq} (2i-1)$$

$$E_S = \frac{\text{SUMI}}{\text{SUMP}}$$

$$S = E_{iq} (\beta_{iq} \Delta \theta_{iq} - E_S)$$

$$\text{SUMS} = \sum_{q=1}^j \left\{ E_{iq} \left[ \beta_{iq} \Delta \theta_{iq} - \frac{\sum_{i=1}^n E_{iq} \beta_{iq} \Delta \theta_{iq} (2i-1)}{\sum_{i=1}^n E_{iq} (2i-1)} \right] \right\}$$

Variatia in timp a tensiunii pe sectiunea transversala a epruvetei pentru  $h/R = 0,001; 0,01; 0,1; 1; 5$  se prezinta in fig.3.4.16, 3.4.17, 3.4.18, 3.4.19, 3.4.20.

In fig.3.4.21 se prezinta in coordonate logaritmice dependenta variatiei tensiunii (pentru  $r/R = 0,1$  si  $r/R = 1$ ) de produsul  $h/R$  - cu linie plina pentru ipoteza comportarii elastice a materialului si cu linie intrerupta pentru ipoteza comportarii elastoplastice.

Se observa ca pe baza comportarii elastice se obtin tensiuni de intindere evident mai mari. Diferenta dintre tensiunile calculate in baza celor doua ipoteze este cu atit mai mare cu cat produsul  $h/R$  este mai mare. Deci aprecierea tensiunilor termice, la viteze mari de raccire, pe baza ipotezei elasticitatii materialului conduce la erori mari, ceea ce ingreunaaza aprecierea rezultatelor experimentale la fluajul cu temperatura variabila.

In plus starea de tensiune pe sectiune la finalul raccirii este neuniforma, in fisiile din exterior tensiunea fiind mai mica decat cea nominala ( $9,22 \text{ kgf/mm}^2$ ) iar in cele din interior mai mare. In consecinta dupa reincalzire fluajul pe sectiune este neuniform fiind mai accelerat in fisiile din interior. Evident ca dupa un interval de timp datorita deformatiilor plastice provocate de fluaj tensiunile pe sectiune se redistribuie diferențele fara de tensiunea nominala  $\sigma_0$  masurindu-se. Este interesant de analizat cazul variațiilor rapide de temperatură cind apar diferențe mari de tensiune pe sectiune și care influențează semnificativ procesul de fluaj. In paragraful ce urmează se va trata această problemă evidențindu-se tot odată că după aplicarea șocului termic se produce o creștere a deformării plastice a epruvetei.

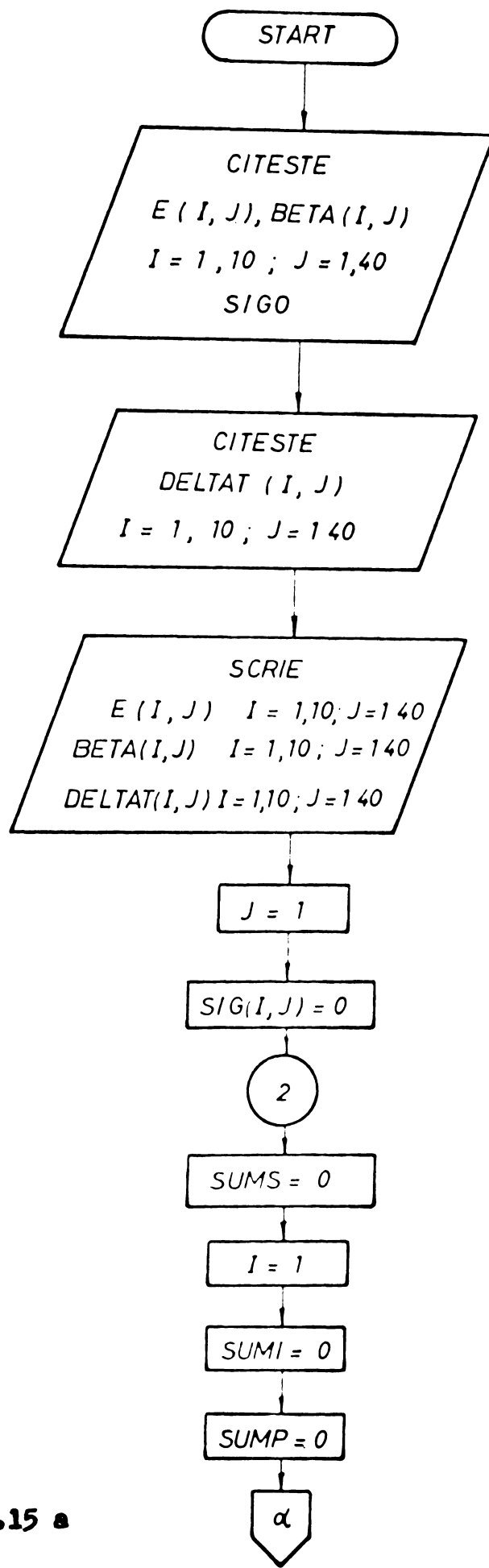


fig.3.4.15 a

Schema logică a programului de calcul a tensiunilor pe secțiunea transversală a epruvei în ipoteza comportării elastice a materialului

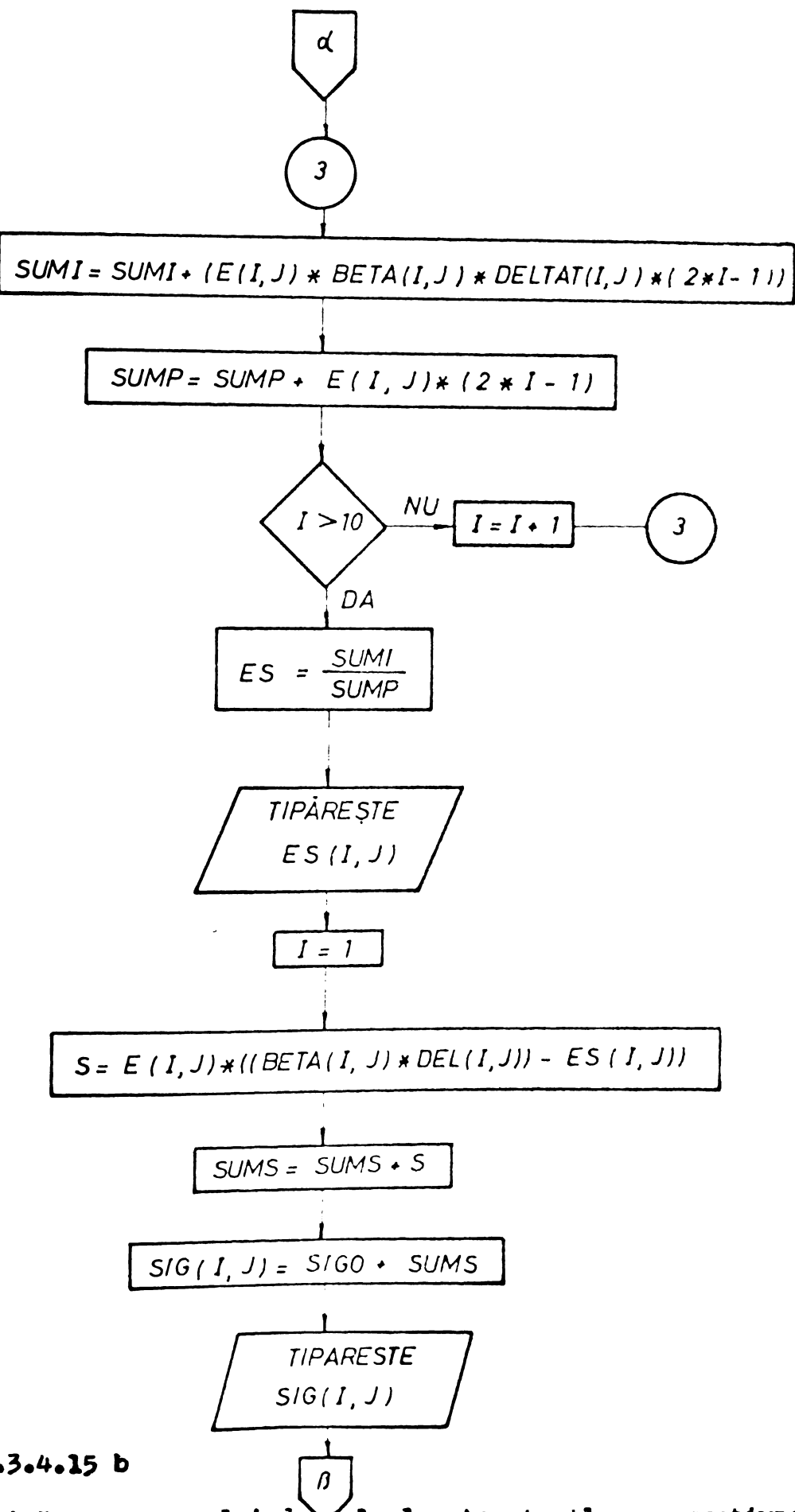


fig.3.4.15 b

**Schemă logică a programului de calcul a tensiunilor pe secțiunea transversală a epruvei în ipoteza comportării elastice a materialului**

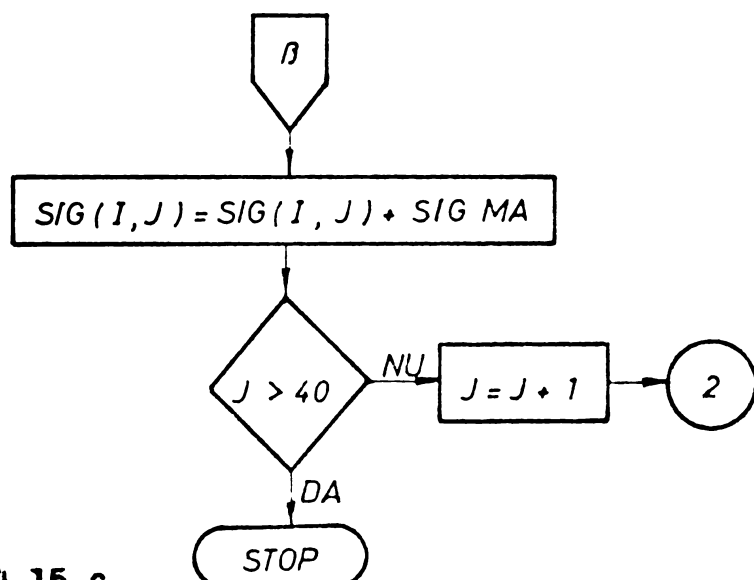


fig.3.4.15 c

Schema logică a programului de calcul a tensiunilor pe secțiunea transversală a epruvetei în ipoteza comportării elastice a materialului.

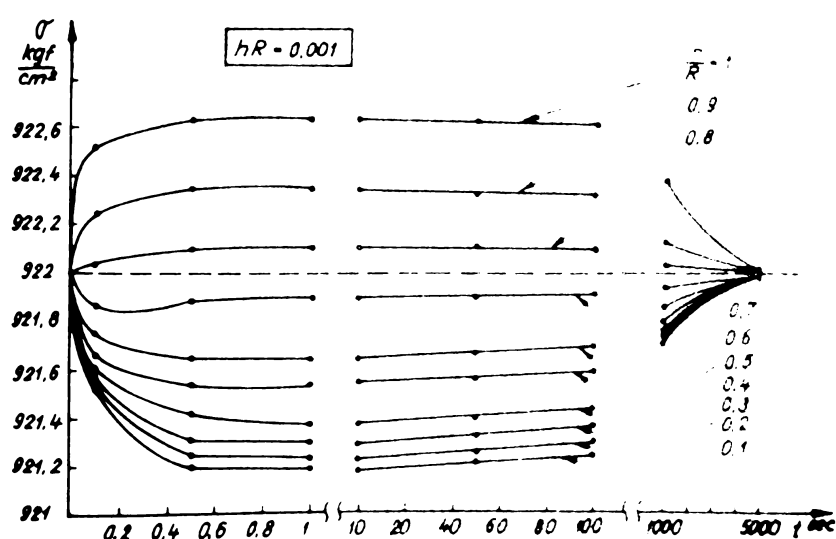


fig.3.4.16

Variatia în timp a tensiunii pe secțiunea transversală a epruvetei pentru  $hR = 0,001$  în ipoteza comportării elastice a materialului

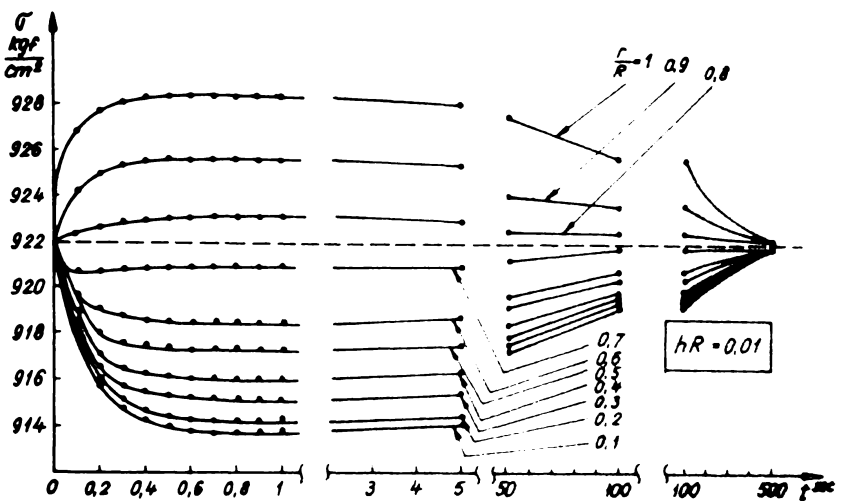


fig.3.4.17

Variatia in timp a tensiunii pe sectiunea transversala a epruvetei pentru  $hR = 0,01$  in ipoteza comportarii elastice a materialului

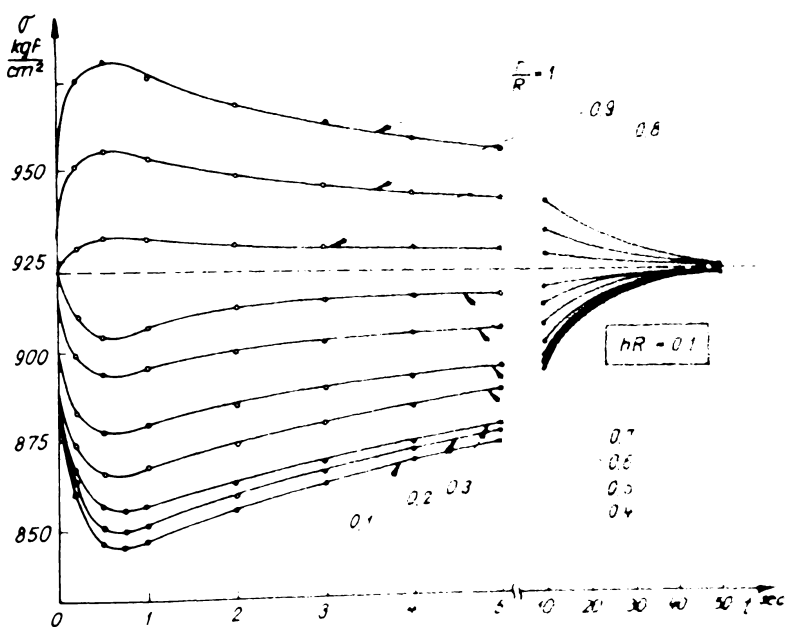


fig.3.4.18

Variatia in timp a tensiunii pe sectiunea transversala a epruvetei pentru  $hR = 0,1$  in ipoteza comportarii elastice a materialului

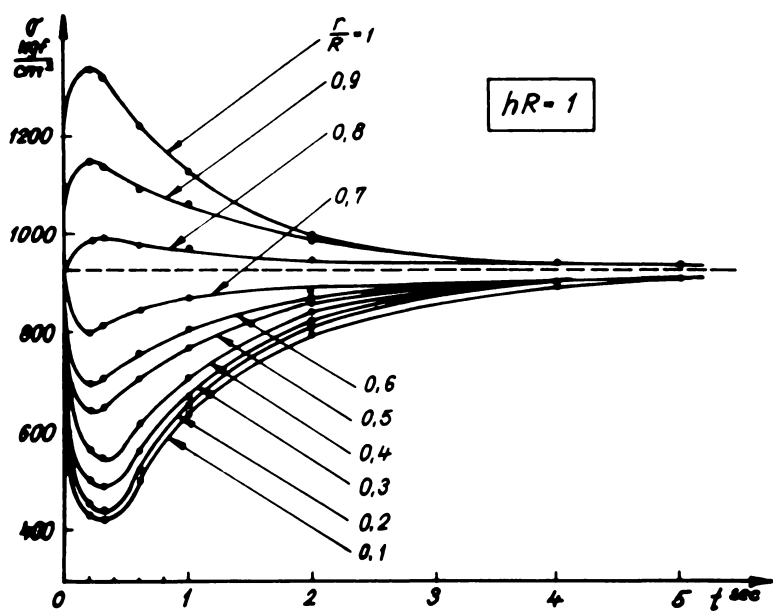


fig.3.4.19

Variatia in timp a tensiunii pe sectiunea transversala a epruvetei pentru  $hR = 1$  in ipoteza comportarii elastice a materialului

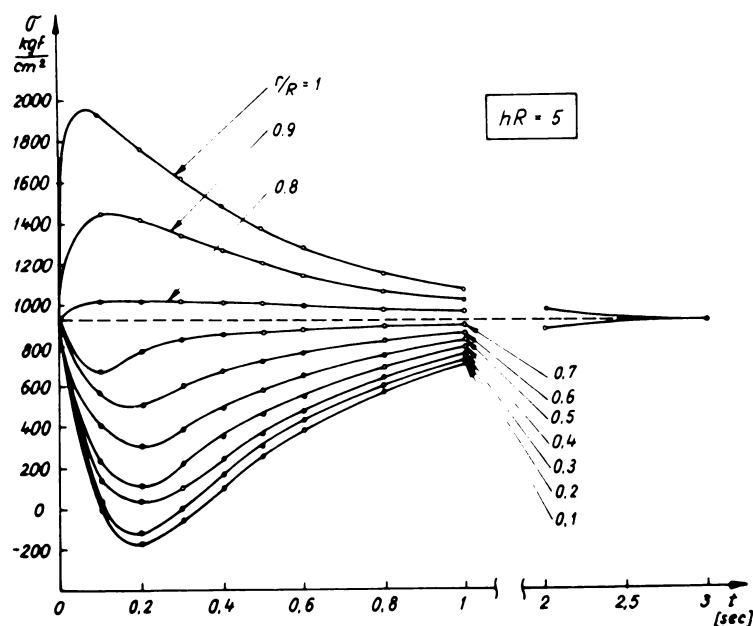


fig.3.4.20

Variatia in timp a tensiunii pe sectiunea transversala a epruvetei pentru  $hR = 5$  in ipoteza comportarii elastice a materialului

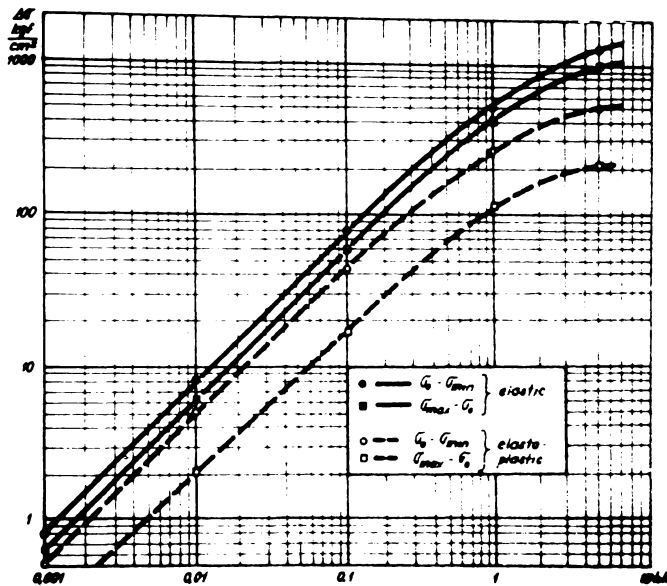


fig.3.4.21

Variatia diferențelor  $\delta_0 - \delta_{\min}$  și  $\delta_{\max} - \delta_{\min}$ , cu produsul  $hR$  în ipoteza comportării elastice și elastoplastice a materialului

### 3.5. Influenta variatiilor rapide de temperatură asupra comportării la fluaj.

Așa cum s-a aratat în paragraful 3.4 în urma unor variații rapide de temperatură, a mediului ce înconjoară epruveta (șoc termic), în aceasta apar deformații permanente ce determină în final apariția pe secțiune a unei distribuții neuniforme de tensiune (fig.3.5.1). Cu  $\sigma_0$  s-a notat tensiunea ce corespunde

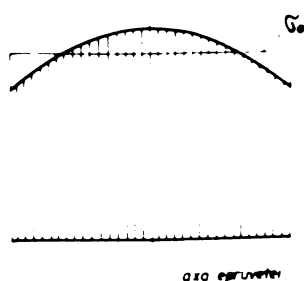


fig.3.5.1

Distribuția tensiunii pe secțiunea transversală a epruvei la sfîrșitul șocului termic.

incărcării exterioare a probei. Presupunând că refincălzirea se face mai lent, gradientii de temperatură vor fi mici și deci și tensiunile termice ce apar vor fi mici. În consecință este de așteptat că această distribuție de tensiune pe secțiunea transversală, să fie regăsită și la atingerea temperaturii nominale de incercare la fluaj. (Bineînțeles se neglijeză fluajul probei în timpul perioadei de refincălzire, ceea ce nu introduce o eroare prea mare fiind vorba de minute, comparativ cu zeci de ore sau sute de ore, durata incărcării de fluaj). Până la aplicarea următoărui soc termic, fluajul se produce la tensiune variabilă în fiecare punct al secțiunii.

Dacă se împarte din nou epruveta în  $n$  fisi inelare care pentru început se acceptă că lucrează independent atunci la sfîrșitul răciri situată s-ar prezenta ca în fig. 3.5.2.

Deoarece fisiiile lucrează împreună se va atinge în final o lungime medie  $l_{m0}$ , cuprinsă între  $l_{l0}$  și  $l_{n0}$ . Această lungime mai poate fi exprimată ca

$$l_{m0} = l_{l0} + k_0 (l_{n0} - l_{l0}) \quad (3.5.1)$$

unde  $k_0$  este un coeficient cuprins între 0 și 1. Tinind seama că procesul se desfășoară de data aceasta la temperatură scăzută, limita de elasticitate este mai mare și deci comportarea materialului este elastică. Deci:

$$\Delta \sigma_{l0} = \Delta \varepsilon_{l0} \cdot E_0 \quad (3.5.2)$$

unde  $\Delta \sigma_{l0}$  este variația de tensiune față de  $\sigma_0$  și  $\Delta \varepsilon_{l0}$  variația alungirii în fișia de ordinul  $i$ .  $E_0$  este modulul de elasticitate la temperatura inferioară a ciclului răcire-încălzire.

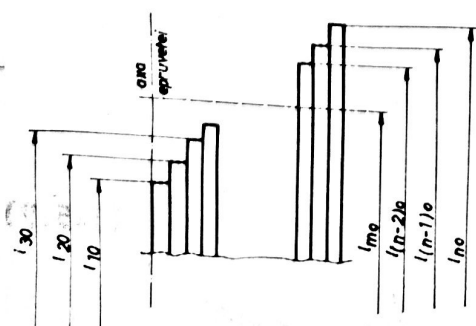


fig. 3.5.2  
Situată fisilor inelare la sfîrșitul răciri în ipoteza că lucrează independent

Dar

$$\Delta \varepsilon_{io} = \frac{l_{mo} - l_{lo}}{l_{mo}} = \frac{l_{lo} + k_0 (l_{no} - l_{lo}) - l_{lo}}{l_{lo} + k_0 (l_{no} - l_{lo})} \quad (3.5.3)$$

Inlocuind în 3.5.2 se obține:

$$\Delta \varepsilon_{lo} = \frac{k_0 (l_{no} - l_{lo}) - (l_{lo} - l_{lo})}{l_{lo} + k_0 (l_{no} - l_{lo})} E_0 \quad (3.5.4)$$

Tinând seama de relația 3.1.13 care devine:

$$\sum_{i=1}^n (2i - 1) \Delta \varepsilon_{io} = 0 \quad (3.5.5)$$

Se poate obține valoarea lui  $k_0$

$$k_0 = \frac{(n^2 - 1) \Delta \varepsilon_{lo} - \sum_{i=1}^n (2i - 1) \Delta \varepsilon_{io}}{2 n (\Delta \varepsilon_{lo} - \Delta \varepsilon_{no})} \quad (3.5.6)$$

Dar din relația 3.5.1 rezultă

$$l_{mo} - l_{lo} = k_0 (l_{no} - l_{lo})$$

Impărțind cu  $l_{mo}$  se obține:

$$\frac{l_{mo} - l_{lo}}{l_{mo}} = k_0 \cdot \frac{l_{no} - l_{lo}}{l_{mo}}$$

dar

$$\frac{l_{mo} - l_{lo}}{l_{mo}} = \Delta \varepsilon_{lo}$$

iar

$$\frac{l_{no} - l_{lo}}{l_{mo}} = \frac{\sigma_{lo} - \sigma_{no}}{E}$$

deci

$$\Delta \varepsilon_{lo} = k_0 \frac{\sigma_{lo} - \sigma_{no}}{E} \quad (3.5.7)$$

Alungirea totală a probei (elastică) va fi:

$$\varepsilon_{0e} = \varepsilon_{10} + \Delta\varepsilon_{10} = \frac{\delta_{10}}{E} + k_0 \frac{\delta_{10} - \delta_{no}}{E} = \frac{\delta_{10}}{E} (1 + k_0 \frac{\delta_{10} - \delta_{no}}{\delta_{10}}) \quad (3.5.8)$$

In continuare se dezvoltă procesul de fluaj dar la o distribuție neuniformă a tensiunii pe secțiune. Evident fisiile din centrul probei care se află la o tensiune mai mare vor avea și viteza de fluaj mai mare, iar cele dela margine unde tensiunea este mai mică vor avea o viteză de fluaj mai mică. Datorită deformațiilor plastice provocate de fluaj, deformațiile elastice care au provocat neuniformitatea distribuției tensiunilor se micșorează și deci se produce o redistribuire a tensiunilor pe secțiunea transversală.

Se vor considera intervale de timp  $\Delta t_j$  în care se acceptă că fluajul se produce în fiecare fișie la tensiune constantă, apoi se va calcula noua distribuție a tensiunilor. Din nou se va admite fluaj la tensiune constantă în fiecare fișie (evident la noul nivel al tensiunilor) și.a.m.d. Desigur cu cît intervalele de timp considerate vor fi mai mici cu atât precizia calculului va fi mai mare.

După primul interval de timp  $\Delta t_1$  în fiecare fișie va apărea o lungire de fluaj  $\Delta l_{fil}$  și lungimea medie va fi  $l_{m1}$  (fig.3.5.3).

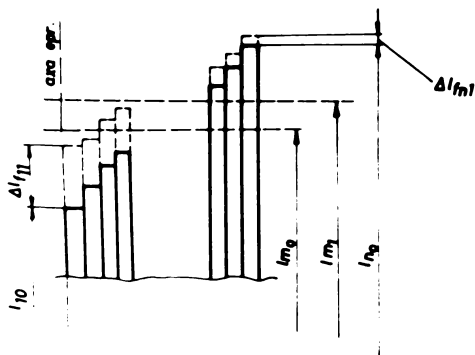


fig.3.5.3

Situatia fisiielor inelare după prima perioadă de fluaj, în intervalul de timp  $\Delta t_1$ , în ipoteza că lucrează independent

Evident:

$$l_{11} = l_{10} (1 + \Delta\varepsilon_{fil}) \quad (3.5.9)$$

unde:

$l_{11}$  - lungimea fisiei de ordinul 1 după intervalul de timp  $t_1$

$l_{10}$  - lungimea inițială a fisiei de ordinul 1

$\Delta \varepsilon_{fil}$  - alungirea fiziei de ordinul i după intervalul de timp  $\Delta t_1$  datorită fluajului.

Lungimea medie  $l_{ml}$  (fig. 3.5.2) va fi

$$l_{ml} = l_{11} + k_1 (l_{nl} - l_{11}) \quad (3.5.10)$$

unde  $k_1$  este un coeficient cuprins între 0 și 1.

Datorită deformației plastice produsă de fluaj cîmpul de tensiune tinde să se niveleze, diferențele dintre tensiunile fiecărei fizii și  $\sigma_0$  micșorindu-se. Se impune din nou condiția că fizile lucrează împreună și deci alungirea fiziei de ordinul i față de lungimea medie va fi

$$\Delta \varepsilon_{il} = \frac{l_{ml} - l_{11}}{l_{ml}} \quad (3.5.11)$$

Tinînd seama de relațiile 3.5.9 și 3.5.10 relația 3.5.11 devine:

$$\Delta \varepsilon_{il} = \frac{l_{10}(1+\Delta \varepsilon_{f_{11}}) + k_1 [l_{no}(1+\Delta \varepsilon_{f_{n1}}) - l_{10}(1+\Delta \varepsilon_{f_{11}})] - l_{10}(1+\Delta \varepsilon_{f_{i1}})}{l_{10}(1+\Delta \varepsilon_{f_{11}}) + k_1 [l_{no}(1+\Delta \varepsilon_{f_{n1}}) - l_{10}(1+\Delta \varepsilon_{f_{11}})]}$$

sau grupîndu-se în alt mod termenii:

$$\Delta \varepsilon_{il} = \frac{(l_{10} - l_{10}) + (l_{10} \Delta \varepsilon_{f_{11}} - l_{10} \Delta \varepsilon_{f_{i1}}) + k_1 [(l_{no} - l_{10}) + (l_{no} \Delta \varepsilon_{f_{n1}} - l_{10} \Delta \varepsilon_{f_{11}})]}{l_{10}(1+\Delta \varepsilon_{f_{11}}) + k_1 [l_{no}(1+\Delta \varepsilon_{f_{11}}) - l_{10}(1+\Delta \varepsilon_{f_{11}})]}$$

făcîndu-se artificial:

$$l_{10} - l_{10} = l_{mo} - l_{10} - (l_{mo} - l_{10})$$

respectiv

$$l_{no} - l_{10} = l_{no} - l_{10} - (l_{mo} - l_{no})$$

și împărțind și numitorul și numărătorul cu  $l_{mo}$  se obține:

$$\Delta \varepsilon_{il} = \frac{(\Delta \varepsilon_{10} - \Delta \varepsilon_{10}) + \left( \frac{l_{10}}{l_{mo}} \Delta \varepsilon_{f_{11}} - \frac{l_{10}}{l_{mo}} \Delta \varepsilon_{f_{i1}} \right) + k_1 \left[ (\Delta \varepsilon_{no} - \Delta \varepsilon_{10}) + \left( \frac{l_{no}}{l_{mo}} \Delta \varepsilon_{f_{n1}} - \frac{l_{10}}{l_{mo}} \Delta \varepsilon_{f_{11}} \right) \right]}{\frac{l_{10}}{l_{mo}} + k_1 \Delta \varepsilon_{no} + k_1 \frac{l_{no}}{l_{mo}} \Delta \varepsilon_{f_{n1}} + (1-k_1) \frac{l_{10}}{l_{no}} \Delta \varepsilon_{f_{11}}}$$

ținind seama că  $\Delta \varepsilon_{f_{il}} \ll 1$  și că  $\frac{\varepsilon_{10}}{l_{no}} = 1$  se obține

$$\Delta \varepsilon_{i1} = (\Delta \varepsilon_{i0} - \Delta \varepsilon_{10}) + (\Delta \varepsilon_{f_{11}} - \Delta \varepsilon_{f_{i1}}) + k_1 [(\Delta \varepsilon_{fn1} - \Delta \varepsilon_{f_{11}}) - (\Delta \varepsilon_{no} - \Delta \varepsilon_{10})] \quad (3.5.12)$$

Dar

$$\Delta \varepsilon_{10} = \frac{\Delta \delta_{10}}{E_t} \quad (3.5.13)$$

unde  $E_t$  este modulul de elasticitate la temperatura la care se produce fluajul, iar  $\Delta \delta_{10}$  diferența dintre tensiunea inițială  $\delta_{10}$  (din fișia de ordinul i) și  $\delta_0$ .

Folosind 3.5.13 relația 3.5.12 devine:

$$\Delta \varepsilon_{i1} = \frac{\Delta \delta_{i0} - \Delta \delta_{10}}{E_t} + (\Delta \varepsilon_{f_{11}} - \Delta \varepsilon_{f_{i1}}) + k_1 [(\Delta \varepsilon_{fn1} - \Delta \varepsilon_{f_{11}}) - \frac{\Delta \delta_{no} - \Delta \delta_{10}}{E_t}] \quad [3.5.14]$$

Se înmulțește relația 3.5.14 cu  $E_t$  și se obține:

$$\Delta \delta_{i1} = \Delta \delta_{i0} - \Delta \delta_{10} + (\Delta \varepsilon_{f_{11}} - \Delta \varepsilon_{f_{i1}}) E_t + k_1 [(\Delta \varepsilon_{fn1} - \Delta \varepsilon_{f_{11}}) E_t - (\Delta \delta_{no} - \Delta \delta_{10})] \quad [3.5.15]$$

In vederea determinării coeficientului  $k_1$  se impune condiția 3.1.13:

$$\sum_{i=1}^n \left\{ \Delta \delta_{i0} - \Delta \delta_{10} + (\Delta \varepsilon_{f_{11}} - \Delta \varepsilon_{f_{i1}}) E_t + k_1 [(\Delta \varepsilon_{fn1} - \Delta \varepsilon_{f_{11}}) E_t - (\Delta \delta_{no} - \Delta \delta_{10})] \right\} = 0$$

de unde rezultă:

$$k_1 = - \frac{\sum_{i=1}^n [\Delta \delta_{i0} - \Delta \delta_{10} + (\Delta \varepsilon_{f_{11}} - \Delta \varepsilon_{f_{i1}}) E_t] (2i-1)}{n^2 (\Delta \varepsilon_{fn1} - \Delta \varepsilon_{f_{11}}) E_t - (\Delta \delta_{no} - \Delta \delta_{10})} \quad (3.5.16)$$

Inlocuind în 3.5.15 se obține valoarea lui  $\Delta \delta_{i1}$

$$\Delta \delta_{i1} = (\Delta \delta_{i0} - \Delta \delta_{10}) + (\Delta \varepsilon_{f_{11}} - \Delta \varepsilon_{f_{i1}}) E_t - \frac{\sum_{i=1}^n [\Delta \delta_{i0} - \Delta \delta_{10} + (\Delta \varepsilon_{f_{11}} - \Delta \varepsilon_{f_{i1}}) E_t] \cdot (2i-1)}{n^2} \quad (3.5.17)$$

După scurzarea intervalului de timp  $\Delta t_1$  tensiunile se redistribuie pe secțiune și se consideră un nou interval de timp  $\Delta t_2$ , dealungul căruia fluajul în fiecare fâșie se produce la o tensiune  $\sigma_0 - \Delta\sigma_{ij}$  ce se va considera constantă pe tot acest nou interval de timp. Repetând raționamentul prezentat anterior se poate obține expresia diferenței de tensiune  $\sigma_{ij}$  (față de  $\sigma_0$ ) cu relația

$$\Delta\sigma_{ij} = \Delta\sigma_{i(j-1)} - \Delta\sigma_{1(j-1)} + \frac{\Delta\varepsilon_{f_{ij}} - \Delta\varepsilon_{f_{i(j-1)}}}{\Delta t} -$$

$$- \frac{\sum_{i=1}^n [\Delta\sigma_{i(j-1)} - \Delta\sigma_{1(j-1)} + \frac{\Delta\varepsilon_{f_{ij}} - \Delta\varepsilon_{f_{i(j-1)}}}{\Delta t}]^2}{n^2} \quad (3.5.18)$$

In vederea determinării deformărilor de fluaj  $\Delta\varepsilon_{f_{ij}}$  se acceptă valabilă ipoteza întăririi sub forma analitică 1.1.4, propusă de Davis

$$\dot{\varepsilon}_f \varepsilon_f^\beta = \alpha \sigma^\gamma$$

sau după integrare:

$$\varepsilon_f = [\alpha \sigma^\gamma (\beta+1) t]^{1/(\beta+1)}$$

Pentru determinarea constantelor  $\alpha$ ,  $\beta$  și  $\gamma$  se pune această relație sub altă formă:

$$\varepsilon_f = \alpha^{1/(\beta+1)} \cdot \sigma^{\frac{\gamma}{\beta+1}} \cdot (\beta+1)^{1/(\beta+1)} \cdot t^{1/(\beta+1)} \quad (3.5.19)$$

Se notează

$$\alpha^{1/(\beta+1)} \cdot (\beta+1)^{1/(\beta+1)} = q$$

$$\frac{\gamma}{\beta+1} = m \quad (3.5.20)$$

$$\frac{1}{\beta+1} = n$$

In aceste condiții 3.5.19 devine

$$\varepsilon_f = q \cdot \sigma^m \cdot t^n \quad (3.5.21)$$

Determinarea constantelor  $q$ ,  $m$ ,  $n$  se poate face ușor dacă se dispune de 2 curbe de fluaj ridicate la aceeași temperatură dar la tensiuni diferite ( $\sigma_1$  și  $\sigma_2$ ). Considerind aceeași tensiune (de exemplu  $\sigma_1$ ) și durete diferite  $t_1$  și  $t_2$  se obține:

$$\frac{\varepsilon'_{f1}}{\varepsilon'_{f2}} = \left(\frac{t_1}{t_2}\right)^n \rightarrow n = \frac{\ln \varepsilon'_{f1} - \ln \varepsilon'_{f2}}{\ln t_1 - \ln t_2} \quad (3.5.22)$$

Considerindu-se apoi acelaș timp  $t$  dar tensiuni diferite

$$\frac{\varepsilon'_{f1}}{\varepsilon'_{f2}} = \left(\frac{\sigma_1}{\sigma_2}\right)^m \rightarrow m = \frac{\ln \varepsilon'_{f1} - \ln \varepsilon'_{f2}}{\ln \sigma_1 - \ln \sigma_2} \quad (3.5.23)$$

Determinarea constantei  $q$  se poate face simplu pe baza unui singur punct ( $\varepsilon_f$ ,  $t$ ) al uneia din cele două curbe de fluaj cu ajutorul relației 3.5.21. Răsonamentul prezentat este valabil dacă curbele de fluaj sunt geometric asemenea. În realitate se observă abateri dela această regulă, constantele  $q$ ,  $m$  și  $n$  urmând a se determina ca valori medii pe baza a mai multor puncte ale curbelor ridicate la mai multe nivele de tensiune.

Valorile acestor constante pentru un oțel OLK2 stabilite pe baza curbelor medii de fluaj ridicate la tensiunile de 12, 14 și  $16 \text{ kgf/mm}^2$ , temperatura de  $450^\circ \text{C}$  și diferenții timpi dela începerea încercării sunt prezentate în tabelul 3.5.1. Se remarcă pentru  $n$ ,  $m$  și  $q$  valori destul de apropiate ceeaace permite să se ia în considerare în calcule valoarea medie a celor 9 determinări. Rezultă

$$n_{\text{med}} = 0,289 \quad m_{\text{med}} = 5,1738 \quad q_{\text{med}} = 3,1155 \cdot 10^{-10}$$

Tabelul 3.5.1

	$\frac{\text{kgf}}{\text{mm}^2}$	t [sec]	f	$n_1, n_2$ $n_3$		$\frac{\text{kgf}}{\text{mm}^2}$	t [sec]	f	$n_1, n_2$ $n_3$
12		10800	0,00190	0,2280			12	0,00190	5,1479
		36000	0,00250	0,2644		10800	14	0,00421	5,1269
		360000	0,00482	0,2833			16	0,00833	5,1026
14		10800	0,00421	0,3083			12	0,00250	4,7527
		36000	0,00520	0,2906		36000	14	0,00520	5,0226
		180000	0,00822	0,2830			16	0,01060	5,3340
16		3600	0,00362	0,2973			12	0,00403	4,6580
		18000	0,00585	0,3393	180000	14	0,00822	5,3251	
		36000	0,00740	0,3099			16	0,01850	6,0951
		t	f	$q_1, q_2$ $q_3$					
12		10800	0,00190	$3,38 \cdot 10^{-10}$					
		36000	0,00250	$3,15 \cdot 10^{-10}$					
		180000	0,00403	$3,16 \cdot 10^{-10}$					
14		10800	0,00421	$3,37 \cdot 10^{-10}$					
		36000	0,00520	$2,94 \cdot 10^{-10}$					
		180000	0,00822	$2,92 \cdot 10^{-10}$					
		3600	0,0036	$2,99 \cdot 10^{-10}$					
		18000	0,00585	$3,03 \cdot 10^{-10}$					
		36000	0,00740	$3,10 \cdot 10^{-10}$					

Obs.:

Valorile constantelor  $n$ ,  $m$  și  $q$  au fost determinate cu ajutorul relațiilor 3.5.21, 3.5.22 și 3.5.23 luându-se în considerare pentru aceeași tensiune sau același timp prima linie cu a doua ( $n_1, m_1, q_1$ ) prima linie cu a treia ( $n_2, m_2, q_2$ ) și a doua linie cu a treia ( $n_3, m_3, q_3$ )

Cu aceste valori ecuația 3.5.21 devine

$$\varepsilon_f = 3,1255 \cdot 5,1758 \cdot t^{0,289} \cdot 10^{-10} \quad (3.5.24)$$

unde  $t$  este exprimat în  $\text{kgf/mm}^2$  și  $t$  în sec.

In fig.3.5.4 se prezintă cu linie plină curbele de fluaj medii ridicate la cele 3 nivele de tensiune și la temperatura de  $450^\circ\text{C}$  pentru oțelul OLK2 și cu linie întreruptă aceleași curbe stabilite cu ecuația 3.5.24.

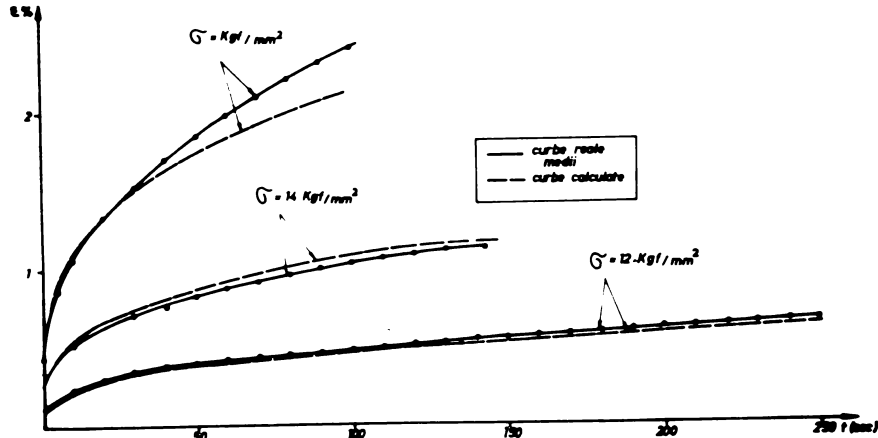


fig. 3.5.4

Curbele de fluaj medii reale și calculate pentru oțelul OLK2 la temperatura de  $450^{\circ}\text{C}$  și tensiunile de 12, 14 și 16  $\text{kgf/mm}^2$

In urma aplicării șocului termic epruveta suferă deformații plastice și ca atare lungimea ei crește. Cu ajutorul metodei iterative descrisă anterior s-a determinat repartiția în timp a tensiunii pe secțiunea transversală a epruvetei. Pe baza valorilor  $\Delta\sigma_{ij}$  determinate se pot stabili variatiile lungirii specifice  $\Delta\varepsilon_{ij}$  din curba caracteristică medie și utilizând relația 3.1.9 se poate determina  $k_j$ .

$$k_j = \frac{\Delta\varepsilon_{ij} + (\beta_{nj}\Delta\varepsilon_{nj} - \beta_{ij}\Delta\varepsilon_{ij})}{\beta_{nj}\Delta\varepsilon_{nj} - \beta_{ij}\Delta\varepsilon_{ij}} \quad (3.5.25)$$

Variatia alungirii medii a epruvetei se poate considera ca

$$\Delta\varepsilon_{mj} = \frac{l_{mj} - l_{m(j-1)}}{l_{m(j-1)}} \quad (3.5.26)$$

Sau ținind seama de relația 3.1.5 :

$$\Delta\varepsilon_{mj} = \frac{l_{nj} + k_j(l_{ij} - l_{nj}) - l_{n(j-1)} - k_{j-1}(l_{i(j-1)} - l_{n(j-1)})}{l_{m(j-1)}} \quad (3.5.26')$$

Dacă se consideră în relația (3.5.26'),  $l_{m(j-1)} \approx l_0$  (unde  $l_0$  este lungimea inițială a epruvetei sub sarcina  $F_0$ ) atunci se poate scrie:

$$\Delta \varepsilon_{mj} = \frac{l_{nj} - l_{n(j-1)}}{l_0} + k_j \frac{l_{lj} - l_{nj}}{l_0} - k_{j-1} \frac{l_{lj-1} - l_{n(j-1)}}{l_0}$$

făcindu-se artificiile:

$$\frac{l_{lj} - l_{nj}}{l_0} = \frac{l_{mj} - l_{nj}}{l_0} - (l_{mj} - l_{lj}) = \Delta \varepsilon_{nj} - \Delta \varepsilon_{ij}$$

$$\frac{l_{lj-1} - l_{n(j-1)}}{l_0} = \frac{l_{mj-1} - l_{n(j-1)}}{l_0} - (l_{mj-1} - l_{lj-1}) = \Delta \varepsilon_{n(j-1)} - \Delta \varepsilon_{ij-1}$$

și ținând cont că

$$\frac{l_{nj} - l_{n(j-1)}}{l_0} = \frac{l_{mj-1}(1 - \beta_{nj} \Delta \Theta_{nj}) - l_{n(j-1)}}{l_0} =$$

$$= \frac{l_{mj-1} - l_{n(j-1)} - l_{mj-1} \beta_{nj} \Delta \Theta_{nj}}{l_0} = \Delta \varepsilon_{n(j-1)} - \beta_{nj} \Delta \Theta_{nj}$$

rezultă

$$\Delta \varepsilon_{mj} = \Delta \varepsilon_{n(j-1)} - \beta_{nj} \Delta \Theta_{nj} + k_j (\Delta \varepsilon_{nj} - \Delta \varepsilon_{lj}) - k_{j-1} (\Delta \varepsilon_{n(j-1)} - \Delta \varepsilon_{lj-1}) \quad (3.5.27)$$

Relația 3.5.27 permite calculul variației în timp a lungimii specifice mediei a epruvetei și în consecință valoarea deformației specifice remanente, la nivelarea temperaturii pe întreaga secțiune a epruvetei. Dacă reîncălzirea se face lent atunci această deformație remanentă este de așteptat să fie regăsită și la nivelul superior al temperaturii datorită faptului că tensiunile termice ce apar în timpul încălzirii sunt neglijabile.

Calculul variației lungimii medii de fluaj  $\Delta \varepsilon_{fmj}$  se poate face analog, pornind tot ceea ce la relația 3.5.26, dar ținând seama de relația 3.5.10 rezultă

$$\Delta \varepsilon_{fmj} = \frac{l_{lj} + k_j (l_{lj} - l_{nj}) - l_{lj-1} - k_{j-1} (l_{lj-1} - l_{n(j-1)})}{l_{m(j-1)}}$$

Acceptând la numitor  $l_{m(j-1)} = l_0$  și grupind termenii se obține:

$$\Delta \varepsilon_{fmj} = \frac{l_{1j} - l_{1(j-1)}}{l_0} + k_j \frac{l_{1j} - l_{nj}}{l_0} - k_{j-1} \frac{l_{1(j-1)} - l_{nj-1}}{l_0}$$

sau înlocuind conform relației 3.5.9

$$l_{1j} = l_{1(j-1)} (1 + \Delta \varepsilon_{flj})$$

rezultă:

$$\Delta \varepsilon_{fmj} = \Delta \varepsilon_{flj} + k_j (\Delta \varepsilon_{nj} - \Delta \varepsilon_{1j}) - k_j (\Delta \varepsilon_{nj-1} - \Delta \varepsilon_{1(j-1)}) \quad (3.5.28)$$

Admitându-se că şocul termic se produce dela  $450^{\circ}\text{C}$  la  $300^{\circ}\text{C}$  cu  $hR = 5$  s-a calculat variația lungirii specifice medii atât în timpul şocului termic cît și în timpul procesului de fluaj. Rezultatele obținute sunt prezentate în fig. 3.5.5 și 3.5.6, presupus că şocul termic se produce în momentul în care deformarea totală de fluaj este de 0,2 %.

In figura 3.5.7 se prezintă variația tensiunii din fîșia cu  $r/R = 0,1$  și  $r/R = 1$  în timpul procesului de fluaj.

Se poate remarcă că şocul termic conduce la o creștere importantă a lungirii specifice  $\approx 0,3\%$  ceea ce în diagrama de fluaj corespunde unui salt echivalent cu creșterea bruscă a tensiunii aplicate. In acest fel în acelaș interval de timp, deformarea de fluaj în cazul aplicării şocurilor termice este mai mare decât cea care corespunde temperaturii constante și evident și ruperea se produce mai repede. Acest lucru explică în bună parte rezultatele obținute de Röpke [52].

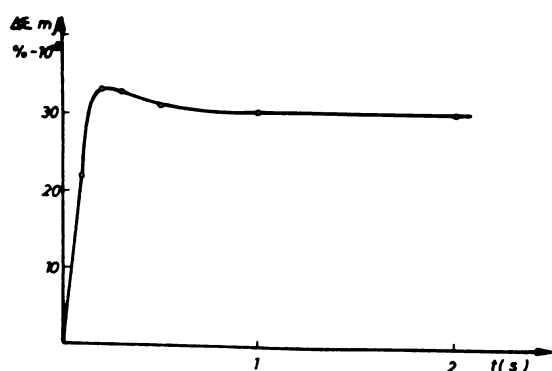


fig. 3.5.5

Variata lungirii specifice medii  $\Delta \varepsilon_{mj}$  în timpul şocului termic

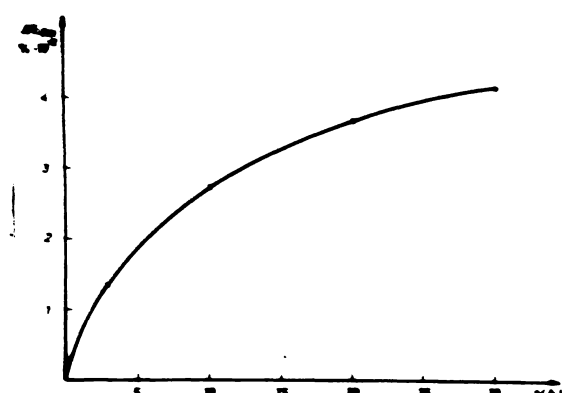


fig.3.5.6  
Variația lungirii specifice medii de fluaj  $\bar{\epsilon}_{\text{f}}$  după aplicarea șocului termic

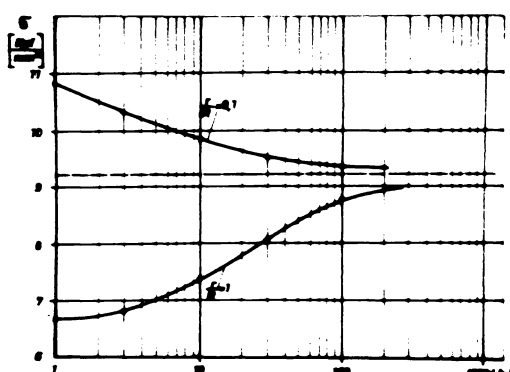


fig.3.5.7  
Variația tensiunii în fizile cu  $r/R = 0,1$  și  $r/R = 1$  în timpul procesului de fluaj

In fig.3.5.8 se prezintă aspectul curbei de fluaj calculate, după aplicarea șocului termic comparativ cu curba de fluaj corespunzătoare temperaturii și tensiunii constante ( $450^{\circ}\text{C}$  și  $9,22 \text{ daN/cm}^2$ ).

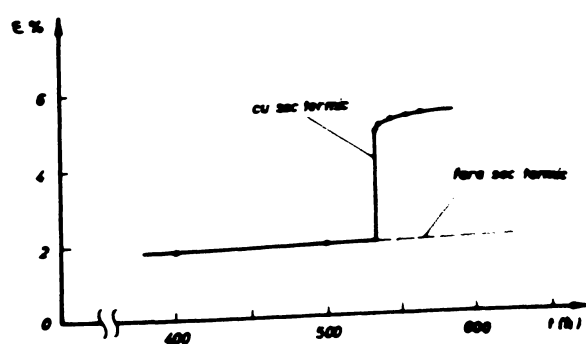


fig.3.5.8  
Curba de fluaj după aplicarea șocului termic

Desigur metoda presentată poate fi aplicată și pentru alte valori ale produsului  $hR$  adică pentru alte viteză de răcire, obținindu-se desigur alt nivel al tensiunilor termice și a

altă desfăşurare a procesului de fluaj ce urmează şocului termic.

Dacă şocurile termice se aplică la intervale de timp suficient de mari pentru a se produce nivelarea tensiunilor pe secţiunea transversală (datorită fluajului) atunci fiecare nou şoc va introduce aceeaşi tensiuni termice, aceeaşi deformaţie plastică rapidă în timpul răcirii precum și aproximativ același proces de fluaj. Aproximația în ceeace privește procesul de fluaj se referă la faptul că lungirea specifică de fluaj  $\Delta \varepsilon_{f_0}$  luată în considerare în calculul deformărilor de fluaj  $\Delta \varepsilon_{f_1j}$  crește. Tinând însă seama că ponderea cea mai mare în creșterea deformării plastice după aplicarea şocului termic o au tensiunile termice din timpul răcirii (fig.3.5.8) modificarea procesului de fluaj poate fi neglijată. Dacă însă şocurile termice se succed rapid atunci practic procesul de fluaj are o contribuție mică la cumularea deformării plastice, principalul responsabil fiind tensiunile termice, generate de răcirea neuniformă.

In acest caz la aplicarea programului "TENSTERM" pentru un nou şoc termic, se va porni de fiecare dată dela repartitia tensiunii generata de şocul anterior.

#### 4. VERIFICARI EXPERIMENTALE

In capitolul 3 s-a prezentat și aplicat (pentru un otel OLK2) o metodă iterativă de calcul a tensiunilor și deformațiilor în cazul fluajului cu temperatură variabilă. Metoda presupune inexistența unor modificări structurale importante, accelerate de variațiile de temperatură și tensiune, care au influență asupra vitezei de fluaj. Pentru verificarea acestei presupunerii s-au efectuat încercari de tractiune, reziliență, fluaj și probe metalografice pe 3 loturi de epruvete. Primul lot a fost încercat fără aplicarea inițială a nici unui ciclu încălzire - răcire. Al doilea lot a fost supus în prealabil la 50 cicluri încălzire la  $450^{\circ}\text{C}$  și răcire în aer liber. La al treilea lot s-au aplicat aceleși cicluri dar răcirea s-a făcut în apă.

De asemenea, în vederea verificării metodicii de calcul a tensiunilor și deformațiilor la fluaj cu șocuri termice, s-au efectuat încercări de fluaj la tensiune constantă opruveta fiind supusă din timp în timp unor șocuri termice realizate prin răcire cu gheată.

##### 4.1. Date privind otelul cercetat

Otelul OLK 2 luat în studiu a provenit din table de cazan neutilizate, de 16 mm grosime cu următoarea compoziție chimică (tab.4.1.1).

Tabelul 4.1.1

	C	S	E	P	Si	Cu	Ni	Cr
%	0,16	-	0,43	0,025	0,015	0,015	0,002	0,002

Încercarea la tractiune la temperatura de  $20^{\circ}\text{C}$  conform STAS 200-75 a 6 bucăți epruvete prelevate din materialul tabelelor a condus la caracteristicile mecanice trecute în tabelul 4.1.2.

Încercarea la reziliență la  $20^{\circ}\text{C}$  s-a făcut pe 12 bucăți epruvete cu crestătura U conform STAS 1400-75 la un ciocan Charpy de 30 kgfm. Rezultatele obținute sunt concentrate în tabelul 4.1.3.

Tabelul 4.1.2

Nr. det.	c [kgf/mm <sup>2</sup> ]	r [kgf/mm <sup>2</sup> ]	Val. me- die	$\lambda_5$ %	Val. me- die	Z %	Val. me- die
1	-	43,5		35,0		57,6	
2	-	42,6		35,5		59,6	
3	-	43,9	43,27	37,5	36,65	60,6	59,97
4	24,4	42,2		38,8		63,8	
5	-	43,2		33,4		57,6	
6	-	44,2		39,7		60,6	

Tabelul 4.1.3

Nr. det.	Directia de prelevare a spruvetei	Reziliență KCU 30/2 [kgfm/cm <sup>2</sup> ]	Val. me- die	Nr. det.	Directia de prele- vare a epruvetei	Rezili- ență KCU 30/2 [kgf /cm <sup>2</sup> ]	Val. me- die
1	transver- sală	11,70		7	longitu- dinală	11,17	
2	"	12,72		8	"	10,33	
3	"	14,625	12,35	9	"	11,66	10,91
4	"	13,12		10	"	10,06	
5	"	11,80		11	"	10,85	
6	"	10,16		12	"	11,44	

Valoare medie transversal + longitudinal = 11,63 kgfm/cm<sup>2</sup>

Rezultatele obținute la aceste încercări clasice denotă o bună deformabilitate a otelului tablelor, rezistență mecanică statică ridicată pentru un otel de această categorie și reziliенță superioară limitei inferioare de 6 kgfm/cm<sup>2</sup> admisă de STAS 2883-62 ce se referă la table de cauzan din oteluri de tip OLX.

#### 4.2. Încercări experimentale la temperatură ridicată asupra probelor din otelul OLX 2.

In vederea studiului influenței variațiilor de temperatură asupra comportării la temperaturi ridicate a otelului

OLK 2 s-au prelevat probe dintr-o singură tablă, din care s-au confectionat 3 loturi de epruvete pentru încercarea la tractiune, pentru încercarea de fluaj (determinarea limitei tehnice de fluaj și a rezistenței tehnice de durată) și pentru reziliență.

Primul lot a fost încercat în starea de livrare, al doilea lot după aplicarea a 50 cicluri de încălzire la  $450^{\circ}\text{C}$  în cuptor și răcire la  $20^{\circ}\text{C}$  în aer liber iar al treilea lot după 50 cicluri de încălzire în cuptor tot la  $450^{\circ}\text{C}$  dar răcire în apă la  $20^{\circ}\text{C}$ .

Forma și dimensiunile epruvetelor pentru încercarea la tractiune și fluaj cu determinarea limitei tehnice de fluaj a fost prezentată în fig.3.4.1. Epruvetele pentru reziliență cu crestătură U s-au confectionat conform STAS 1400-75. Pentru determinarea rezistenței tehnice de durată s-au utilizat epruvete de forma din fig.4.2.1.

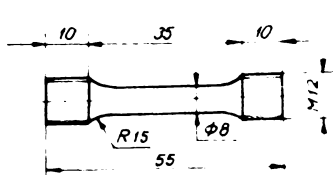


fig.4.2.1

Forma și dimensiunile epruvetelor utilizate la determinarea rezistenței tehnice de durată

In fig.4.2.2 se prezintă diagramele 5 - 8 obținute la încercarea la tractiune la temperatura de  $350^{\circ}\text{C}$  atât pe epruvete supuse ciclurilor de încălzire răcire amintite cît și pe epruvete nesupuse.

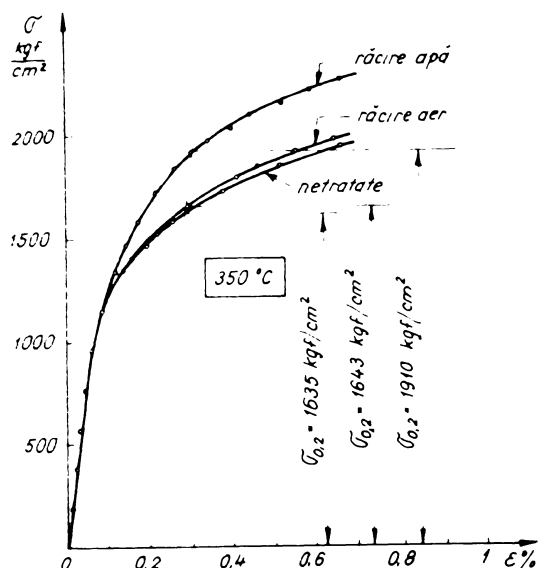
In fig.4.2.3 și 4.2.4 sunt prezentate diagrame analoge, dar ridicate la temperaturile de  $400^{\circ}\text{C}$  și  $450^{\circ}\text{C}$ . Curvele trase reprezintă media a trei încercări.

In fig.4.2.5 se prezintă variația limitei tehnice de curgere cu temperatura pentru cele 3 loturi de epruvete.

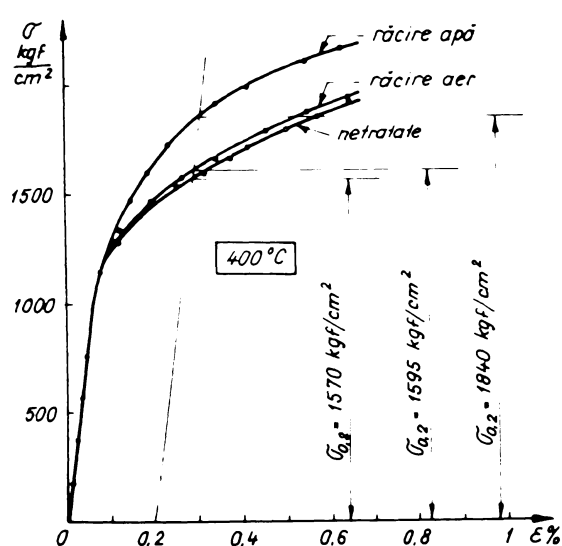
Se remarcă următoarele aspecte:

- aplicarea unor cicluri încălzire răcire înainte de efectuarea încercării de tractiune conduce la creșterea limitei tehnice de curgere. Această creștere este cu atit mai accentuată cu cît viteza de răcire este mai mare.

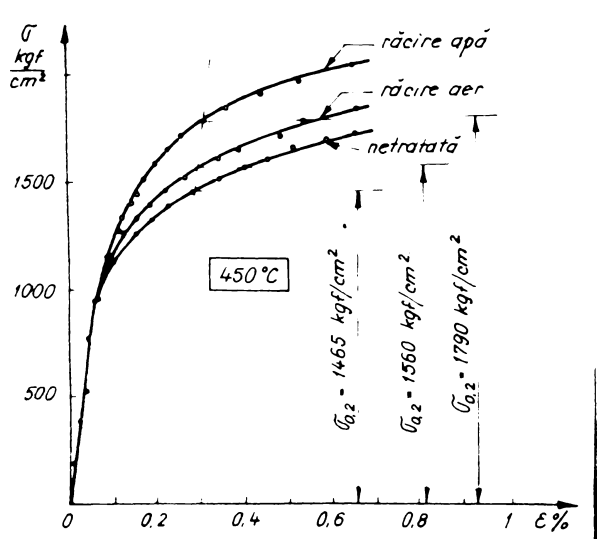




**fig.4.2.2**  
Curbele caracteristice  
σ-ε pentru cele 3  
loturi de epruvete (ne-  
tratare, răcire aer,  
răcire apă) la 350°C



**fig.4.2.3**  
Curbele caracteristice  
σ-ε pentru cele 3  
loturi de epruvete (ne-  
tratare, răcire aer,  
răcire apă) la 400°C



**fig.4.2.4**  
Curbele caracteristice  
σ-ε pentru cele 3  
loturi de epruvete (ne-  
tratare, răcire aer,  
răcire apă) la 450°C

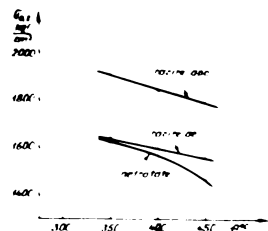


fig.4.2.5

Variatia limitei tehnice de curgere cu temperatura

- variația liniară a limitei tehnice  $\delta_{0,2}$  pe intervalul de temperatură considerat fără micșorarea rapidă în intervalul  $400^{\circ}\text{C} \dots 450^{\circ}\text{C}$  caracteristică epruvetelor netratate.

Pentru a se aprecia în ce măsură ciclurile de încalzire răcire influențează asupra rezilienței s-au efectuat încercuri pe epruvete cu crestătură U la temperatură de  $20^{\circ}\text{C}$  rezultatele fiind concentrate în tabelul 4.2.1. Se remarcă o creștere mai pronunțată a rezilienței la epruvetele supuse ciclurilor de încalzire - răcire în aer liniștit. Acest fapt se poate explica printr-o tendință de trecere a structurii înspre echilibru, proces realizat probabil incomplet prin tratamentul de normalizare aplicat tablelor, după laminare.

Tabelul 4.2.1

Nr. det.	Epruvetele netratate		Epruvete răcite în aer		Epruvete răcite în apă	
	KCU 30/2	Valoare medie	KCU 30/2	Valoare medie	KCU 30/2	Valoare medie
1	12,2		15,0		12,6	
2	10,7		15,3		13,0	
3	11,7		15,4		13,7	
4	13,4	12,16	15,7	15,01	13,2	13,08
5	11,4		15,3		13,7	
6	12,2		14,2		12,5	
7	13,5		14,2		12,9	

In vederea determinării limitei tehnice de fluaj  $\delta_{1/1000}$  la  $450^{\circ}\text{C}$  pentru otelul tablelor nesupuse ciclurilor de încalzire răcire amintite s-au efectuat încercuri pe o mașină de fluaj cu pîrghie simplă prevăzută cu un cupitor electric cu regulator Amsler (Elveția).

Menținerea constantă a temperaturii s-a realizat cu o precizie de  $\pm 1^{\circ}\text{C}$  măsurarea ei făcindu-se în 3 puncte.

In fig.4.2.6 se prezintă curbele de fluaj obținute la temperatura de  $450^{\circ}\text{C}$  și tensiunile de  $16,14$  și  $12 \text{ kgf/mm}^2$ .

Pentru a se putea aprecia influența variației de tensiune asupra vitezei de fluaj asupra unor epruvete s-au efectuat încărcări și descărcări dela un anumit nivel al tensiunii la zero apoi la același nivel al tensiunii. In general se constată o oarecare micșorare a vitezei de fluaj după reîncărcare, ceva mai importantă la tensiuni mai mari.

In fig.4.2.7 se prezintă pentru 2 nivele ale tensiunii ( $12$  și  $14 \text{ kgf/mm}^2$ ) cîte o descărcare la zero și o reîncărcare. Se observă o micșorare a vitezei de fluaj  $v_f$  de  $1,3 \cdot 10^{-3} \text{ %/h}$  la o tensiune de  $14 \text{ kgf/mm}^2$  și de  $0,149 \cdot 10^{-3} \text{ %/h}$ , la o tensiune de  $12 \text{ kgf/mm}^2$ .

Pe baza încercărilor de fluaj efectuate asupra epruvetelor supuse în prealabil unor cicluri de încălzire la  $450^{\circ}\text{C}$  și răcire în aer la  $20^{\circ}\text{C}$  respectiv în apă s-au trăsat curbele din fig.4.2.8 și 4.2.9.

In vederea comparării curbelor de fluaj la aceeași temperatură și tensiune dar pe epruvete supuse ciclurilor de încălzire-răcire și nesupuse acestor cicluri s-au trăsat diagramele din fig.4.2.10, 4.2.11, 4.2.12.

Din analiza curbelor medii de fluaj obținute la aceeași temperatură pe cele trei loturi de epruvete se pot trage următoarele concluzii:

- deformația specifică inițială este mai mică la epruvetele supuse inițial ciclurilor de variație ale temperaturii. Cea mai mică valoare se obține la epruvetele răcite în aer.

Acest fapt se explică prin creșterea valorii, limitei de curgere ceea ce evident reduce nivelul deformației - fig.4.2.13.

- La epruvetele supuse inițial ciclurilor de variație ale temperaturii se obține, la tensiuni mai mici, o zonă foarte clară de fluaj stabilizat.

- La epruvetele nesupuse ciclurilor de răcire încălzire zona fluajului stabilizat nu mai este atât de clară viteza de fluaj având tendință de scădere continuă.

- La tensiuni mari ( $\delta = 16 \text{ kgf/mm}^2$ ) se observă că viteză de fluaj este mai redusă în cazul epruvetelor supuse ciclurilor de variație ale temperaturii, având valoarea cea mai mică pentru cazul răcirii în apă.

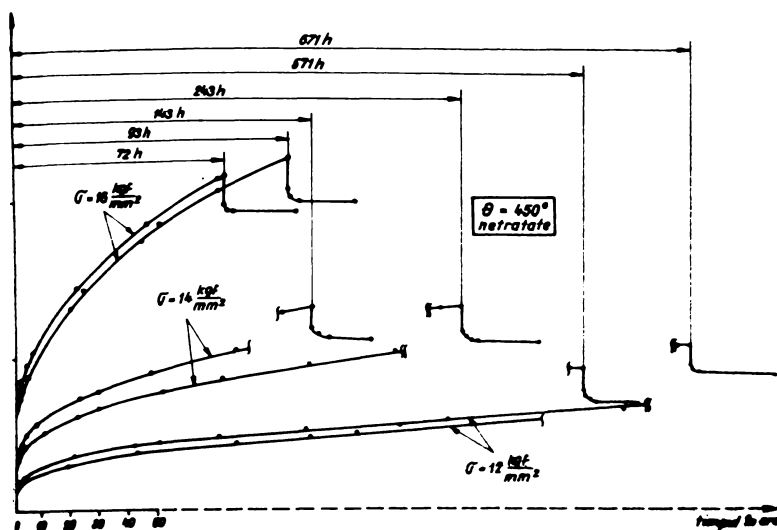


fig.4.2.6

Curbele de fluaj la  $450^\circ\text{C}$  și tensiunile de 12, 14 și 16  $\text{kgf}/\text{mm}^2$  pentru epruvete netratare

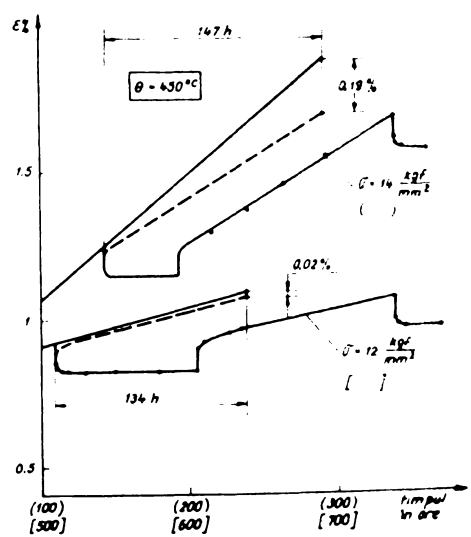


fig.4.2.7

Variatia vitezei de fluaj in urma descarcarii si reincarcarii

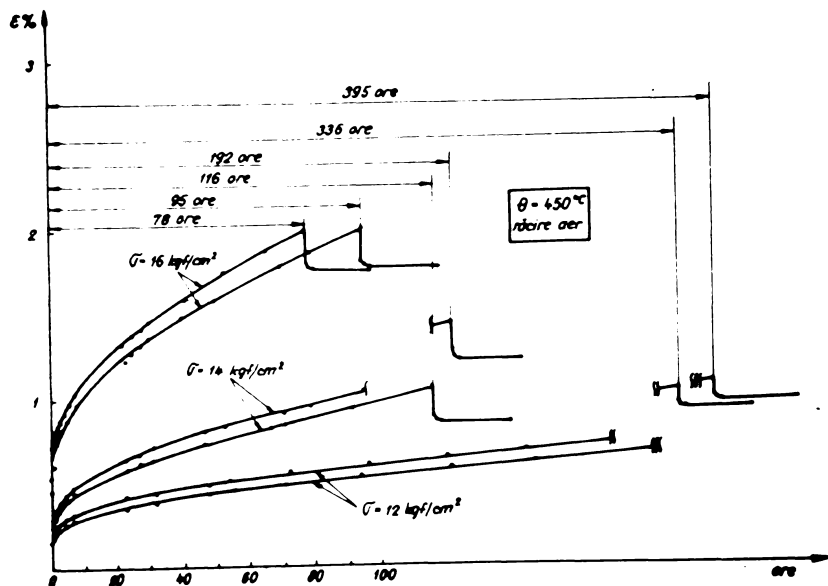


fig.4.2.8

Curbele de fluaj la  $450^\circ\text{C}$  și tensiunile de 12, 14 și  $16 \text{ kgf/mm}^2$  la epruvetele răcite în prealabil în aer

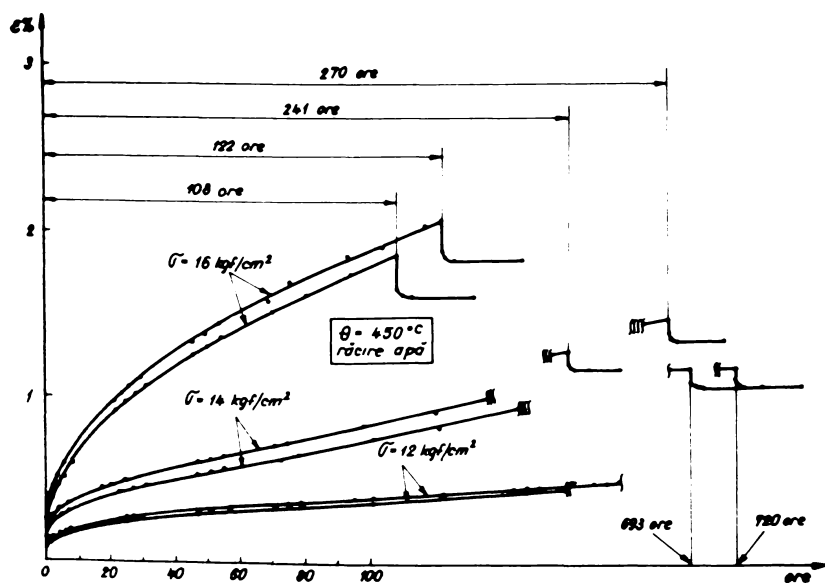


fig.4.2.9

Curbele de fluaj la  $450^\circ\text{C}$  și tensiunile 12, 14 și  $16 \text{ kgf/mm}^2$  la epruvetele răcite în prealabil în apă

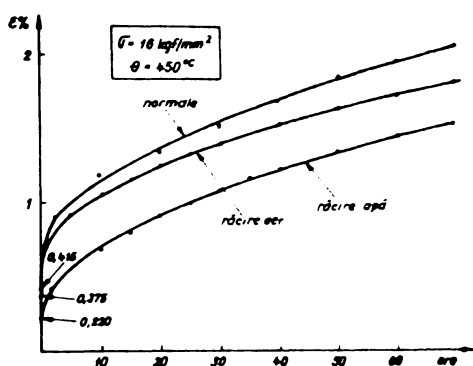


fig.4.2.10

Curbele de fluaj la  $450^{\circ}\text{C}$  și tensiunea de  $16 \text{ kgf/mm}^2$  pentru cele 3 loturi de epruvete

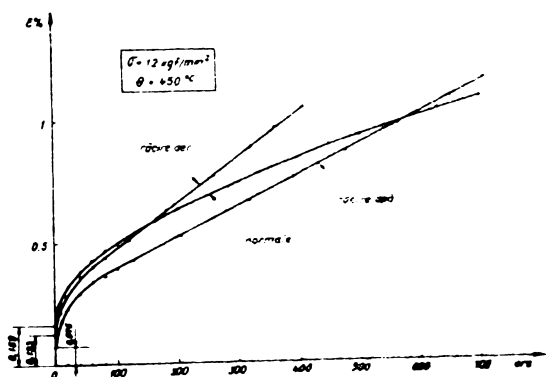


fig.4.2.11

Curbele de fluaj la  $450^{\circ}\text{C}$  și tensiunea de  $14 \text{ kgf/mm}^2$  pentru cele 3 loturi de epruvete

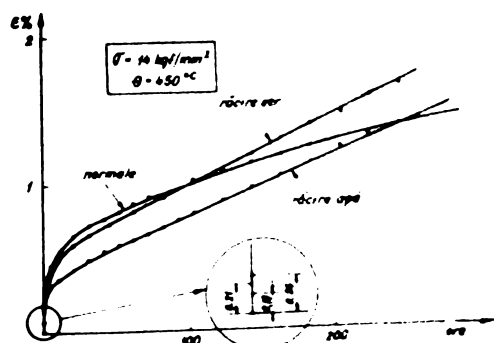


fig.4.2.12

Curbele de fluaj la  $450^{\circ}\text{C}$  și tensiunea de  $12 \text{ kgf/mm}^2$  pentru cele 3 loturi de epruvete

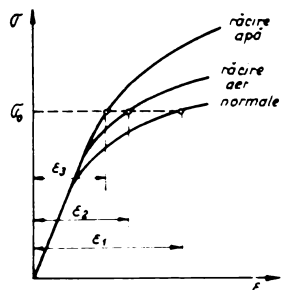


fig.4.2.13

Explicarea micșorării deformăției instantanee în curbele de fluaj la epruvetele supuse în prealabil ciclurilor de răcire încălzire

- La tensiuni mai mici ( $\delta = 14 \text{ kgf/mm}^2$ ) la început viteza de fluaj este mai mică la epruvetele supuse ciclurilor de variație ale temperaturii ca apoi viteza de fluaj să devină mai mică la epruvetele ne tratate termic. La deformații mai mari de 1% curbele de fluaj corespunzătoare epruvetelor supuse ciclurilor de variație ale temperaturii trec deasupra curbelor corespunzătoare epruvetelor nesupuse acestei cicluri.

- La tensiuni și mai mici ( $\delta = 12 \text{ kgf/mm}^2$ ) se constată o accelerare a fluajului la epruvetele răcite în aer iar la cele răcite în apă un fenomen asemănător cu cel descris anterior și anume, la început viteza de fluaj este mai mică la epruvetele răcite în apă decât la cele normale ca apoi dela o anumită deformație să fie mai mică la cele normale. În fig.4.2.14 se prezintă diagramele rezistenței tehnice de fluaj  $\delta_{1/t}$  obținute ca niște drepte de regresie cu ecuația:

$$\lg t = a + b \lg \delta \quad (4.2.1)$$

în care:

$$a = \frac{\sum (\lg \delta)^2 \sum \lg t - \sum \lg \delta \sum \lg \delta \cdot \lg t}{n \sum (\lg \delta)^2 - (\sum \lg \delta)^2} \quad (4.2.2')$$

și

$$b = \frac{n \sum \lg \delta \lg t - \sum \lg \delta \sum \lg t}{n \sum (\lg \delta)^2 - (\sum \lg \delta)^2} \quad (4.2.2'')$$

In tabelul 4.2.2 se prezintă ecuațiile dreptelor obținute precum și valorile rezistenței tehnice de fluaj  $\sigma_{t/1000}$  și  $\sigma_{t/10000}$  obținute prin extrapolare iar în fig.4.2.15 reprezentarea grafică a dreptelor.

Tabelul 4.2.2

Lotul	Ecuatia dreptei rezistenței tehnice de fluaj	1/1000	1/10000
Normale	$lgt = 18,45636 - 14,40113 lg$	11,82	10,07
Răcire aer	$lgt = 15,44109 - 11,61713 lg$	11,29	9,29
Răcire apă	$lgt = 14,58923 - 10,84108 lg$	11,72	9,48

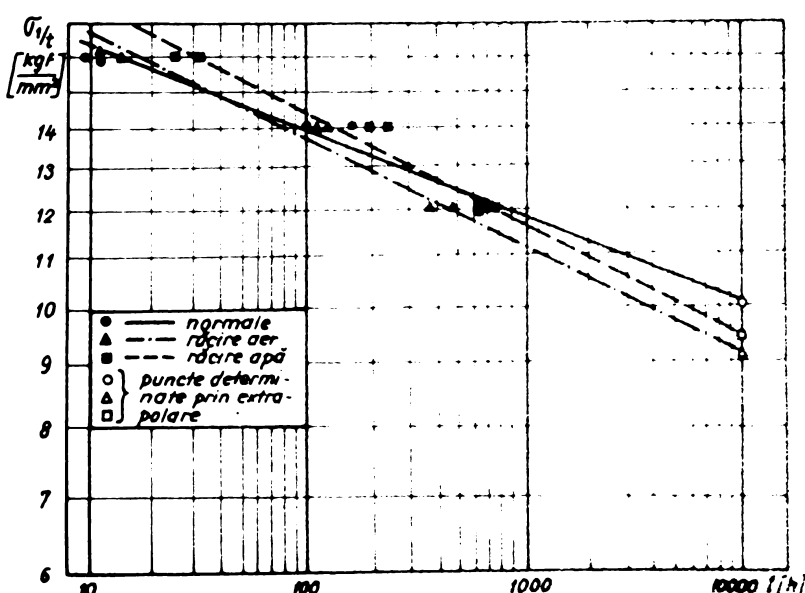


fig.4.2.14

Diagramale rezistenței tehnice de fluaj  $\sigma_{t/1000}$  pentru cele 3 loturi de epruvete

Se remarcă o carecare micșorare a rezistenței tehnice de fluaj  $\sigma_{t/10000}$  la epruvetele supuse atât căldurilor încălzire-răcire în aer cît și în apă. Totuși diferențele nu sunt atât de importante (-7,7% respectiv - 5,85%) pentru a se ține cont de influența modificărilor structurale survenite în timpul ciclurilor de încălzire răcire aplicate, asupra rezistenței tehnice de fluaj.

S-au efectuat deasemenea încercări, la temperatură de  $450^{\circ}\text{C}$ , pe același trei loturi de epruvete în vederea determinării rezistenței tehnice de durată. Rezultatele obținute sunt concentrate în fig.4.2.15 în coordonate  $lg \sigma$  -  $lg t$ . Pe aceiași

figură sint reprezentate și dreptele de regresie obținute cu aceeași metodică ca și în cazul rezistenței tehnice de fluaj. În tabelul 4.2.3 se prezintă ecuațiile dreptelor rezistenței tehnice de durată precum și valorile acestora la 1000 h și 10000 h. Se remarcă diferențe foarte mici între valorile rezistenței tehnice determinate pentru cele trei loturi. O oarecare creștere a rezistenței tehnice de durată se remarcă la epruvetele supuse inițial ciclurilor de încălzire răcire în aer liniștit. Explicația acestei majorări stă în faptul că tratamentul de încălzire la 450°C cu răcire în aer a adus structura într-o stare mai de echilibru, mărindu-i astfel deformabilitatea pînă la rupe. De altfel s-a remarcat și la încercarea la reziliență că epruvetele supuse acelorași cicluri au avut lucrul mecanic de rupere mai mare (tabelul 4.2.1) adică 15,01 kgf/cm<sup>2</sup> față de 13,08 kgf/cm<sup>2</sup> la cele răcite în apă și 12,16 kgf/cm<sup>2</sup> la cele netratate.

Tabelul 4.2.3

Lotul	Ecuatia dreptei rezistenței tehnice de durată	$\sigma_r/1000$	$\sigma_r/10000$
Normale	$\lg \sigma = 15,50454 - 10,22036 \lg t$	16,73	13,35
Răcire aer	$\lg \sigma = 17,30463 - 11,60377 \lg t$	17,09	14,01
Răcire apă	$\lg \sigma = 15,73379 - 10,38998 \lg t$	16,81	13,46

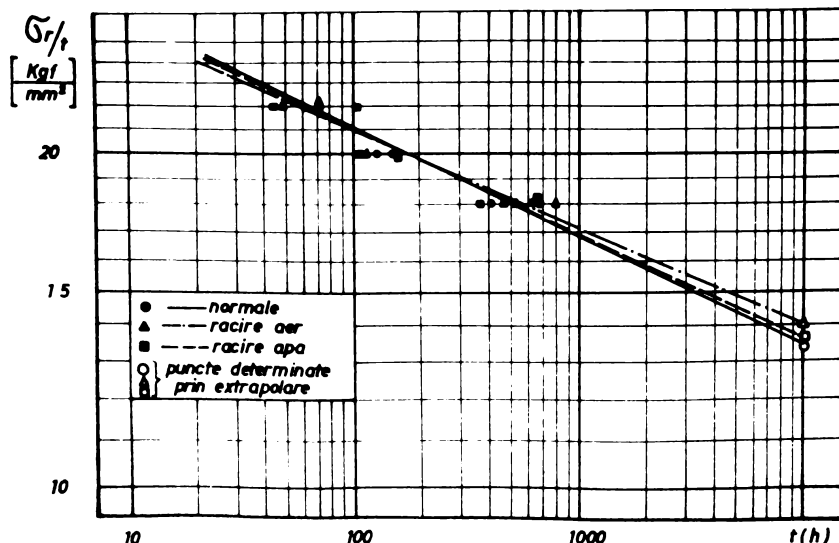


fig.4.2.15  
Diagramele rezistenței tehnice de durată  $\sigma_r/t$  pentru cele 3 loturi de epruvete

Ca și în cazul rezistenței tehnice de fluaj diferențele între rezistențele tehnice de durată  $\delta_{r/1000}$  respectiv  $\delta_{r/10000}$  sunt mici și incit pe intervalul de timp considerat se poate neglija influența modificărilor structurale provocate de ciclurile initiale de variație a temperaturii aplicate.

#### 4.3. Verificarea experimentală a influenței șocurilor termice asupra curbelor de fluaj

In vederea verificării deformațiilor suplimentare survenite în urma aplicării epruvetelor încercate la fluaj, a unor șocuri termice (răciri cu viteză mare) s-au efectuat încercări de fluaj la temperatură și tensiune constantă ( $450^{\circ}\text{C}$  și  $12 \text{ kgf/mm}^2$ ) pe epruvete prelevate din tablele de oțel CLM2 fără aplicarea unui tratament prealabil. După un oarecare număr de ore de încercare cuptorul a fost ridicat - menținindu-se comparatoarele pe extensometru - și s-au aplicat pe suprafața laterală a epruvetei două bucăți de ghiață (având lungimea părții active a epruvetei), asigurindu-se astfel o răcire cu viteză mare a acesteia. Aplicarea bucătilor de ghiață s-a făcut concomitent din ambele părți pentru a se evita apariția unui moment încovoiator. Apoi cuptorul a fost din nou coborât epruveta fiind reîncălzită la temperatura inițială în cca. 30 minute. În acest moment s-au citit la cele două comparatoare ale extensometrului deformația, pentru a se evita influența coeficientilor de dilatare diferenți ai materialului barelor extensometrului și ai epruvetei. În fig.4.3.1 se prezintă variația lungirii specifice înregistrată după aplicarea șocului termic precum și în perioada de fluaj la tensiune neuniformă pe secțiune.

Se remarcă o concordanță fără bună între alura diagramei obținută experimental și cea obținută teoretic la cap. 3, paragraful 5. Desigur vitezele de răcire în cele două cauzuri nu sunt egale, nivelul tensiunilor  $\sigma_0$  nu este același, și incit comparația cantitativă nu are sens.

Se observă de asemenea din fig.4.3.1 o bună reproducibilitate a desfășurării fenomenului la cele 2 răciri aplicate.

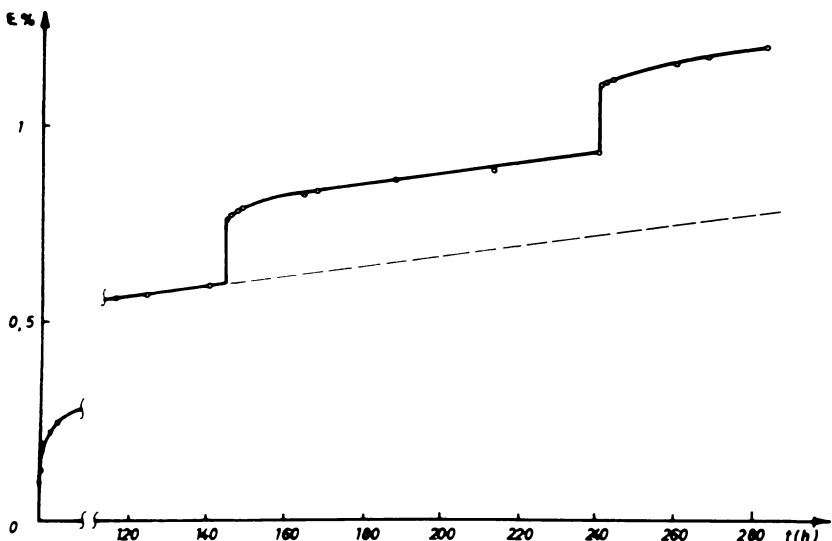


fig.4.3.1  
Variația lungirii specifice la fluaj cu șocuri termice

Pentru a se verifica în ce măsură tensiunile termice ce apar la răcirea probei în aer liniștit sunt neglijabile s-au efectuat încercări de fluaj la  $\theta = 450^{\circ}\text{C}$  și  $\sigma_0 = 12 \text{ kgf/mm}^2$  cu ridicarea periodică a cuporului și răcirea epruvetei în aer liniștit. Citirea deformației s-a făcut și în acest caz numai după reincălzirea epruvetei la temperatură de  $450^{\circ}\text{C}$ . Așa cum era de așteptat nu s-au înregistrat saluturi în curbele de fluaj și nici o modificare semnificativă a vitezei de fluaj la un număr de 5 – 6 răciri aplicate epruvetei.

Se verifică în acest fel, constatarea făcută, prin aplicarea metodei iterative la răcire în aer liniștit (cap. 3 paragraful 4 fig.3.4.8), că nivelul tensiunilor termice remanente (după terminarea răcirii) este neglijabil.

#### 4.4. Modificări structurale ale otelului O169 supus ciclurilor de încălzire racire și încercării de fluaj.

Metoda de calcul a tensiunilor și deformațiilor în cazul fluajului cu temperatură variabilă, prezentată în capitolul 3 al prezentei lucrări, presupune inexistența unor modificări structurale care influențează substanțial desfășurarea procesului de fluaj. În vederea modelării fenomenelor ce apar în structura materialului ca urmare variațiilor de temperatură s-au efectuat încercări mecanice la temperatura de  $20^{\circ}\text{C}$  și la cald, precum și de fluaj pe trei loturi de epruvete cap. 4 paragraful 1,2. Prințul lot confectionat din materialul normalizat, al doilea lot supus la 50 cicluri de încălzire la  $450^{\circ}\text{C}$  și racire în aer liniștit și al treilea lot încălzit tot la  $450^{\circ}\text{C}$  dar racit în apă.

Rezultatele obținute au reliefat unele diferențe în comportarea la tracțiune, la încercarea de încovoiere dinamică (reziliență) precum și la încercarea de fluaj. Particular aceste diferențe au fost explicate la analiza încercărilor respective. Pentru a se putea lămurii comportarea diferită la fluaj, mai ales la durete uici ale încercării (tensiuni de încercare mari) s-au prelevat probe metalografice din cele trei loturi de epruvete atât înainte de încercarea de fluaj, cît și după aceasta. Pentru o mai clară înțelegere a notării probelor în tabelul 1 se prezintă centralizat locul de măcare.

Tabelul 1

Starea inițială a materialului Ni- velul tensiunii de încercare la fluaj	Normalizat	Supus unor cicluri de încălzire racire în aer liniștit	Supus unor cicluri de încălzire racire în apă
0	0.0	1.0	2.0
12 $\text{kgf}/\text{mm}^2$	0.12	1.12	2.12
14 $\text{kgf}/\text{mm}^2$	0.14	1.14	2.14
16 $\text{kgf}/\text{mm}^2$	0.16	1.16	2.16

Temperatura de încălzire în timpul ciclurilor aplicate probelor se află la limita inferioară a declanșării procesului de recristalizare. Întradevăr considerind relația lui Bocivăru

$$T_{\text{recr}} = 0,4 T_{\text{top}} \quad ^{\circ}\text{K}$$

pentru fier rezultă  $724,8^{\circ}\text{K}$  respectiv  $451^{\circ}\text{C}$ .

In cazul oțelului OLK2, ținind seama de compoziția chimică, precum și de faptul că nu apar faze sau constituenți cu temperatură de topire superioară fierului, rezultă

$$T_{\text{recr OLK2}} = 0,4 \cdot 1773 = 709,2^{\circ}\text{K} \quad \text{respectiv } 426^{\circ}\text{C}$$

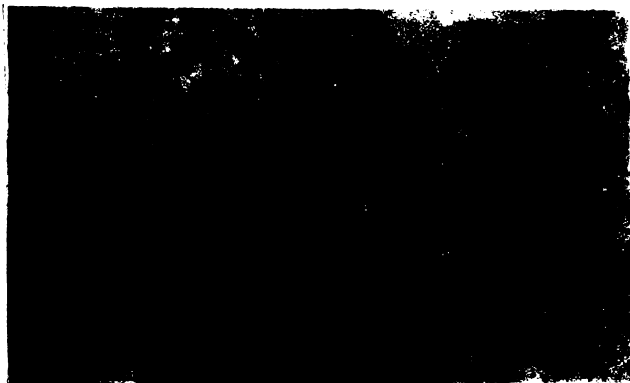
In aceste condiții este de așteptat apariția unui proces de refacere a structurii - fără modificări de fază, funcție de natura ciclurilor aplicate și de tensiunea de încercare la fluaj.

In vederea determinării influenței structurii și stării inițiale a oțelului OLK2 asupra comportării la fluaj s-au efectuat studii microstructurale la microscopul optic la măririle de 100:1 în stare neatacată și 100:1 și 1000:1 în stare atacată cu nital. Deasemenea s-au confectionat replici pentru microscopul electronic, analiza lor făcându-se la măririle de 2700:1 respectiv 5700:1.

Din studiul la microscopul optic efectuat în stare neatacată a probelor la mărire de 100:1 se constată că forma, mărimea și distribuția incluziunilor depinde de tratamentul inițial aplicat precum și de nivelul tensiunii de încercare la fluaj, incluziunile fiind însă în toate cazurile punctiforme.

Astfel în proba 0.0 (fig.4.4.1) inclusiunile sunt în majoritate mărunte existând însă și inclusiuni mai mari distribuite neuniform. În proba 0.1 inclusiunile sunt mărunte uniform distribuite, dispărând cele mari (fig.4.4.2). În schimb în proba 0.2 numărul inclusiunilor crește dar distribuția lor este uniformă și dimensiunile mici (fig.4.4.3).

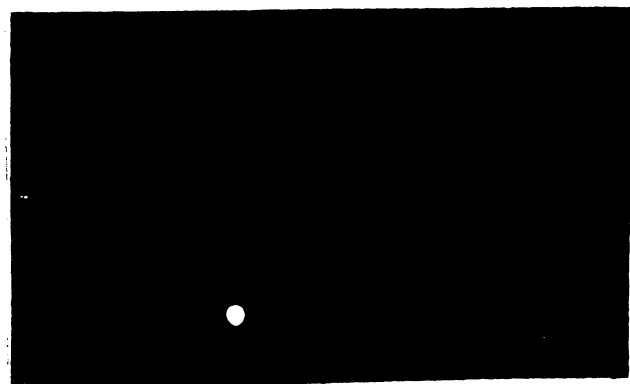
In urma încercării la fluaj se constată că cu creșterea tensiunii de încercare mărimea și numărul inclusiunilor cresc, apărind chiar "aglomerări" de inclusiuni (unde probabil materialul a cedat local pe limita de separare a grăunilor). În plus la probele 2.12; 2.14; 2.16 inclusiunile sunt mai mari și mai multe decât la probele 0.12; 0.14; 0.16. Cele mai mici inclusiuni apar la probele ricite în aer liniștit. Spre exemplificare se prezintă în fig.4.4.4, 4.4.5, 4.4.6 fotografii realizate la mărirea de 100:1 în stare neatacată pe probele 0.16, 1.16 și 2.16.



**fig.4.4.1**  
**Microstructura oțelui**  
**lui OLK2 normalizat**  
**mărire 100:1 neatacat**



**fig.4.4.2**  
**Microstructura oțelui**  
**lui OLK2 supus unor**  
**cicluri incălzire-răcire**  
**în aer linigtit**  
**mărire 100:1 neatacat**



**fig.4.4.3**  
**Microstructura oțelui**  
**lui OLK2 supus unor**  
**cicluri incălzire-răcire**  
**în apă măritare 100:1**  
**neatacat**

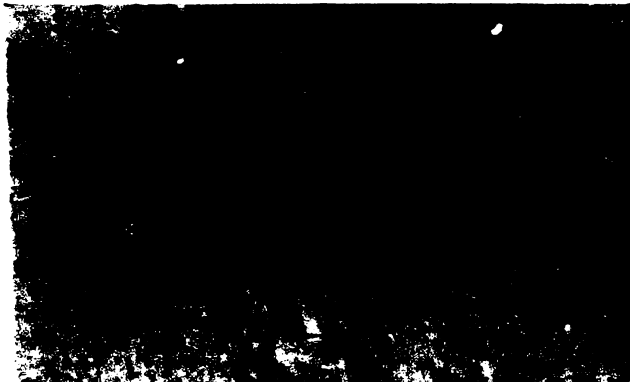


fig.4.4.4  
Microstructura otelului CKM2 normalizat după o încercare de fluaj la  $450^{\circ}\text{C}$  și tensiune de  $16 \text{ kgf}/\text{mm}^2$ .  
Mărire 100:1 neatacat



fig.4.4.5  
Microstructura otelului CKM2 supus inițial unor cicluri de încalzire și răcire în aer liniștit după o încercare de fluaj la  $450^{\circ}\text{C}$  și tensiune de  $16 \text{ kgf}/\text{mm}^2$ .  
Mărire 100:1 neatacat



fig.4.4.6  
Microstructura otelului CKM2 supus inițial unor cicluri de încalzire și răcire în epă după o încercare de fluaj la  $450^{\circ}\text{C}$  și tensiune de  $16 \text{ kgf}/\text{mm}^2$ .  
Mărire 100:1 neatacat

Se pare că gradul de deformare inițial este cel care influențează modul de distribuție și marimea inclusiunilor decoce la probele răcite în aer liniștit, la care a avut loc un proces de recristalizare mai accentuat, fără a se produce în urma răcirii tensiunii termice importante (care să provoace deformații plastice) inclusiunile sunt de dimensiuni nici distribuite uniform. În cazul probeelor răcite în apă datorită tensiunilor termice ce apar în timpul răcirii se produc deformații plastice care conduc în timpul procesului de fluaj la rarefieri locale, la limita de separare a grăunților. Este posibilă și producerea unor oxiduri datorită procesului repetat de răcire în apă. La probele normalizate, influența deformației plastice din timpul laminării persistă într-o măsură și după normalisare, marimea și distribuția inclusiunilor fiind intermediară între cea constată la probele răcite în aer și cele răcite în apă (fig. 4.4.4, 4.4.5, 4.4.6).

În ceea ce privește forma, marimea, distribuția și orientarea constituenților strucurali ai oțelului observată la mărire de 100:1 după atacul cu nital s-a putut remarcă:

a) Ferita ocupă aproximativ 70% din cimpul vizual fiind formată din grăunți alungiți (punctaj 6 ... 8). Perlita ocupă o suprafață de 30% din cimpul vizual grăunții fiind mai fini decât cei de ferită (punctaj 7 ... 8).

b) La probele în stare normalizată nu se observă o tendință de orientare preferențială cu excepția marginilor unde se remarcă un carecare fibraj datorită răcirii prea rapide după laminare. La probele supuse ciclurilor de încălzire răcire în apă se sesizează o carecare tendință de fibraj datorată probatil tensiunilor termice mari ce au provocat deformații plastice.

c) În urma încercării la fluaj pare o tendință tot mai accentuată, cu creșterea tensiunii de încercare, de orientare a grăunților cristalinii complicată de altfel prin procesele de deformare plastică ce însotesc fluajul.

Studiul microscopic al structurii la mărire de 1000 : 1 după atacul cu nital a evidențiat o finisare a fazelor din perlita (cementită), la probele supuse inițial ciclurilor de încălzire răcire, proces accentuat ulterior de încercarea de fluaj. Se remarcă în plus la probele încercate la fluaj cu tensiunea de  $12 \text{ kN/mm}^2$  o tendință de sferoizizare a cementitei din perlita. Acest fapt denotă că tensiunea a produs ruptura fazei dure din perlita.

(cementita) iar durata mare de menținere la temperatură ridicată ( $7 \times \dots 300$  h) a facilitat prin creșterea mobilității atomilor procesul de sfcooxidizare.

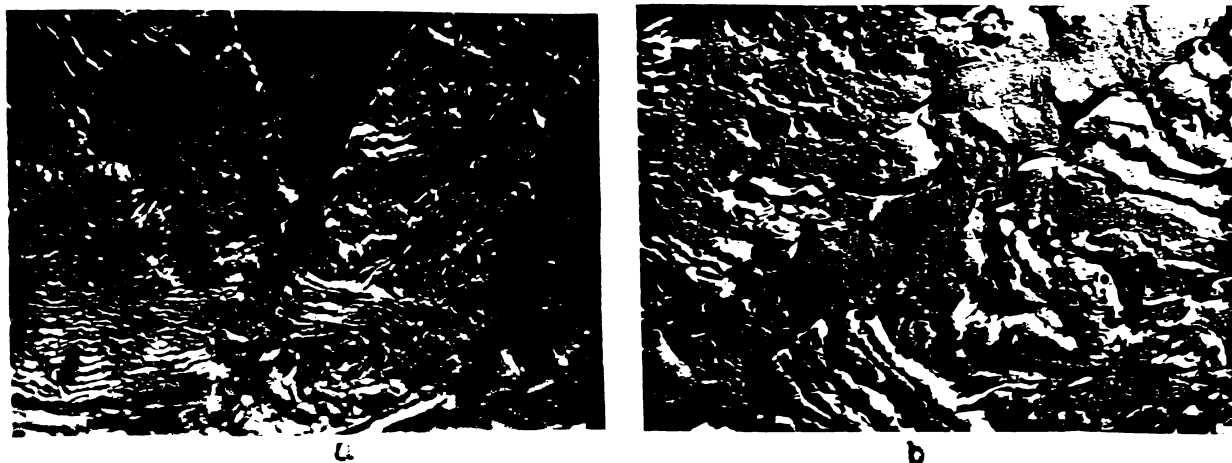


fig.4.4.7. Microstructura oțelului SAE în stare normalizată. Încălzire 270°C:1 (a) respectiv 570°C:1 (b)

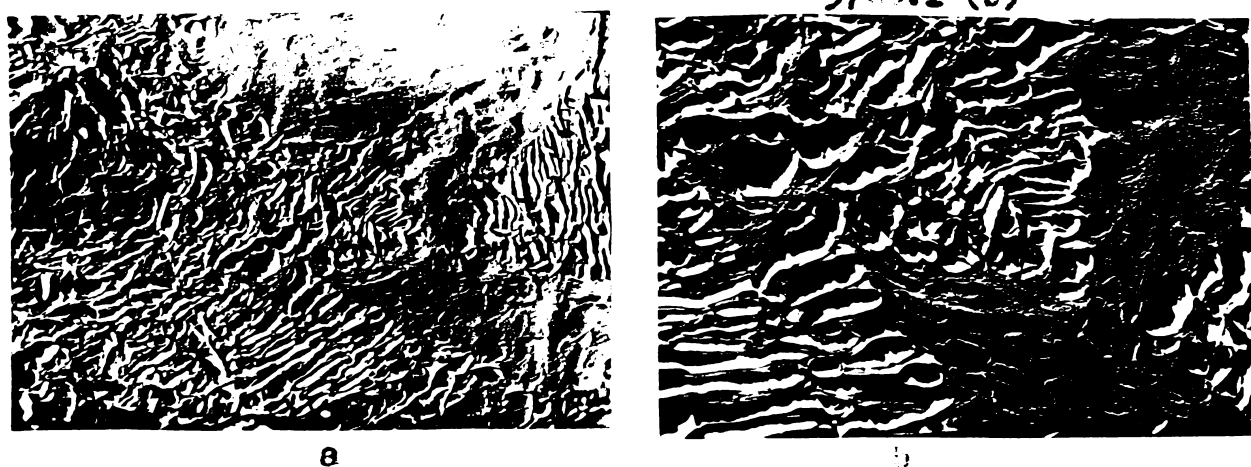


fig.4.4.8. Microstructura oțelului SAE după aplicarea unor cicluri de încălzire ridicăre în aer. Încălzire 270°C:1 (a) și 570°C:1 (b)

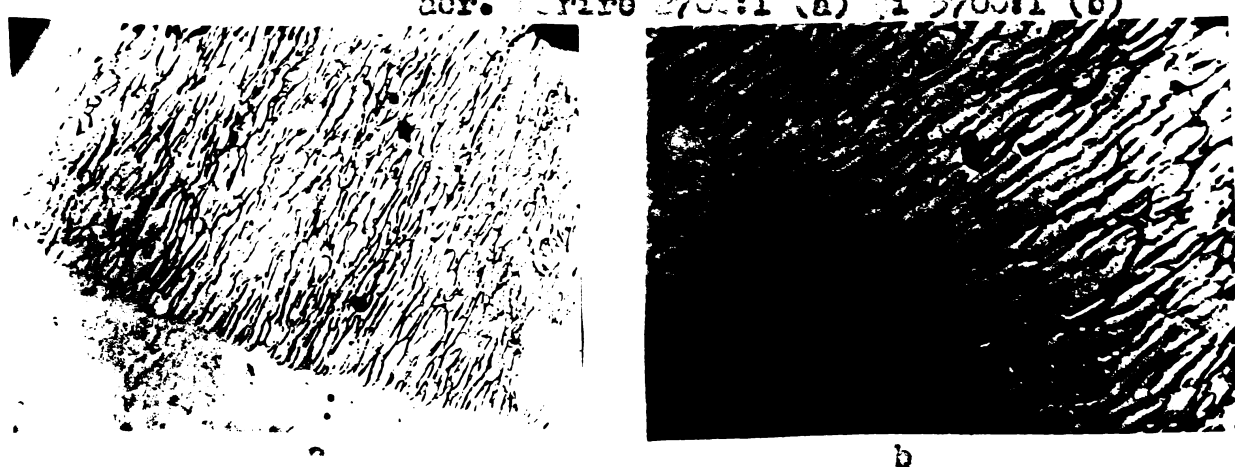


fig.4.4.9. Microstructura oțelului SAE după aplicarea unor cicluri de încălzire ridicăre în apă. Încălzire 270°C:1 (a) și 570°C:1 (b)

Tinind seama de finetea fazelor perlitei pentru elucidarea procesului cercarat la mărirea de 1000:1 s-a efectuat analize microstructurale la microscopul electronic la mărirea de 2700:1 și 5700:1.

La probele 0.0, 1.0 și 2.0 mărire 1700:1 (fig.4.4.7,a,b; 4.4.8,a,b; 4.4.9,a,b) se remarcă diferențele între structurile initiale ale perlitei la materialul în stare normalizată (lamele lungi și mai groase) după aplicarea a 50 cicluri încălzire 450°C cu răcire în aer (tendința de globulizare a perlitei) și după aplicarea a 50 cicluri încălzire la 450°C și răcire în apă (lamele mai scurte și mai fine decât cele în stare normalizată).

Se pare că procesul de recristalizare mai accentuat la probele răcite în aer a condus la globulizarea perlitei. În cazul probelor răcite în apă datorită tensiunilor tehnice ivite în procesul de răcire s-a produs o fărămitare a lamelor de conținută.

La încercările de fluaj cu tensiuni mari, timpul de menținere la temperatură indicată fiind mic (zeci de ore) procesul de globulizare în cazul probelor normalizate respectiv supuse inițial ciclurilor de încălzire răcire în apă este deosebit de redus (fig.4.4.10,a,b; 4.4.11,a,b)

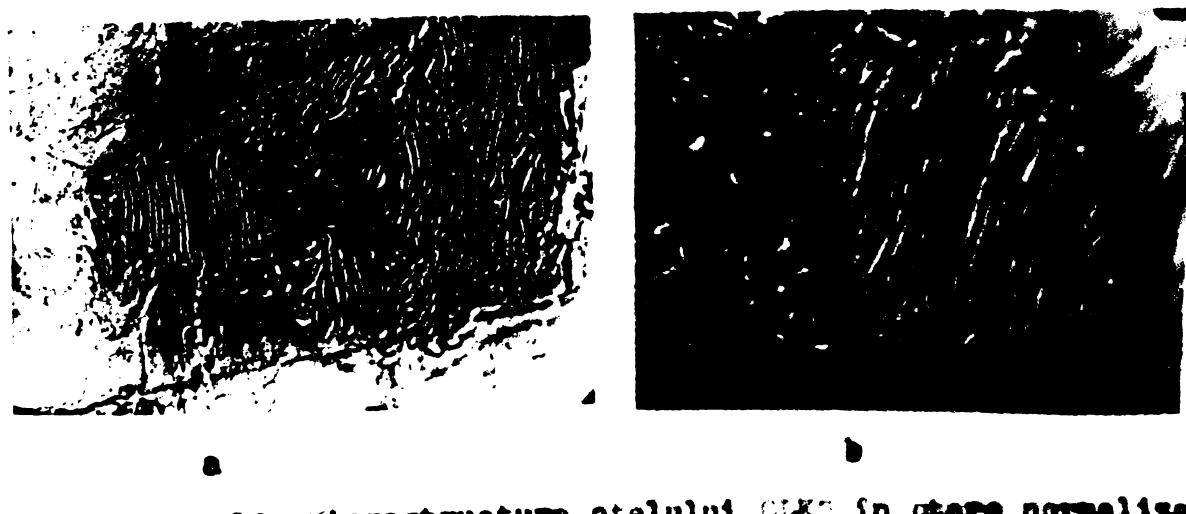
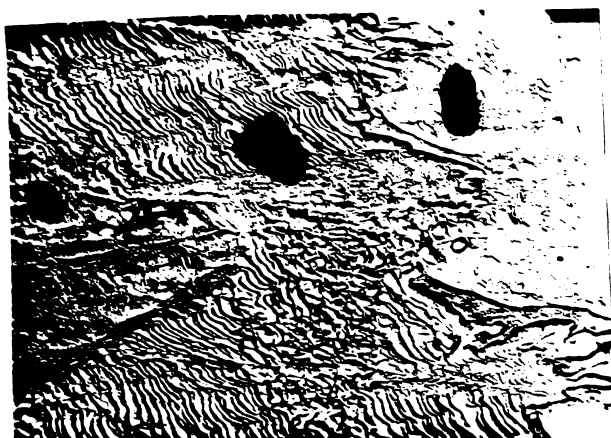
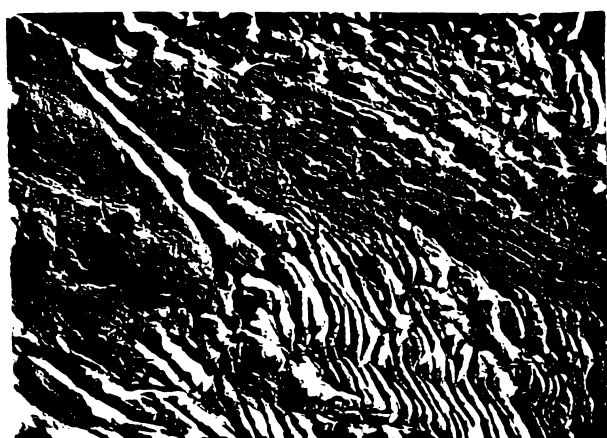


Fig.4.4.10. Microstructura oțelului CK45 în stare normalizată după o încercare de fluaj la  $16 \text{ kgf/mm}^2$  și o temperatură de  $450^\circ\text{C}$ . Mărire 1700 : 1 (a) și 5700 : 1 (b)



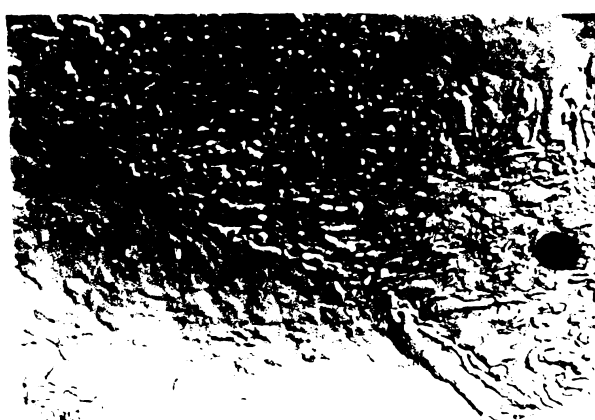
a



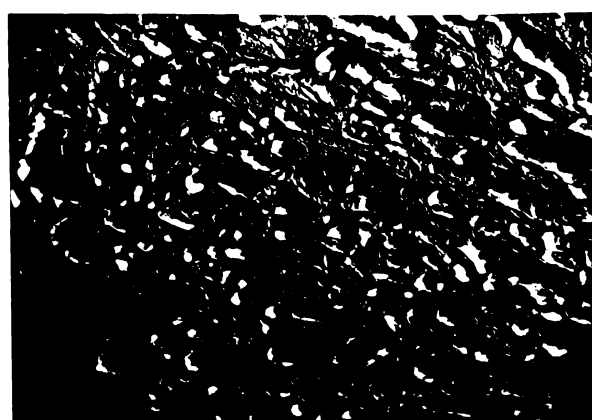
b

fig.4.4.11. Microstructura oțelului OIK2 supus inițial unor cicluri de încălzire ridicare în apă și încercat la fluaj cu tensiunea de  $16 \text{ kgf/mm}^2$  și temperatura de  $450^\circ\text{C}$ . Mărire 2700:1 (a) și 5700:1 (b)

În cazul încercărilor de fluaj cu durată mare ( $t = 12 \text{ sif/mm}^2$ ) procesul de globulizare al cementitei are loc la toate cele trei locuri de epruvete diferențele în structurile finale nefiind esențiale (fig.4.4.12 a,b; 4.4.13 a,b; 4.4.14 a,b)



a



b

fig.4.4.12. Microstructura oțelului OIK2 în stare normalizată după fluaj la  $450^\circ\text{C}$  și tensiune de  $16 \text{ kgf/mm}^2$ . Mărire 2700:1 (a) și 5700 : 1 (b)



fig.4.4.13. Microstructura oțelului E43K supus inițial unor cicluri de încălzire și răcire în aer după fluaj la  $450^{\circ}\text{C}$  și tensiune de  $12 \text{ kN/mm}^2$ . Marire 2700 : 1 (a) și 5700 : 1 (b)

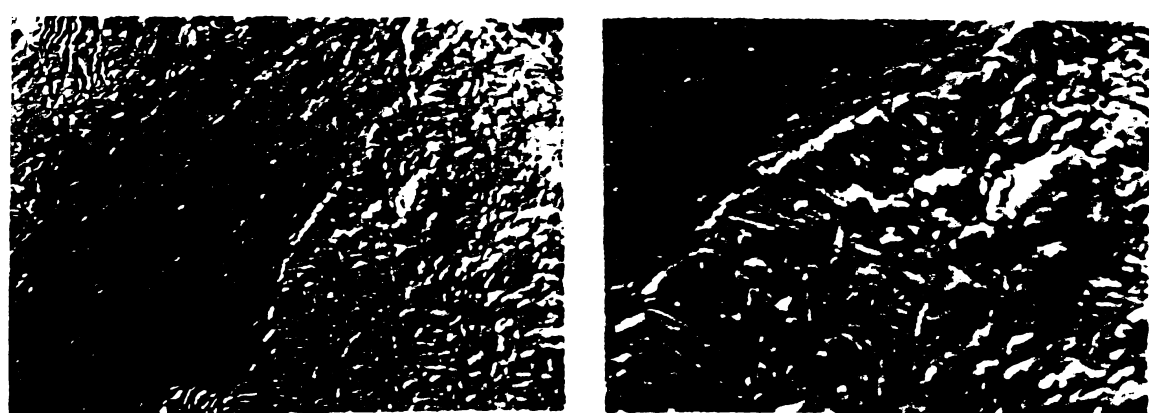


fig.4.4.14. Microstructura oțelului E43K supus inițial unor cicluri de încălzire și răcire în apă după fluaj la  $450^{\circ}\text{C}$  și tensiune de  $12 \text{ kN/mm}^2$ . Marire 2700 : 1 (a) și 5700 : 1 (b)

Pe baza analizei microstructurale se pot trage următoarele concluzii:

- ciclurile de încălzire și răcire aplicate inițial probelor introduc diferențe în coace privind marimea și distribuția inclusiunilor fiind în cantitate minima la probele răcite în aer și având marimea minima la cele răcite în apă;

- încercările de fluaj de durată mare (sute de ore) conduc la creșterea mărimii și numărului incluziunilor cu precădere la probele supuse inițial ciclurilor de încălzire răcire în apă;

- la probele supuse inițial ciclurilor de încălzire - răcire în aer se constată o tendință de globalizare a cementitei din perlită și de finisare a lamelelor de cementită din perlită în cazul probelor supuse ciclurilor de încălzire - răcire în apă;

- încercările de fluaj cu durată mare (sute de ore) conduc la toate cele trei loturi de epruvete la o globalizare a cementitei din perlită diferențele între loturi fiind mici.

In concluzie se poate afirma că ciclurile de încălzire răcire, indiferent de vitesa cu care se desfășoară, influențează puțin structura după o încercare de fluaj de durată mare. Deci metoda de calcul a tensiunilor și deformațiilor la fluajul cu temperatură variabilă, prezentată în capitolul 3, se poate aplica pentru acest caz fără nici o corecție care să țină seama de influența modificărilor structurale asupra procesului de fluaj, corecție necesară în cazul ciclurilor aliante unde variațiile de temperatură și tensiune facilitează producerea unor modificări structurale esențiale [51].

## 5. Concluzii finale

Lucrarea de față are ca scop principal analiza fenomenologici și elaborarea unei metode de calcul a tensiunilor și deformărilor, ce însotesc fluajul cu temperatură variabilă și încărcare constantă problemă tratată pînă în prezent doar cavitativ.

Noua metodă va permite atît o mai bună cunoaștere a fenomenului cît și o interpretare mai sigură a rezultatelor experimentale obținute la încercările de fluaj cu temperatură variabilă, efectuate asupra otelurilor termoresistente ce lucrează în condiții de variație a temperaturii.

Prin cercetările teoretice și experimentale s-au adus urmatoarele contribuții principale:

1. S-a elaborat o metodă iterativă originală de calcul a tensiunilor și deformărilor în cazul fluajului cu temperatură variabilă și încărcare constantă
2. S-a conceput un program, la calculatorul electronic Felix C 256, pentru aplicarea practică a metodei de la punctul 1.
3. În vederea cunoașterii circului de temperatură, pe secțiunea transversală a epruvetei, s-a realizat un program de calcul a variației în timp a temperaturii pe secțiunea transversală a unei bare cilindrice (de secțiune circulară) ce se răceste uniform prin suprafață laterală
4. S-a elaborat o metodă de calcul a variației în timp a tensiunilor și deformărilor în cazul fluajului ce șocuri termice
5. S-a facut o analiză a modificărilor structurale ale otelului OAK 2 survenite în urma unor cicluri de variație a temperaturii

Referitor la punctul 1 s-a ținut seama că în urma răcirii probei, prin suprafață laterală, cișnul de temperatură nu este uniform și în consecință apar datorită împiedicării dilatării libere, a diferențelor străvăguinilor ale epruvetei, tensiuni termice. Calculul acestor tensiuni s-a făcut pe baza curbelor 5-6 reale tinând seama că la solicitări unde apar și deformări plastice.

Deasemenea s-a lăsat în considerare variația modulului de elasticitate și a coeficientului de dilatare liniară cu temperatură. Calculurile practice, efectuate pentru un oțel OAK 2, au evidențiat că la viteze mici de răcire (cum ar fi răcirea în aer liniștit) tensiunile termice produse sunt neglijabile fluajul probei putind să fie considerat la tensiune constantă și temperatură variabilă. În schimb la viteze mai mari de răcire ( $hR > 0,02$ ) tensiunile termice depășesc valoarea de 1% din tensiunea de bază și nu mai pot fi neglijate. Fluajul epruvetei se produce atât la temperatură variabilă cât și la tensiune variabilă pe secțiunea transversală. Resultatele obținute cu noua metodă s-au comparat cu cele obținute în cazul neglijării deformărilor plasticice (și admitem ca dependența liniară a relației  $\sigma - \epsilon$ ) constatăndu-se diferențe importante atât în ceea ce privește nivelul tensiunilor termice, cât și viteză de răcire, cât și a repartiției lor pe secțiune la sfârșitul răcirii.

S-a constatat că diferențele între resultatele obținute prin metoda bazată pe curbele  $\sigma - \epsilon$  reale și cele obținute în baza unei comportări liniar elastice a materialului epruvetei sunt cauzate de viteza de răcire ipotetică comportării elastice a materialului este în fondată.

Referitor la punctul 2 s-a elaborat un program original, pentru aplicarea practică a metodei iterative amintită la punctul 1, metodă care comportă un volum foarte mare de calcul. Programul realizat are o stare elasticitate putind să folosească pentru diferite valori ale tensiunii  $\sigma_0$  (determinată de încărcarea constantă aplicată), pentru un număr oricărui de mări a fizicilor incluse în care se împarte epruveta, pentru diverse intervale de timp. Programul aplicat pentru o curbă caracteristică medie (în intervalul de variație a temperaturii considerat) poate să contină pentru curbele caracteristice reale, dacă se stabilește o dependență a tensiunii atât de alungire cât și de temperatură, sub formă analitică sau tabulară. Evident programul poate să fie aplicat pentru orice oțel dacă se cunoaște curbele  $\sigma - \epsilon$  respectiv variația modulului de elasticitate și a coeficientului de dilatare cu temperatură.

Se menționează că atât noua metodă cât și programul de calcul elaborat se pot generaliza și pentru calculul tensiunilor termice și în alte elemente cum ar fi: bare cilindrice supuse unor tratamente termice, cilindrii de lamină, conducte de abur supuse

unor variații de temperatură etc.

Referitor la punctul 3 s-a conceput un program de calcul a variației în timp a cimpului de temperatură pe secțiunea transversală a unei bare cilindrice de secțiune circulară ce se răcăște uniform prin suprafața laterală, program aplicat apoi pentru opruveta încercată la fluaj cu temperatură variabilă. Pentru realizarea programului s-au conceput trei subprograme:

- a) pentru calculul funcției  $J_0(x)$
- b) pentru calculul funcției  $J_1(x)$
- c) pentru rezolvarea ecuației transcendente

$$x J_1(x) - h^2 J_0(x) =$$

La rezolvarea ecuației transcendente s-au reținut primele 10 soluții, ceeace conduce la micșorarea substanțială a erorilor de calcul a temperaturii, fără de utilizarea primelor 5 soluții cît se văd în literatura de specialitate. Astfel pentru  $hR = 20$  erauca la calculul temperaturii în dreptul axei opruvetei scade dela  $- 38,23$  la  $- 15,05$ .

Subprogramul pentru rezolvarea ecuației transcendente în funcții Bessel poate fi utilizat și pentru rezolvarea altor ecuații transcendente (de exemplu în  $\sin x$ ,  $\cos x$ ,  $t^{-x}$ ,  $ch x$ ,  $sh x$ ,  $th x$ ) cu folosirea unor subprograme corespunzătoare pentru calculul funcțiilor ce intervin.

Referitor la punctul 4 s-a pus la punct o metoda originală de calcul a variației în timp a cimpului tensiunilor pe secțiuni transversale precum și a deformărilor plasticice care au rezultat în urmă aplicării unei variații rapido de temperatură. Aceasta a fost aplicată pentru o opruvetă din ULK2 încercată la fluaj ( $\omega = 450^\circ\text{C}$   $= 1,22 \text{ kN/mm}^2$ ) căreia i se aplică un cicl termic  $\omega = 150^\circ\text{C}$  și  $hR = 5$ ). Rezultatele au evidențiat exsistența unei valuri mult mai mari ale fluajului comparativ cu unei luxuri plasticice  $\varepsilon_p = 0,2\%$ . Se evidențiază astfel importanța descompunerii a deformărilor plus în cauză survenitoare datorită reciprocă a dilatării libere a diferitelor straturi ale opruvetei.

Desigur că astfel opruvile terțice sunt mai dese, cu atât se cumulează mai multă deformare plastică, ca și înseamnă cu deformarea de fluaj condusă mult mai repede la rugire. Acest fapt explica foarte clar rezultatele obținute și în articolul [14],[21], [52].

Verificarea metodei s-a făcut tot pe probe de oțel OIK 2 încercate la fluaj cu  $\sigma = 12 \text{ kgf/mm}^2$ ,  $\theta = 450^\circ\text{C}$  la care s-au aplicat socuri termice prin răcirea cu ghiată. Rezultatele obținute experimental concordă bine cu cele teoretice.

Referitor la punctul 5 s-a făcut o analiză a modificărilor structurale ale oțelului epruvetelor după încercarea de fluaj – în funcție de natura ciclurilor de încălzire – răcire. Aceste cicluri au fost aplicate în vîsorul similarii modificărilor structurale ce survenă în urma variației temperaturii la o încercare de fluaj cu temperatură variabilă. Analiza incluziunilor la o mărire de 100:1 a reliefat, după încercarea de fluaj, o creștere a numărului și mărimei incluziunilor la probalele carora li s-a aplicat cicluri încălzire  $450^\circ$  răcire în apă mai ales la tensiuni mari de încercare ( $10 \text{ kgf/mm}^2$ ).

Analiza la microscopul electronic la măririle de 2700:1 și 5700:1 la probele neîncercate la fluaj a evidențiat un proces de globulizare a cementitei din perlită, la oțelul epruvetei răcite în aer liniștit și unul de finisare a lăsușelor de cementită [la oțelul epruvetelor răcite în aer liniștit și unul de finisare a lăsușelor de cementită] la oțelul epruvetelor răcite în apă.

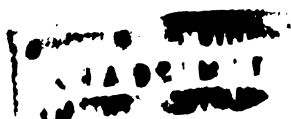
In urma încercării de fluaj se constată la toate probele indiferent de starea inițială o tendință de globalizare a cementitei din perlită proces ce se accentuează cu creșterea duratei încercării, adică la tensiuni mici. În acest fel după cîteva sute de ore de încercare ( $\sigma = 12 \text{ kgf/mm}^2$ ) gradul de globalizare al cementitei este aproape același la toate probele indiferent de starea inițială ceea ce explică diferențele mici ale valorilor rezistenței tehnice de fluaj și de durată după 1000 ore.

In consecință metoda iterativă elaborată de autor poate fi aplicată la acest oțel fără introducerea unor factori de corecție care să țină seama de influența modificărilor structurale datorate variațiilor de temperatură asupra comportării la fluaj.

LITERATURĂ

- 1 Bagrianchi L.V., Kolianov V.M., Korneev A.D. "Razrubejnia naplavivannogo metalla i lezhirevanih stalei pri ciklichesikh teplovih u doreh" Sverecin press-vo 1964 nr.8 15-18
- 2 Vladimir Rina, Radovan Rech "Beitrag zur Bewertung der Restlebensdauer von Bauteilen für Dampferzeugungsanlagen" Neue Mitte 13 Ig, Heft 9, Sept. 1973
- 3 Brzsgalin G.N. "O polzucceti pri perechenii zagrujenijah" Jurnal prikladnoi mehanikii i tekhnicheskoi fiziki Kr.3. 1963
- 4 Cioclov D. "Normally activated models for the plastic flow of solids" Revue Romane des sciences techniques, serie de metallurgie 1972/2.
- 5 Constantinescu A., Logomimic "Fluxul metalelor" de tehnici Buc. 1971
- 6 Cottrell A.H. Dislocations and plastic flow in metals Oxford 1953
- 7 Cristulescu C. "Consideratii asupra calculului tensiunilor si deformațiilor dintr-o bară cilindrică solicitată de o forță constantă supusă la variații ciclice de temperatură" Buletinul științific al Institutului de Mecanică și Inginierie Civilă fasc.1/1.73:
- 8 Cristulescu C., Govrilăescu A. "Proces de calcul a tensiunilor termice dintr-o bară cilindrică creșță încrețită axial de o forță constantă și supusă unor variații ciclice de temperatură" Buletinul I.T.C. 1/75 "înșigurare"
- 9 Cristulescu C., Cornut Al. "Proces de calcul a cîmpului de temperatură pe secțiunile transversale a unei bare cilindrice ce se răcitește uniform prin suprafața laterală" Buletinul "raian huis" "înșigurare în curs de apariție"
- 10 Cristulescu C. "Variație în timp a cîmpului de tensiune dintr-o epruvetă cilindrică solicitată axial de o forță constantă și supusă unor cicluri de ricire-frozalăire" Buletinul I.T.C. (în curs de apariție)

- 11 Crețu G., C. Lupșa "Programarea la calculatorul Felix 0 256" d.științifică Buc. 1973
- 12 Daniel D., Mc Cracken "A guide to Fortran IV programming" John Wiley & Sons INC. New-York 1965
- 13 Dorn W.J., Cracken D.D "Metode numerice cu programare în Fortran" (trad. din l. engleză) Ed. Tehnică Buc. 1976
- 14 Dorn John "Mechanical behavior of materials at elevated temperatures" Mc Graw - Hill Book Company New-York 1961
- 15 Dinc P. "Programarea în Fortran" d.științ. și pedagogică Buc. 1971
- 16 Gatewood R. . "Temperaturne naprijenje" Izdatelstvo inostrannoi literaturi Moscova 1959
- 17 Ginzatler Janos "Zusammenhang zwischen der Thermoschockbeanspruchung und den Werkstoffeigenschaften der Kesselteile in Kraftwerkern" Neue Hütte 18 Ig. Heft 9. Sept. 1973
- 18 Gray A., D.G. Lathess "Funcțiile Dessel și aplicațiile lor în fizică" Ed. Tehnică Buc. 1958
- 19 Grindei Ion "Termoelasticitate" d.științ. și pedagogică Buc. 1967
- 20 Grüber H, Irk S. "Die grundgesetze der Wärmeübertragung" Springer - Verlag - Berlin 1957
- 21 Guarnieri G.I. "The Creep-rupture Properties of Aircraft Sheet Alloys Subjected to Intermittent Load and Temperature", AIAA Spec.Tech.Publ.105, pp.105-148 June 1954
- 22 Galeev A.P. "Metalurgie fizică (trad. din l. rusă) Ed. Tehnică Bucureşti 1954
- 23 Hajdu I., Cristuinescu C., Kovats L., Ieremicu Tr. "Analiza stării de tensiune din porțele unei conducte de abur viu, dintr-o centrală termoelectrică de mare putere" revista "Energetica" vol.XXII, Bucureşti, Martie - Aprilie 1975
- 24 Hajdu I., Cristuinescu C., Ieremicu Tr. "Analiza capacității de rezistență la temperatură normală și la cald a unor probe de țeavă sudate din cazarul unei centrale termoelectrice" revista Bucrarile simpozionului Res. fabr. sudate Iași sept. 1975



- 25 Hajdu I., Kovacs L., Cristulescu C., Ieremicia T., "Analiza rezistențelor actuale cu extrapolare folosite la determinarea rezistențelor tehnice de durată a unei cutii termoresistente depuse prin sudură" Publ. I.T. seria tehnica nr. 10 (3) feb. 2/1/73
- 26 Hajdu I., Kovacs L., Cristulescu C., Ieremicia T., Valea I., "Considerații cu privire la evaluarea curabilității la temperaturi ridicate a două cutii depuse prin sudură cu electrosi termoresistente. lucr. simpozionului. rezultatele obținute la j. cutii 1/73
- 27 Hajdu I., Cristulescu C., Ieremicia T., "Analiză comparativă la temperaturi ridicate a două cutii depuse prin sudură cu electrosi termoresistente" conferință de cercuri și încreșteri de cutii în iunie 1/73
- 28 Hajdu I., Sefta V., Cristulescu C. "Untersuchung der Einfluss-  
wirkung von Temperatur und Temperatur-  
schwindigkeit auf die Zugfestigkeit der Kreuzholzschaltung  
eines weichen Stahles" De rezultatele cercetării se potrivesc  
cu datele publicate 1/73 vol. II
- 29 Nestorov I. "Introducere în teoria proiectării cutierii vol.  
I" editura Acad.R.P. 1956
- 30 Banjos G., Pausch J., Krause H. "Die Aufgaben, Richtlinien und  
Konservierung der Proben für Prüfung von Klebefasern"  
Mit Ver. Großbauselbstbau. 1/73 nr. 50;
- 31 Ionin - zis "Voflas Mihnev Funktionen f(x). vander  
Lagsgesellschaft Leipzig 1/61
- 32 IERCU , București I. "matematica teoreme si probleme de  
matematica infinit" Facultatea Universitatii Bucuresti, Edit. 2, București  
2.1.64
- 33 Iliechner Lennart "Technopressumplastik" Springer  
Verlag 1/70
- 34 Ionescu I. "O problemă axială dintrată în teoriile mecanicii  
teoretice cu un interval infinit lung" în "Cerc. mat. mecanică"  
vol. 17/1/73
- 35 Andreianov Iuliu "... rezultatii metodelor : adnot. si rezumat" \*  
Institutul Matematică, București, lucr. I. "Teoria mecanica" nr.  
146.



- 36 Koetiuk A.G. "O deformacii i razrušenii kristalickoeggo materiala pri slejnoi programme padrujenia" Jurnal priekladnoi mehanikii i tehniceskoi fiziki Nr.3, 1967
- 37 Kusponko V.A "Rovne shuni deformirovani tredih tel" Izdatelstvo "Naukova dumka" Kiev 1973
- 38 Kuznetsov A.P., Nokin A.E. "Polysusti duralumina D 16 T pri poctodannih, tikliceskikh u stupenciate izmestiaupotichisya нагрузкah". Jurnal priekladnoi mehanikii i tehniceskoi fiziki Nr.5.1967
- 39 Lubahn I.J. Bauschinger Effect in Creep and Tensile Tests on Copper I. Metals vol.7 sec.2 p.1031, 1955
- 40 Mantea St., Gora N., Dulămită T., Rădulescu N. "Metallurgie fizică" Ed. Tehnică Buc. 1970
- 41 Melinin N.N. "Calculul la fluaj în construcția de mașini" partea I,II. Studii și cercetări de metalurgie 1969
- 42 Manson J.S., Brown W.F. "A survey of the effects of non-steady load and temperature conditions on the creep of metals" NASA Cleaveland Ohio 1960
- 43 Miller I "Effect of temperature cycling on the rupture strength of some high temperature alloys" Acta Spec.Tehn. Publ. 169 - 1554
- 44 Neveznikov V.S. "O polsusti aluminovogo splava pri porozonnih нагрузкah" Jurnal priekladnoi mehanikii i tehniceskoi fiziki Nr. 2.1964
- 45 Niculescu St. "Iniziere în Fortran" Ed. Tehnică Buc. 1972
- 46 Bikimenko A.P., Soanin O.V. "O razrušenii pri polysusti" Jurnal priekladnoi mehanikii i tehniceskoi fiziki Nr.3.1967
- 47 Gowacki Hans-Gerd. Berechnung der Lebensdauer- infuse durch Temperatur - Änderungsgeschwindigkeiten für Stahlrohre im Kernkraft und konventionellen Dampfahlagern. Urne, 1971 Nr.1
- 48 Odqvist P., Rult I. "Kriechfestigkeit metallischer Werkstoffe" Springer - Verlag 1962



- 49 Pokorný Richard, Potůček Ladislav "Über den Einfluss niedrigzyklischer Beanspruchungen auf die Zeitstandfestigkeit bei niedriglegiertem CrMoV - Stählen" Neue Hütte 18 Ig Heft 9 Sept. 1973
- 50 Paracariev G.D și alții "Calculul de rezistență în construcția de mașini" vol.II. Ed. Tehnică Buc. 1963 (trad. din limba rusă)
- 51 Rijic I.A., Radstein I... "Tabele de integrale, serii și produse" Edit. nice 1955
- 52 Röpke W.D. "Das Verhalten warmfester ferritischer Stähle im Zeitstandversuch bei wechselnden Temperaturen" Archiv für das Eisenhüttenwesen Düsseldorf, Januar 1963
- 53 Rogea I. "Determinarea cimpului de temperatură în cazul corpurilor de rotație pentru condiții pe contur date" Construcția de mașini 2 (1973) nr.12, București
- 54 Rosakov M.P., Russanova A.I. "Nekotore rezulataj iahodovaniia dilitelnoye rezrujezcia v usloviah peremoshii napriajeniil i temperatur". Nergo na. inostreischei Nivel. 1966
- 55 Berensen S.V., Koslov L.A. "Liniinaja interpretacija naprilenija povrojdjenija i harakteristiki soprotivlenija ustaleznenija i dilitelnosti staticheskoem rasrapenju. Zavedeskaja Izobraziteliia 11/50
- 56 Bairnov V.I. "Curs de matematici superioare" vol. I ... IV trad. din rusă Ed. Tehnică 1953-1956
- 57 Sobolev S.L. "cua;ile fizice matematice" Ed. Tehnică 1955
- 58 Sokolowski J. "Axially - sinmetrical problems of thermo - elasticity for cylinder of un limited length" Bull. de Acad. Pol. de sci. serie techn. nr.6. 1958
- 59 Štíp János, Karl Zabalt "Gegenüberstellung der Ergebnisse der Aufweitungsmessungen und der Kriechversuche an Langzeitig beanspruchten Dämpferausgabuteilen" Neue Hütte 18 Ig Heft 3. Sept. 1973
- 60 Grigorelașcu N. "studiuu ușinelor" Academica vi pedagogieci - București 1/71

- 61 Vlădescu I. "Manual de termotehnică" vol.I,II Ed. didactică și pedagogică București 1963
- 62 Vodosebilek Józef "Wärmeübertragung von Maschinenteilen"  
Neue Mitte 18 Nr. 9 Sept. 1973
- 63 Vorotnikov G.S., Rovinskii P.M. "Relația napravjenii,  
polysuęęti i odnosnoe ractvajenie; obscinosti i osobostnosti protsessov" Jurnal pričlednoi mehanikii i tehnicheskoi fiziki Ur.CelKo
- 64 x x x "Manualul inginerului" vol.I. Ed.Tehnică Buc.  
1965
- 65 x x x "Culegere de exerciții rezolvate în limbajul  
CAL" Volel, II. Centrul teritorial de calcul electronic Timișoara, 1974